

# 4 A subcamada de controle de acesso ao meio

## 4.1 Alocação estática de canais

A maneira tradicional de alocar um único canal, como um tronco telefônico, entre vários usuários concorrentes é dividir sua capacidade usando um dos esquemas de multiplexação que descrevemos na Seção 2.4.4, como FDM (Frequency Division Multiplexing). Se existem  $N$  usuários, a largura de banda é dividida em  $N$  partes do mesmo tamanho, e a cada usuário será atribuída uma parte. Como cada usuário tem uma banda de frequência particular, não há interferência entre elas. Quando existe apenas um número pequeno e constante de usuários, cada um dos quais com um fluxo constante ou uma carga de tráfego pesada, essa divisão é um mecanismo de alocação simples e eficiente. Um exemplo de uso sem fio são as estações de rádio FM. Cada estação recebe uma parte da banda de FM e a utiliza, na maior parte do tempo, para transmitir seu sinal.

No entanto, quando o número de transmissores é grande e continuamente variável, ou quando o tráfego ocorre em rajadas, a FDM apresenta alguns problemas. Se o espectro for dividido em  $N$  regiões, e menos de  $N$  usuários estiverem interessados em estabelecer comunicação no momento, grande parte do valioso espectro será desperdiçada e, mais de caixas eletrônicas funcionaria melhor com uma única fila alimentando todas as máquinas do que uma fila separada à frente de cada máquina.

Os mesmos argumentos que se aplicam à FDM tam-

bém se aplicam a outras formas de dividir o canal estaticamente. Se usássemos a multiplexação por divisão de tempo, ou TDM (Time Division Multiplexing), e alcassemos cada usuário a cada  $T$ -ésimo slot de tempo, e ainda se um usuário não usar o slot alocado, este será simplesmente desperdiçado. O mesmo é válido se dividirmos as redes fisicamente. Usando mais uma vez nosso exemplo anterior, se substituíssemos a rede de 100 Mbps por dez redes de 10 Mbps e fizéssemos a alocação estática de cada usuário que alguns dos usuários aos quais uma banda de frequência foi alocada raramente transmitiam ou recebiam dados.

Contudo, mesmo supondo que o número de usuários poderia ser, de algum modo, mantido constante em  $N$ , a divisão de um único canal disponível em subcanais estáticos revela uma ineficiência inerente. O problema básico é que, quando alguns usuários ficam inativos, sua largura de banda é simplesmente perdida. Elas não estão utilizando essa largura de banda, e ninguém mais pode fazê-lo. Uma alocação estática não é apropriada para a maioria dos sistemas de computadores em que o tráfego de dados ocorre em rajadas (não comuns relações de 1,000:1 entre o tráfego de pico e o tráfego médio). Em consequência disso, a maioria dos canais permanecerá ociosa na maior parte do tempo.

O fraco desempenho da FDM estática pode ser facilmente visto com um simples cálculo da teoria do enfileiramento. Vamos começar com o arrasto de tempo médio,  $T$ , para um canal com capacidade  $C$  bps. Consideraremos que os quadros chegam aleatoriamente, com uma taxa de chegada de  $\lambda$  quadros/s. O comprimento de cada quadro varia, com um comprimento médio de  $1/\mu$  bits. Com esses parâmetros, a taxa de serviço do canal é  $\mu C$  quadros/s. Pela teoria do enfileiramento, o resultado é

$$T = \frac{1}{\mu C - \lambda}$$

(Para os curiosos, esse resultado é para uma fila “M/M/1”. Ele requer que a aleatoriedade dos tempos entre as chegadas e os comprimentos de quadro siga uma distribuição gaussiana.)

## 4.1.1 O PROBLEMA DA ALOCAÇÃO DE CANAIS

O tema central deste capítulo é definir como alocar um único canal de broadcast entre usuários concorrentes. O canal poderia ser uma parte do espectro sem fio em uma região geográfica, ou um fio isolado ou fibra óptica ao qual vários nós são conectados. Isso não importa. Nos dois casos, o canal conecta cada usuário a todos os outros e qualquer usuário que faz uso completo do canal interfere na utilização que os outros também fazem dele.

Analisaremos primeiro as limitações dos esquemas de alocação estáticos para o tráfego em rajada. Depois, mostraremos os principais premissas usadas para modelar os esquemas dinâmicos que examinaremos nas próximas seções.

## 4.1.2 Premissas para a alocação dinâmica de canais

Em nosso exemplo, se  $C = 100$  Mbps, o comprimento do quadro médio,  $1/\mu$ , é 10.000 bits e a taxa de chegada de quadros,  $\lambda$ , é 5.000 quadros/s, então  $T = 200$   $\mu$ s. Observe que, se ignorarmos o atraso de enfileiramento e simplesmente perguntarmos quanto tempo é necessário para enviar um quadro de 10.000 bits em uma rede de 100 Mbps, obtemos a resposta (incorrecta) de 100  $\mu$ s. Esse resultado só é válido quando não há disputa pelo canal.

Agora, vamos dividir o único canal em  $N$  subcanais independentes, cada um com capacidade de  $C/N$  bps. A taxa média de entrada em cada um dos subcanais será, agora,  $\lambda/N$ . Ao recalcularmos  $T$ , obtemos:

$$T_N = \frac{1}{\mu(C/N) - (\lambda/N)} = \frac{N}{\mu C - \lambda} = \frac{N}{NT}$$

O atraso médio para o canal dividido é  $N$  vezes pior do que seria se todos os quadros estivessem, de alguma forma mágica, distribuídos de maneira ordenada em uma grande fila central. Esse mesmo resultado explica por que um banco cheio de caixas eletrônicos funciona melhor com uma única fila alimentando todas as máquinas do que uma fila separada à frente de cada máquina.

Os mesmos argumentos que se aplicam à FDM também se aplicam a outras formas de dividir o canal estaticamente. Se usássemos a multiplexação por divisão de tempo, ou TDM (Time Division Multiplexing), e alcassemos cada usuário a cada  $T$ -ésimo slot de tempo, e ainda se um usuário não usar o slot alocado, este será simplesmente desperdiçado. O mesmo é válido se dividirmos as redes fisicamente. Usando mais uma vez nosso exemplo anterior, se substituíssemos a rede de 100 Mbps por dez redes de 10 Mbps e fizéssemos a alocação estática de cada usuário que alguns dos usuários aos quais uma banda de frequência foi alocada raramente transmitiam ou recebiam dados.

Contudo, mesmo supondo que o número de usuários poderia ser, de algum modo, mantido constante em  $N$ , a divisão de um único canal disponível em subcanais estáticos revela uma ineficiência inerente. O problema básico é que, quando alguns usuários ficam inativos, sua largura de banda é simplesmente perdida. Elas não estão utilizando essa largura de banda, e ninguém mais pode fazê-lo. Uma alocação estática não é apropriada para a maioria dos sistemas de computadores em que o tráfego de dados ocorre em rajadas (não comuns relações de 1,000:1 entre o tráfego de pico e o tráfego médio). Em consequência disso, a maioria dos canais permanecerá ociosa na maior parte do tempo.

Antes de começarmos a descrever o primeiro dos muitos métodos de alocação de canais a serem discutidos neste capítulo, vale pena formular cuidadosamente o problema da alocação. Existem cinco premissas fundamentais subjacentes a todo trabalho realizado nessa área, que serão descritas a seguir.

**1. Tráfego independente.** O modelo consiste em  $N$  estações independentes (computadores, telefones), cada qual com um programa ou usuário que gera quadros para transmissão. O número esperado de quadros gerados em um intervalo de duração  $\Delta t$  é  $\lambda t$ , onde  $\lambda$  é

uma constante (a taxa de chegada de novos quadros). Uma vez gerado um quadro, a estação é bloqueada e nada faz até que o quadro tenha sido transmitido com êxito.

**2. Premissa de canal único.** Um único canal está disponível para todas as comunicações – todas as estações podem transmitir e receber por ele. As estações são consideradas igualmente capazes, embora os protocolos possam atribuir diferentes papéis (p. ex., prioridades) a elas.

**3. Colisões observáveis.** Se dois quadros são transmitidos simultaneamente, elas se sobrepõem no tempo, e o sinal resultante é adulterado. Esse evento é denominado colisão. Todas as estações podem detectar colisões. Um quadro que tenha sofrido colisão terá de ser transmitido posteriormente. Não há outros erros além dos gerados por colisões.

**4. Tempo contínuo ou segmentado (slotted).** O tempo pode ser considerado contínuo, caso em que a transmissão do quadro pode começar a qualquer instante. Como alternativa, o tempo pode ser segmentado ou dividido em intervalos discretos (slots). As transmissões de quadros sempre começam no início de um slot. Um slot pode conter 0, 1 ou mais quadros, correspondentes a um slot ocioso, à uma transmissão bem-sucedida ou a uma colisão, respectivamente.

**5. Detecção de portadora (carrier sense) ou sem detecção de portadora.** Com a premissa de detecção de portadora, as estações conseguem detectar se o canal está sendo usado antes de tentar utilizá-lo. Se for detectado que o canal está ocupado, nenhuma estação tentará usá-lo até que ele fique livre. Se não houver detecção de portadora, as estações não conseguem detectar o canal antes de tentar utilizá-lo. Elas simplesmente vão em frente e transmitem. Sómente mais tarde conseguem determinar se a transmissão foi ou não bem-sucedida.

Ainda é necessário discutir essas premissas um pouco mais. A primeira diz que as chegadas de quadro são independentes, entre estações ou em uma estação específica, e que elas são geradas de modo imprevisível, mas a uma taxa constante. Na realidade, essa premissa não é um modelo de tráfego de rede particularmente bom, pois sabemos que os pacotes chegam em rajadas em intervalos escalonados de tempo (Parson e Floyd, 1995). Pesquisas recentes confirmam que o padrão ainda existe (Fontugne et al, 2017).

Apesar disso, **modelos de Poisson**, como normalmente são chamados, são úteis em parte porque são matematicamente tratáveis. Eles nos ajudam a analisar protocolos para entender, em linhas gerais, como o desempenho muda ao longo de um intervalo de operação e como ele se compara com outros projetos.

## 4.2 PROTOCOLOS DE ACESSO MÚLTIPLO

Existem muitos algoritmos conhecidos para alocar um canal de acesso múltiplo. Nas seções a seguir, estudaremos uma pequena amostra dos mais interessantes e apresentaremos alguns exemplos práticos de sua utilização.

### 4.2.1 ALOHA

A história do nosso primeiro protocolo de acesso múltiplo, ou MAC, começa no Havaí primitivo, no inicio da década de 1970. Nesse caso, “primitivo” pode ser interpretado como “não tendo um sistema telefônico funcional”. Isso não tornava a vida mais agradável para o pesquisador Norman Abramson e seus colegas da University of Hawaii, que estavam tentando conectar usuários nas ilhas remotas ao computador principal em Honolulu. Esiciar seus próprios cabos sob o Oceano Pacífico estava fora de cogitação e, portanto, eles procuravam uma solução diferente.

A solução encontrada usava rádios de curta distância, com cada terminal de usuário compartilhando a mesma frequência upstream para enviar quadros ao computador central. Isso incluía um método simples e elegante para resolver o problema de alocação de canal. Seu trabalho foi ampliado por vários pesquisadores desde então (Schwartz e Abramson, 2009). Embora o trabalho de Abramson, denominado sistema ALOHA, usasse a radiofrequência terrestre, a ideia básica é aplicável a qualquer sistema em que usuários sem nenhuma coordenação estão competindo pelo uso de um único canal compartilhado.

Descreveremos aqui duas versões do ALOHA: original e slotted (segmentado). Elas diferem quanto ao fato de o tempo ser contínuo, como na versão original, ou dividido em slots discretos em que todos os quadros devem se encaixar.

Uma questão interessante é: qual é a eficiência de um canal ALOHA? Em outras palavras, que fração de todos os quadros transmitidos escapa de colisões nessas

### ALOHA original

A ideia básica de um sistema ALOHA é simples: permitir que os usuários transmitam sempre que tiverem dados para enviar. Naturalmente, haverá colisões, e os quadros que colidirem serão danificados. Os transmissores precisam, de alguma maneira, descobrir se isso acontece. No sistema ALOHA, após cada estação ter transmitido seu quadro para um computador central, este retransmite o quadro para todas as estações. Dessa modo, uma estação transmissora pode escutar por broadcast a partir do hub para ver se seu quadro passou. Em outros sistemas, como nas LANs com fio, o transmissor precisa ser capaz de escutar colisões enquanto transmite.

Se o quadro foi destruído, o transmissor espera um período aleatório e o envia novamente. O tempo de espera deve ser aleatório, caso contrário os mesmos quadros continuariam a colidir repetidas vezes, de forma inflexível. Os sistemas em que vários usuários compartilham um canal comum de forma que possa gerar conflitos em geral são conhecidos como **sistemas de disputa**.

A Figura 4.1 mostra um esboço da geração de quadros em um sistema ALOHA. Os quadros foram criados com o mesmo comprimento porque o throughput dos sistemas ALOHA é maximizado quando o comprimento dos quadros é uniforme em vez de variável. Sempre que dois quadros tentarem ocupar o canal ao mesmo tempo, haverá uma colisão (como pode ser visto na Figura 4.1) e ambos serão danificados. Se o primeiro bit de um novo quadro se sobrepujar apenas ao último bit de um quadro quase terminado, os dois quadros serão totalmente destruídos (ou seja, terão checksums incorretos) e terão de ser retransmitidos posteriormente. O checksum não consegue (e não deve) fazer distinção entre uma perda total e uma perda parcial. Quadro com erro é quarto com erro, sem distinções.

Uma questão interessante é: qual é a eficiência de um canal ALOHA? Em outras palavras, que fração de todos os quadros transmitidos escapam de colisões nessas condições?

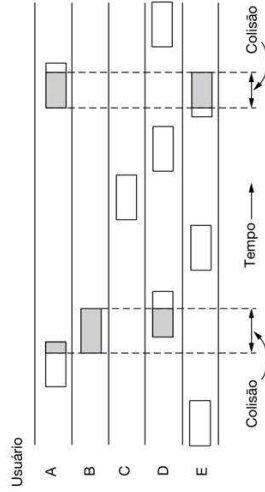


Figura 4.1 No ALOHA original, os quadros são transmitidos em tempos totalmente arbitrários.

circunstâncias tão cadiotas? Vamos considerar primeiramente um conjunto infinito de usuários interativos em seus terminais (estações). O usuário sempre se encontra em um de dois estados: digitação ou espera. Inicialmente, todos os usuários estão no estado de digitação. Quando uma linha é conectada, o usuário para de digitar e espera uma resposta. Então, a estação transmite um quadro contendo a linha e verifica o canal para saber se a transmissão foi bem-sucedida. Em caso afirmativo, o usuário vê a resposta e volta a digitar. Caso contrário, ele continua a esperar o quadro é retransmitido continuamente até ser enviado com êxito.

O “tempo de quadro” representa o período necessário para transmitir o quadro padrão de comprimento fixo (i.e., o comprimento do quadro dividido pela taxa de bits). Nesse ponto, supomos que os novos quadros sejam gerados pelas estações de acordo com uma distribuição de Poisson, com uma média de  $N$  quadros por tempo de quadro. (A premissa de população infinita é necessária para garantir que  $N$  não diminuirá à medida que os usuários forem bloqueados). Se  $N > 1$ , a comunidade de usuários está gerando quadros em uma taxa superior à capacidade do canal, e praticamente todos os quadros sofrerão colisões. Para um throughput razoável, esperariamos  $0 < N < 1$ .

Aém dos novos quadros, as estações também geram retransmissões de quadros que sofreram colisões anteriormente. Vamos supor ainda que os quadros antigos e novos combinados também sejam uma distribuição de Poisson, com média  $G$  por tempo de quadro. Evidentemente,  $G \geq N$ . Em situações de carga baixa (ou seja,  $N \approx 0$ ), ocorre poucas colisões e, portanto, haverá poucas retransmissões. Por conseguinte,  $G \approx N$ . Em situações de carga alta, ocorrerão várias colisões e, portanto,  $G > N$ . Para qualquer carga, o throughput  $S$  é simplesmente a probabilidade  $P_0$  de uma transmissão ser bem-sucedida – isto é,  $S = GP_0$ , onde  $P_0$  é a probabilidade de um quadro não sofrer colisão.

Um quadro não sofrerá colisão se nenhum outro for enviado dentro de um tempo de quadro a partir de seu início, como mostra a Figura 4.2. Em que condições o quadro

é transmitido? Vamos considerar primeiramente que os quadros são transmitidos de forma contínua, sem intervalos de pausa entre quadros. Nesse caso, a probabilidade de que o quadro não sofra colisão é dada por:

$$\Pr\{k\} = \frac{G^k e^{-G}}{k!} \quad (4.1)$$

portanto, a probabilidade de zero quadros é simplesmente  $e^{-G}$ . Em um intervalo com duração de dois tempos de quadro, o número médio de quadros gerados é  $2G$ . A probabilidade de nenhum outro quadro ser iniciado durante todo o período de vulnerabilidade é, portanto, indicada por  $P_0 = e^{-2G}$ . Usando  $S = GP_0$ , obtemos:

$$S = Ge^{-2G}$$

A Figura 4.3 mostra a relação entre o tráfego oferecido e o throughput. O throughput máximo ocorre em  $G = 0.5$ , com  $S = 1/2e$ , o que corresponde a aproximadamente 0,184. Em outras palavras, o melhor que podemos esperar é uma utilização do canal de 18%. Esse resultado não é muito animador, mas, com todas as pessoas transmitindo à vontade, dificilmente poderíamos esperar uma taxa de 100% de êxito.

#### Slotted ALOHA

Logo depois que o ALOHA entrou em cena, Roberts (1972) publicou um método para duplicar a capacidade de um

sombreado chegará sem erros? Seja  $t$  o tempo necessário para enviar um quadro. Se qualquer outro usuário tiver gerado um quadro no intervalo entre  $t_0 + t$  e  $t_0 + t$ , o final desse quadro colidirá com o início do quadro sombreado. Na verdade, esse quadro já estava condenado antes de o primeiro bit ser transmitido, porém, como no ALOHA original uma estação não escuta o canal antes de transmitir, não há como saber se já havia outro quadro a caminho. Da mesma forma, qualquer outro quadro iniciado entre  $t_0 + t$  e  $t_0 + 2t$  colidirá com o final do quadro sombreado.

A probabilidade de  $k$  quadros serem gerados durante determinado tempo de quadro, no qual  $G$  quadros são espalhados, é obtida pela distribuição de Poisson

$$\Pr\{k\} = \frac{G^k e^{-G}}{k!} \quad (4.1)$$

e, portanto, a probabilidade de zero quadros é simplesmente  $e^{-G}$ . Com um intervalo com duração de dois tempos de quadro, o número médio de quadros gerados é  $2G$ . A probabilidade de nenhum outro quadro ser iniciado durante todo o período de vulnerabilidade é, portanto, indicada por  $P_0 = e^{-2G}$ . Usando  $S = GP_0$ , obtemos:

$$S = Ge^{-2G}$$

Como podemos ver na Figura 4.3, a taxa máxima do slotted ALOHA é  $G = 1$ , com um throughput  $S = 1/e$ , ou aproximadamente 0,368, o dobro do ALOHA original. Se o sistema estiver funcionando a uma taxa de  $G = 1$ , a probabilidade de um slot vazio será 0,368 (pebla Equação 4.1). O melhor que podemos esperar com a utilização de um slotted ALOHA é 37% de slots vazios, 37% de sucessos e 26% de colisões. O funcionamento em valores superiores de  $G$  reduz o número de slots vazios, mas aumenta exponencialmente o número de colisões. Para ver como ocorre esse rápido crescimento de colisões com  $G$ , considere a transmissão de um quadro de teste. A probabilidade de ele evitar uma colisão é de  $e^{-G}$ , que é a probabilidade de todos os outros usuários estarem inativos nesse slot. A probabilidade de uma transmissão exigir exatamente  $k$  tentativas (ou seja,  $k - 1$  colisões seguidas por uma transmissão bem-sucedida) é

$$P_k = e^{-G} (1 - e^{-G})^{k-1}$$

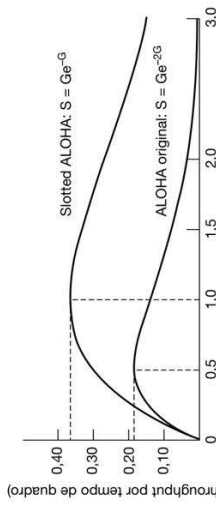


Figura 4.3 Throughput em comparação com o tráfego oferecido para sistemas ALOHA.

O número esperado de transmissões,  $E$ , por cada linha digitada em um terminal é, portanto,

$$E = \sum_{k=1}^{\infty} k P_k = \sum_{k=1}^{\infty} k e^{-G} (1 - e^{-G})^{k-1} = e^{-G}$$

Como resultado da dependência exponencial de  $E$  em relação a  $G$ , pequenos aumentos na carga do canal podem reduzir drasticamente seu desempenho.

O slotted ALOHA é importante por uma razão que, a princípio, talvez não seja óbvia. Ele foi criado na década de 1970, foi usado em alguns sistemas experimentais e depois foi quase esquecido (exceto por autores de livro encyclopédicos, que gostavam dele). Quando foi criado o acesso à Internet por cabo, surgiu o problema de como alocar um canal compatível entre vários usuários concorrentes, e o slotted ALOHA foi resgatado para salvar a situação, com um punhado de outras ideias misturadas. Com frequência, protocolos perfeitamente válidos caem em desuso por razões políticas (p. ex., quando alguma grande empresa decide que todas as outras sigam seu modelo) ou em virtude de tendências tecnológicas em constante mudança. Entretanto, anos depois, alguém inteligente percebe que um protocolo descartado muito antes resolve seu problema atual. Por essa razão, neste capítulo estudaremos diversos protocolos elegantes que não são muito utilizados hoje, mas que poderiam facilmente ser empregados em aplicações futuras, desde que projetistas de redes em número suficiente tivessem conhecimento deles. É claro que também estaremos usando muitos protocolos usados atualmente.

#### 4.2.2 Protocolos de acesso múltiplo com detecção de portadora

Com o slotted ALOHA, a melhor utilização de canal que é possível conseguir é  $1/e$ . Isso não surpreende, pois, com as estações transmitindo à vontade, sem prestar atenção ao que as outras estão fazendo, é provável que ocorram muitas colisões. Contudo, em LANs, as estações podem detectar o que outras estão fazendo e, então, adaptar seu

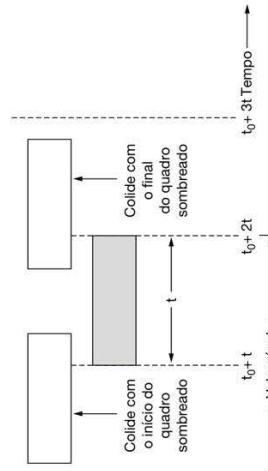


Figura 4.2 Período de vulnerabilidade do quadro sombreado.

comportamento de acordo com essa situação, podendo atingir uma utilização melhor que  $1/e$ . Nesta seção, estudaremos alguns protocolos que melhoram o desempenho da rede.

Os protocolos nos quais as estações escutam uma portadora (i.e., uma transmissão) e funcionam de acordo com ela são denominados **protocolos com detecção do portador**. Muitos deles têm sido propostos e já há muito tempo foram analisados com detalhes. Por exemplo, consulte Kleinrock e Tobagi (1975). A seguir, mencionaremos algumas versões dos protocolos com detecção de portadora.

**CSMA persistente e não persistente**

O primeiro protocolo com detecção de portadora que estudaremos aqui denomina-se **CSMA (Carrier Sense Multiple Access) 1-persistent**. Ele é um nome extenso para indicar o esquema CSMA mais simples. Quando uma estação tem dados a transmitir, primeiro ela escuta o canal para ver se mais alguém está transmitindo no momento. Se o canal estiver desocupado, a estação desocupado, a estação transmite com uma probabilidade  $p$ . Com uma probabilidade  $q = 1 - p$ , haverá um atraso até o próximo slot. Se este também estiver desocupado, haverá uma transmissão ou um novo atraso, com probabilidades  $p \cdot q$ . Esse processo se repete até o quadro ser transmitido ou até que outra estação tenha iniciado uma transmissão. Neste último caso, ela aguarda como se tivesse ocorrido uma colisão (ou seja, aguarda durante um intervalo aleatório e reinicia a transmissão). Se a inicialmente detectar que o canal está ocupado, a estação espera pelo próximo slot e aplica o algoritmo anterior. O IEEE 802.11 usa uma melhoria do CSMA p-persistent, que discutiremos na Seção 4.4.

Você poderia esperar que esse esquema evitasse colisões, exceto no caso raro de transmissões simultâneas, mas, na verdade, isso não acontece (a situação é muito pior do que esta). Se duas estações estão prontas no meio da transmissão de uma terceira estação, ambas esperarão cadaamente até que uma transmissão termine e, depois, ambas começarão a transmitir simultaneamente, resultando em uma colisão. Se elas não fossem tão impacientes, haveria menos colisões.

De modo mais suíl, o atraso de propagação tem um efeito importante sobre as colisões. Há uma chance de que, logo após uma estação começar a transmitir, outra estação fique pronta para transmitir e escutar o canal. Se o sinal da primeira estação ainda não tiver atingido a segunda, esta detectará um canal desocupado e também começará a transmitir, resultando em uma colisão. Essa probabilidade depende do número de quadros que cabem no canal, ou o **produto largura de banda-atraso** do canal. Se apenas uma pequena fração do quadro couber no canal, o que é o caso na maioria das LANs, uma vez que o atraso de propagação é pequeno, o risco de uma colisão acontecer é pequeno. Quanto maior o produto largura de banda-atraso, maior será a importância desse efeito e pior será o desempenho do protocolo.

Mesmo assim, esse protocolo tem um desempenho bem melhor que o ALOHA original, pois ambas as estações respeitam a transmissão e desistem de interferir no quadro de uma terceira estação, de modo que ele atravessa sem problemas. Exatamente o mesmo se aplica ao slotted ALOHA.

Um segundo protocolo com detecção de portadora é o **CSMA não persistente**. Nesse protocolo, é feita uma tentativa consciente de ser menos ávido que no protocolo anterior. Como antes, uma estação escuta o canal quando deseja enviar um quadro e, se nenhuma mais estiver transmitindo, inicia a transmissão imediatamente. No entanto, se o canal já estiver sendo utilizado, a estação não permanecerá escutando continuamente a fim de se apropriar de imediato do canal após detectar o fim da transmissão anterior. Em vez disso, a estação aguardará durante um intervalo aleatório e, em seguida, repetirá o algoritmo. Consequentemente, esse algoritmo leva a uma melhor utilização do canal, e a atrasos maiores do que no CSMA 1-persistent.

O último protocolo é o **CSMA p-persistent**. Ele se aplica a canais segmentados (slotted) e funciona da forma apresentada a seguir. Quando está pronta para transmitir, a estação escuta canal. Se ele estiver desocupado, a estação transmite com uma probabilidade  $p$ . Com uma probabilidade  $q = 1 - p$ , haverá um atraso até o próximo slot. Se este também estiver desocupado, haverá uma transmissão ou um novo atraso, com probabilidades  $p \cdot q$ . Esse processo se repete até o quadro ser transmitido ou até que outra estação tenha iniciado uma transmissão. Neste último caso, ela aguarda como se tivesse ocorrido uma colisão (ou seja, aguarda durante um intervalo aleatório e reinicia a transmissão). Se a inicialmente detectar que o canal está ocupado, a estação espera pelo próximo slot e aplica o algoritmo anterior. O IEEE 802.11 usa uma melhoria do CSMA p-persistent, que discutiremos na Seção 4.4.

A Figura 4.4 mostra o throughput oferecido para os três protocolos, comparando com o tráfego oferecido para os três protocolos, bem como para o ALOHA original e o slotted ALOHA.

#### CSMA com detecção de colisões

Os protocolos CSMA persistentes e não persistentes são um avanço claro em relação ao ALOHA, pois garantem que nenhuma estação começará a transmitir enquanto o canal estiver ocupado. Contudo, se duas estações perceberem que o canal está desocupado e começarem a transmitir simultaneamente, seus sinais ainda causarão colisão. Outro avanço é que as estações podem detectar a colisão rapidamente e interromper a transmissão de forma abrupta (em vez de completá-la), pois não têm como reparar a situação. Essa estratégia economiza tempo e largura de banda.

Esse protocolo, conhecido como **CSMA/CD (CSMA with Collision Detection)**, é a base da LAN Ethernet clásica; assim, vale a pena dedicarmos algum tempo a examiná-lo em detalhes. É importante observar que a detecção de colisão é um processo analógico. O hardware da estação deve escutar o canal enquanto está transmitindo. Se o sinal que ela é de volta for diferente do sinal que está enviando, ela saberá que está havendo uma colisão. As implicações

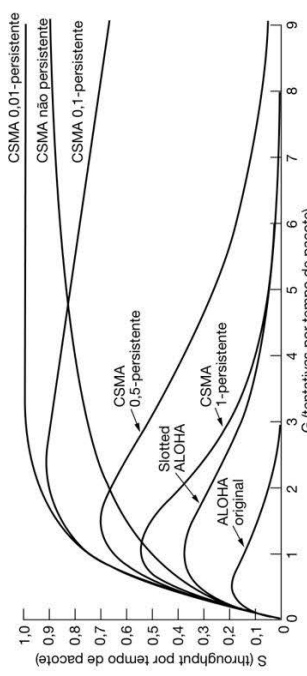


Figura 4.4 Comparação entre a utilização do canal e a carga de vários protocolos de acesso aleatório.

levarão para perceber que houve uma colisão? A resposta a essa pergunta é essencial para determinar a duração do intervalo de disputa  $\epsilon$ , portanto, quais serão o atraso e o throughput.

O tempo mínimo para a detecção de uma colisão é apenas o tempo que o sinal leva para se propagar de uma estação até a outra. Com base nessa informação, você poderia pensar que uma estação que não detectasse uma colisão durante um intervalo igual ao tempo de propagação em todo o cabo, após ter iniciado sua transmissão, teria certeza de que haverá interferência. Com o termo "apoderado", queremos dizer que todas as outras estações sabem da transmissão e não interferirão. Essa conclusão está incorreta. Considere a prior hipótese possível a seguir. Seja  $t_0$  o tempo de propagação de um sinal entre as duas estações mais distantes. Em  $t_0 + \tau - \epsilon$ , uma estação começa a transmitir. Em  $t_0 + \tau - \epsilon$ , um instante antes de o sinal chegar à estação mais distante, essa estação também começa a transmitir. É claro que ela detecta a colisão quase instantaneamente e para, mas o pequeno ruído causado pela colisão não retorna à estação original até o período  $2\tau - \epsilon$ . Em outras palavras, no pior cenário, uma estação só poderá ter certeza de ter apoderado do canal após transmitir durante o período  $2\tau$  sem detectar uma colisão.

É claro que ela detecta a colisão quase instantaneamente e para, mas o pequeno ruído causado pela colisão não retorna à estação original até o período  $2\tau - \epsilon$ .

Agora, vamos analisar mais de perto os detalhes do algoritmo de disputa. Suponha que duas estações começem uma transmissão no instante exato  $t_0$ . Quantos tempos alternados de transmissão, com a ocorrência de períodos de inatividade quando todas as estações estiverem em repouso (p. ex., por falta de trabalho).

Nessa forma, nosso modelo de CSMA/CD consistirá em períodos alternados de transmissão, com a ocorrência de períodos de inatividade quando todas as estações estiverem em repouso (p. ex., por falta de trabalho).

É importante observar que a detecção de colisão é realizada assim, vale a pena dedicarmos algum tempo a examiná-la em detalhes. É importante observar que a detecção de colisão é um processo analógico. O hardware da estação deve escutar o canal enquanto está transmitindo. Se o sinal que ela é de volta for diferente do sinal que está enviando, ela saberá que está havendo uma colisão. As implicações

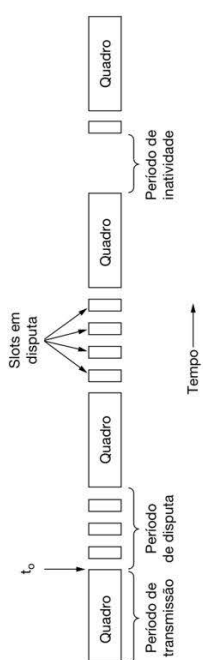


Figura 4.5 O CSMA/CD pode estar em um destes três estados: transmissão, disputa ou inatividade.

Compreendendo isso, podemos pensar na disputa do CSMA/CD como um sistema slotted ALOHA, com uma largura de slot igual a  $2\tau$ . Em um cabo coaxial de 1 km de comprimento,  $\tau \approx 5\mu s$ . A diferença para o CSMA/CD em comparação com o slotted ALOHA é que os slots em apenas uma estação transmite (ou seja, em que o canal é apoderado) são acompanhados pelo restante de um quadro. Essa diferença melhorará bastante o desempenho se o tempo do quadro for muito maior que o tempo de propagação.

#### 4.2.3 Protocolos livres de colisão

Embora as colisões não ocorram com o CSMA/CD depois que uma estação captura o canal sem ambiguidade, elas ainda podem ocorrer durante o período de disputa. Essas colisões afetam de modo adverso o desempenho do sistema, em especial quando o produto largura de banda-átraso é grande, por exemplo, quando o cabo é longo (ou seja, quando é grande) e os quadros são curtos. As colisões não só reduzem a largura de banda, mas também tornam variável o tempo para transmitir um quadro, o que não é bom para um tráfego em tempo real, como VoIP. Além disso, o CSMA/CD não é aplicável de maneira universal.

Nesta seção, examinaremos alguns protocolos que resolvem a disputa pelo canal sem a ocorrência de colisões, nem mesmo durante o período de disputa. A maioria desses protocolos não é usada atualmente em sistemas importantes, mas, em um campo que muda rapidamente, a existência de alguns protocolos com excelentes propriedades disponíveis para sistemas futuros frequentemente é algo bom.

Nos protocolos que descreveremos, vamos supor que existam exatamente  $N$  estações, cada uma programada com um endereço exclusivo de 0 até  $N - 1$ . O fato de que algumas estações talvez possam estar inativas durante parte do tempo não tem importância. Também supomos que o atrito de propagação é desprezível. A pergunta básica permanece: que estação terá a posse do canal após uma transmissão bem-sucedida? Continuaremos a utilizar o modelo mostrado na Figura 4.5 com seus slots discretos de disputa.

#### O protocolo bit-map

Em nosso primeiro protocolo livre de colisão, o **método básico bit-map**, cada período de disputa consiste em exatamente  $N$  slots. Se tiver um quadro para transmitir, a estação 0 envia um bit 1 durante o slot número zero. Nenhuma

outra estação poderá transmitir durante esse slot. Independentemente do que a estação 0 fizer, a estação 1 terá a oportunidade de transmitir um bit 1 durante o slot 1, mas se tiver um quadro na fila para ser enviado. Em geral, é possível que a estação 1 informe que tem um quadro para transmitir inserindo um bit 1 no slot  $j$ . Depois que todos os  $N$  slots tiverem passado, cada estação terá total conhecimento de quais estações desejam transmitir. Nesse ponto, elas começam a transmitir em ordem numérica (ver Figura 4.6).

Como todas as estações concordam sobre quem será a próxima a transmitir, nunca haverá colisões. Após a última estação ter transmitido seu slot, um evento que todas as estações podem monitorar com facilidade, inicia-se outro período de disputa de  $N$  bits. Se uma estação ficar pronta logo após seu slot de bits ter passado, ela não conseguirá transmitir e precisará permanecer inativa até que todos os demais tenham tido a chance de transmitir o bit-map toda volta voltado a passar por ela.

Protocolos como esse, nos quais o desejo de transmitir é difundido antes de ocorrer a transmissão real, são chamados de **protocolos de reserva**, pois eles reservam a posse do canal com antecedência e impedem colisões. Vamos analisar rapidamente o desempenho desse protocolo. Para facilitar, mediremos o tempo em unidades do slot de bits de disputa, com os quadros de dados consistindo em  $d$  unidades de tempo.

Em condições de carga baixa, o bit-map simplesmente será repetido várias vezes, por falta de quadros de dados. Considere a situação do ponto de vista de uma estação com numeração baixa, com 0 ou 1. Normalmente, quando ela fica pronta para enviar o slot “atual” estará em algum ponto no meio do bit-map. Em média, a estação terá de esperar  $N/2$  slots para que a varredura atual seja concluída e mais  $N$  slots completos até que a varredura seguinte se encerre, para poder começar a transmitir.

As estações que estiverem aguardando e tiverem números mais altos obterão resultados melhores. Em geral, elas só precisarão esperar pela metade de uma varredura ( $N/2$  slots de bits) antes de iniciar a transmissão. As estações com numeração alta raramente precisam esperar pela próxima varredura. Como as estações de numeração baixa precisam esperar em média  $1.5N$  slots, e as de numeração alta precisam esperar em média  $0.5N$  slot, a média para todas as estações é  $N$  slots.

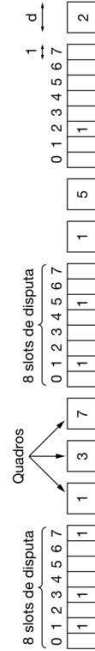


Figura 4.6 O protocolo básico bit-map.

É fácil calcular a eficiência do canal com carga baixa. O overhead por quadro é de  $N$  bits, e o volume de dados é de  $d$  bits, o que resulta em uma eficiência igual a  $d/(d + N)$ . Sob carga alta, quando todas as estações têm algo a enviar no tempo todo, o período de disputa de  $N$  bits é dividido proporcionalmente entre  $N$  quadros, produzindo um overhead de apenas 1 bit por quadro, ou uma eficiência igual a  $d/(d + 1)$ . O atraso médio para um quadro é equivalente à soma do tempo de espera na fila dentro da estação, mais um adicional de  $(N - 1)d + N$ , uma vez que ele alcança o início de sua fila interna. Esse intervalo é o tempo necessário para esperar até que todas as outras estações tenham sua vez para enviar um quadro e outro bit-map.

#### Passagem de tokens

A essência do protocolo bit-map é que ele permite que cada estação transmita um quadro por vez, em uma ordem predefinida. Outra forma de realizar a mesma coisa é passar uma pequena mensagem, chamada **token** ou **signal**. O token para a seguinte, na mesma ordem pré-definida. O token representa a permissão para enviar. Se uma estação tem um quadro na fila para transmissão quando recebe o token, ela pode enviar esse quadro antes de passar o token para a próxima estação. Se ela não tiver um quadro na fila, ela simplesmente passará o token.

Em um protocolo que utiliza a topologia de anel de tokens (**token ring**), esta é usada para definir a ordem em que as estações transmitem. As estações são conectadas às seguintes formando um anel único. A passagem do token para a estação seguinte consiste simplesmente em receber o token em uma direção e transmiti-lo em outra, como vemos na Figura 4.7. Os quadros também são transmitidos na direção do token. Desse modo, eles circulam em torno do anel e alcançarão qualquer estação que seja o destino. Concluído, para impedir que o quadro circule indefinidamente (assim como o próprio token), alguma estação precisa removê-lo do anel. Essa estação pode ser a que enviou o quadro originalmente, depois que ele passou por um ciclo completo, ou a estação de destino do quadro.

Observe que não precisamos de um anel físico para implementar a passagem de tokens. Em vez disso, o canal booleano pelo canal quando são enviados ao mesmo tempo. Chamaremos esse protocolo de **contagem regressiva binária**. Ele foi usado no Datakit (Fraser, 1983). Esse protocolo pressupõe implicitamente que os atrasos de transmissão são desprezíveis, de forma que todas as estações detectam bits diferentes estando passando juntas por uma operação OR

que queria usar o canal transmite seu endereço como uma sequência de bits binários, começando com o bit de endereço e, portanto, ele não se adapta muito bem a redes com milhares de estações. Podemos fazer melhor que isso usando encadeamentos binários de estações com um canal

que, de alguma forma, combine transmissões. Uma estação que estiver no anel transmite seu endereço como uma sequência de bits binários, começando com o bit de endereço e, portanto, ele não se adapta muito bem a redes com milhares de estações. Podemos fazer melhor que isso usando encadeamentos binários de estações com um canal

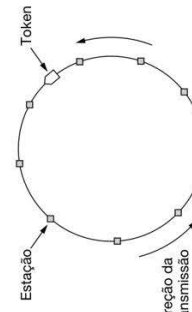
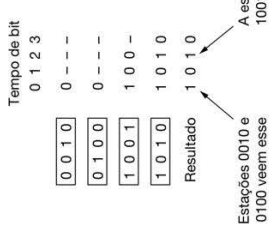


Figura 4.7 Token ring.

que conecta as estações poderia ser um único e longo baramento (cabos). Em seguida, cada estação usa o barramento para enviar o token para a próxima estação em uma sequência predefinida. A posse do token permite que uma estação use o barramento para enviar um quadro. Esse protocolo é chamado de **barramento de tokens** (ou **token bus**). Ele é definido no IEEE 802.4, um padrão que fracassou ao ponto de IEEE retirá-lo. Os padrões nem sempre são eternos. O desenvolvimento da passagem de tokens é semelhante ao do protocolo bit-map, embora os slots de disputa e os quadros de um ciclo agora estejam embaralhados. Depois de enviar um quadro, cada estação precisa esperar que todas as  $N$  estações (incluindo ela mesma) transmitam o token aos seus vizinhos e as outras  $N - 1$  estações transmitam um quadro, se tiverem um. Uma diferença suítil é que, como todas as posições no círculo são equivalentes, não existe parcialidade para estações com numeração baixa ou alta. Para o token ring, cada estação também está apenas transmitindo o token, enquanto sua estação vizinha anterior no protocolo realiza o passo seguinte. Cada token não precisa se propagar para todas as estações antes que o protocolo avance para o passo seguinte.

Os token rings surgiram como protocolos MAC com certa consistência. Um antigo protocolo token ring (chamado “Token Ring” e padronizado como IEEE 802.5) era popular na década de 1980 como uma alternativa à Ethernet clássica. Na década de 1990, um token ring muito mais rápido, chamado **FDDI** (**Fiber Distributed Data Interface**), foi extinto pelo Ethernet comutado. Na década de 2000, um token ring chamado **RPR** (**Resilient Packet Ring**) foi definido como IEEE 802.17 para padronizar a mistura de anéis metropolitanos em uso pelos ISPs. Ainda veremos o que a década de 2020 nos oferecerá.

Para evitar conflitos, é necessário que seja aplicada uma regra de arbitragem: assim que uma estação percebe



**Figura 4.8** Protocolo de contagem regressiva binária. Um traço significa inatividade.

e a eficiência de canal em carga alta. Em condições de carga leve, a disputa (ou seja, o ALOHA original ou o slotted ALOHA) é preferível, em virtude de seu baixo índice de atraso (pois as colisões são raras). À medida que a carga aumenta, a disputa torna-se cada vez menos interessante, pois o overhead associado à arbitragem do canal torna-se maior. O oposto também é verdadeiro em relação aos protocolos livres de colisão. Em carga baixa, elas têm um alto índice de atraso, mas, à medida que a carga aumenta, a eficiência do canal melhora (pois os overheads são fixos).

Obviantemente, seria bom se pudéssemos combinar as melhores propriedades dos protocolos de disputa e dos protocolos livres de colisão, chegando a um novo protocolo que usaria não só a disputa em cargas baixas, para proporcionar um baixo índice de atraso, mas também a técnica livre de colisão em carga alta, para oferecer uma boa eficiência do canal. Esses protocolos, que chamaremos de **protocolos de disputa limitada**, de fato existem, e concluiremos nosso estudo sobre redes com detecção de portadora.

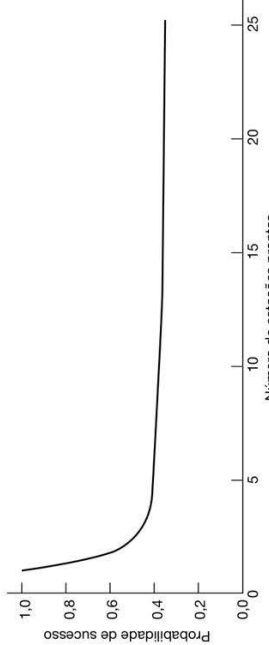
Agora, os únicos protocolos de disputa que estamos são simétricos. Ou seja, cada estação tenta acessar o canal com alguma probabilidade,  $p$ , com todas as estações usando o mesmo  $p$ . É interessante observar que o desempenho geral do sistema às vezes pode ser melhorado com o uso de um protocolo que atribua probabilidades distintas a diferentes estações.

Antes de examinarmos os protocolos assimétricos, faremos uma pequena revisão do desempenho do caso simétrico. Suponha que  $k$  estações estejam disputando o acesso a um canal. Cada uma tem a probabilidade  $p$  de transmitir durante cada slot. A probabilidade de alguma estação aceder ao canal com sucesso durante determinado slot é a probabilidade de que qualquer estação transmita, com probabilidade  $p$ , e todas as outras  $k - 1$  estações adiem, cada uma com probabilidade  $1 - p$ . Esse valor é  $k p(1 - p)^{k-1}$ . Para encontrar o valor ideal de  $p$ , diferenciamos em relação a  $p$ , definimos o resultado como zero e resolvemos a equação para  $p$ . Ao fazer isso, descobrimos que o melhor valor de  $p$  é  $1/k$ . Ao substituirmos  $p = 1/k$ , obtemos:

$$\Pr[\text{sucesso com } p \text{ ideal}] = \left( \frac{k-1}{k} \right)^{k-1}$$

Essa probabilidade está representada na Figura 4.9. Para um pequeno número de estações, as chances de sucesso são boas, mas, tão logo o número de estações alcance até mesmo um único, a probabilidade cai até um número próximo de seu valor assintótico, 1/e.

Pela Figura 4.9, fica evidente que a probabilidade de alguma estação adquirir o canal só pode ser aumentada diminuindo-se o volume de competição. Os protocolos de disputa limitada fazem exatamente isso. Primeiro, eles dividem as estações em grupos (não necessariamente



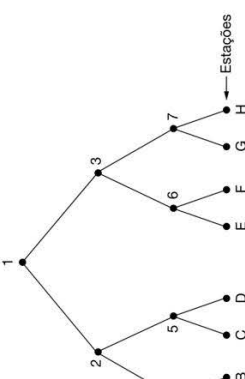
**Figura 4.9** Probabilidade de aquisição de um canal de disputa simétrico.

disjuntos). Apenas os membros do grupo 0 podem disputar o slot 0. Se um deles obtiver êxito, adquirirá o canal e transmitirá seu quadro. Se um slot permanecer inativo ou se ocorrer uma colisão, os membros do grupo 1 disputarão o slot 1, etc. Fazendo-se uma divisão apropriada das estações em grupos, o volume de disputa por cada slot pode ser reduzido e, assim, a operação de cada slot ficará próxima à extremidade esquerda da Figura 4.9.

O truque é a maneira de atribuir estações a slots. Antes de analisarmos o caso geral, vamos considerar algumas situações especiais. Em um extremo, cada grupo tem apenas um membro. Essa atribuição garante que nunca ocorrerão colisões, pois existirá, no máximo, uma estação disputando qualquer slot dado. Já vimos esse tipo de protocolo antes (p. ex., a contagem regressiva binária). A próxima situação especial é atribuir duas estações por grupo. A probabilidade de ambas tentarem transmitir durante um slot é  $p^2$ , que, para um  $p$  pequeno, é desprezível. À medida que mais e mais estações são atribuídas ao mesmo slot, a probabilidade de colisão aumenta, mas diminui a extensão da varredura de bit-map necessária para que todas tenham uma chance. A situação-limite consiste em um único grupo que contém todas as estações (ou seja, o slotted ALOHA). O que precisamos é de uma forma de atribuir dinamicamente estasções a slots, com várias estações (ou apenas uma) por slot quando a carga for alta.

#### O protocolo adaptativo tree-walk

Uma maneira particularmente simples de fazer as atribuições necessárias consiste em usar o algoritmo desenvolvido pelo exército norte-americano para testar a incidência de sítios em soldados durante a Segunda Guerra Mundial (Dorfmman, 1943). Em resumo, o exército extraia uma amostra de sangue de  $N$  soldados. Uma parte de cada amostra foi colocada em um único tubo de teste. Essa amostra misturada foi submetida a teste para detectar anticorpos. Se nenhum anticorpo fosse encontrado, todos os soldados do grupo



**Figura 4.10** Árvore para oito estações.

recursivamente com os filhos localizados à esquerda e à direita desse nó. Se um slot de bits estiver inativo ou se houver apenas uma estação transmitindo nesse slot, a pesquisa de seu nó poderá ser encerrada, pois todas as estações prontas terão sido localizadas. (Se houvesse mais de uma, uma colisão teria ocorrido.)

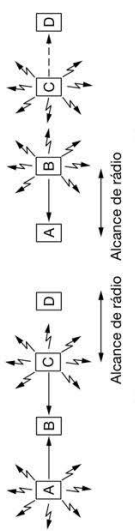
Quando a carga do sistema está muito pesada, quase não vale a pena o esforço de dedicar o slot 0 a no 1, pois esse procedimento só faz sentido na eventualidade improvável de que exatamente uma estação tenha um quadro a ser transmitido. Assim, alguém poderia argumentar que os nós 2 e 3 também deveriam ser ignorados, pela mesma razão. Em termos mais gerais, em que nível da árvore a pesquisa deve ter início? É claro que, quanto maior for a carga, mais baixo na árvore o ponto de início da pesquisa deve estar. Por ora, vamos supor que cada estação tenha uma boa estimativa do número  $q$  de estações prontas, por exemplo, com base no monitoramento de tráfego mais recente.

Para prosseguir, vamos numerar os níveis da árvore a partir do topo, como o no 1 da Figura 4.10 no nível 0, os nos 2 e no nível 1, e assim por diante. Observe que cada no nível 1 tem uma fração  $2^1$  das estações que se encontram abixo dele. Se as  $q$  estações prontas estiverem uniformemente distribuídas, o número esperado dessas estações abaixo de um no específico do nível  $i$  será apenas  $2^{i-1}q$ . Intuitivamente, seria de se esperar que o nível ideal para iniciar a pesquisa na árvore fosse aquela no qual o número médio de estações em disputa por slot fosse igual a 1, isto é, o nível em que  $2^{i-1}q = 1$ . Resolvendo essa equação, descobrimos que  $i = \log_2 q$ .

Foram descobertas diversas melhorias no algoritmo básicoo, as quais são abordadas em detalhes por Bertsekas e Gallager (1992), mas os pesquisadores ainda estão trabalhando nisso (De Marco e Kowalski, 2017). Por exemplo, considere a hipótese em que as estações  $G$  e  $H$  são as únicas que estão esperando para transmitir. No nível 1, ocorrerá uma colisão, de modo que 2 será testado e descartado como não sintonizado. É intuitivo testar o nó 3, pois é certo que haverá colisão, e que nenhuma das estações abaixo de 2, portanto, estará ignorada, e o nó 6 será testado em seguida. Quando essa sondagem também não produzir nenhum resultado, 7 poderá ser ignorado e o nó 9 poderá ser testado em seguida.

#### 4.2.5 Protocolos de LANs sem fio

Um sistema de notebooks que se comunicam por rádio pode ser considerado uma LAN sem fio, como discutimos na Seção 1.4.3. Essa LAN é um exemplo de canal de broadcast. Ela também tem propriedades um pouco diferentes das que caracterizam as LANs com fio, o que leva a diferentes protocolos MAC. Nesta seção, analisaremos alguns deles. Na Seção 4.4, examinaremos a rede 802.11 (WiFi) em detalhes.



**Figura 4.11** Uma LAN sem fio. (a)  $A$  e  $C$  são terminais ocultos ao transmitir para  $B$ . (b)  $B$  e  $C$  são terminais expostos ao transmitir para  $A$  e  $D$ .

ele não ouvirá  $A$ , pois essa estação está fora do alcance  $c$ , portanto,  $C$  concluirá incorretamente que pode transmitir para  $B$ . Se começar a transmitir,  $C$  interferirá em  $B$ , removendo o quadro de  $A$ . (Consideramos aqui que nenhum esquema tipo CDMA é usado para oferecer múltiplos canais, de modo que as colisões utilizam o sinal e destroem os dois quadros.) Queremos um protocolo MAC que impeça esse tipo de colisão, pois isso desperdiça largura de banda. O problema de uma estação não conseguir detectar uma provável concorrente pelo meio físico, porque a estação concorrente está muito longe, é denominado **problema da estação oculta**.

Agora, vamos considerar uma situação diferente:  $B$  está transmitindo para  $A$  ao mesmo tempo que  $C$  deseja transmitir para  $D$ , como mostra a Figura 4.11(b). Se detectar a transmissão de  $B$ ,  $D$  concluirá incorretamente que não pode transmitir para  $D$  (como mostra a linha tracejada). Na verdade, essa transmissão só geraria uma recepção de má qualidade na zona entre  $B$  e  $C$ , em que nem todos os receptores desejados estão localizados. Queremos um protocolo MAC que impeça esse tipo de adjacentamento, pois ele desperdiça largura de banda. Essa situação é chamada de **problema da estação exposta**.

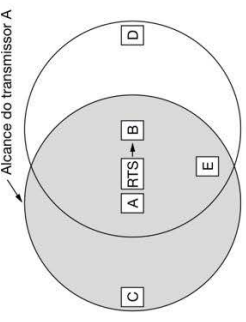
O problema é que, antes de iniciar uma transmissão,

a estação realmente deseja saber se há ou não atividade de rádio em torno do receptor. O CSMA apenas informa a ela se há ou não atividade na estação que detecta a portadora.

Com um fio, todos os sinais se propagam para todas as estações e, portanto, não existe distinção. Todavia, somente uma transmissão pode ocorrer de cada vez em qualquer parte do sistema. Em um sistema baseado em ondas de rádio de pequeno alcance, várias transmissões podem ocorrer simultaneamente, se todas livrem destinos diferentes e elas estiverem fora do alcance uns dos outros. Queremos que essa concorrência aconteça quando a célula se tornar cada vez maior, da mesma forma que pessoas em uma festa não devem esperar que todas na sala fiquem em silêncio antes de começarem a falar; várias conversas podem ocorrer ao mesmo tempo em uma sala grande, desde que elas não sejam dirigidas para o mesmo local.

Um protocolo antigo e influente, que trata desses problemas em LANs sem fio, é o **acesso múltiplo com prevenção de colisão**, ou **MACA (Multiple Access with Collision Avoidance)** (Karn, 1990 e Garcia-Luna-Aceves, 2017). A ideia básica consiste em fazer o transmissor estimular o receptor a liberar um quadro curto como saída, de modo que as estações vizinhas possam detectar essa transmissão e evitar transmitir enquanto o quadro de dados (grande) estiver sendo recebido. Essa técnica é usada no lugar da detecção de portadora.

O MACA é ilustrado na Figura 4.12. Vamos analisar agora como  $A$  envia um quadro para  $B$ .  $A$  inicia a transmissão enviando um quadro de solicitação para envio, ou **RTS (Request to Send)**, para  $B$ , como mostra a Figura 4.12(a).



**Figura 4.12** O protocolo MACA. (a)  $A$  está enviando um quadro RTS para  $B$ . (b)  $B$  está respondendo com um quadro CTS para  $A$ .

Uma configuração comum para uma LAN sem fio é um edifício comercial com pontos de acesso (PAs) estrategicamente posicionados. Todos os PAs são interconectados com o uso de cobre ou fibra, para melhorar a conectividade de com as estações que falam com eles. Se a potência de transmissão dos PAs e dos notebooks for ajustada para um alcance de dezenas de metros, as salas vizinhas se tornarão uma única célula e o edifício inteiro passará a ser um grande sistema celular, como os que estudamos no Capítulo 2, exceto que cada célula só tem um canal, compartilhado por todas as estações em sua célula, incluindo o PA. Em geral, ela oferece larguras de banda de megabit/s até gigabit/s. Teoricamente, o IEEE 802.11ac pode atingir 7 Gbps; porém, na prática, ele é muito mais lento.

Já notamos que os sistemas sem fio normalmente não podem detectar uma colisão enquanto ela está ocorrendo. O sinal recebido em uma estação pode ser curto, talvez um milhão de vezes mais fraco que o sinal que está sendo transmitido. Encontrá-lo é como procurar uma onda no oceano. Em vez disso, as confirmações são usadas para descobrir colisões e outros erros após o fato.

Há uma diferença ainda mais importante entre as LANs sem fio e as convencionais. Uma estação em uma LAN sem fio pode não ser capaz de transmitir quadros ou receber os de todas as estações, em decorrência do alcance de rádio limitado das estações. Nas LANs com fio, quando uma estação envia um quadro, todas as outras estações que o recebem. A ausência dessa propriedade nas LANs sem fio causa uma série de complicações.

Vamos simplificar supondo que cada transmissor de rádio tem alguma alcance fixo, representado por uma região de cobertura circular dentro da qual outra estação pode detectar e receber a transmissão da estação. É importante observar que, na prática, as regiões de cobertura não são tão regulares, pois a propagação dos sinais de rádio depende do ambiente. As paredes e outros obstáculos que atenuam e refletem sinais podem fazer o alcance ser bastante diferente em diversas direções. Mas um modelo circular simples servirá aos nossos propósitos.

Uma abordagem simples para o uso de uma LAN sem fio seria tentar o CSMA; basta escutar outras transmissões e transmitir apenas se ninguém mais estiver usando o canal. O problema é que esse protocolo realmente não é uma boa maneira de pensar nas redes sem fio, pois o que importa para a recepção é a interferência no receptor, e não no transmissor. Para ver a natureza do problema, considere a Figura 4.11, na qual ilustramos quatro estações sem fio. Para os nossos propósitos, não importa quais são  $P_A$  e  $Q_B$  são notebooks. O alcance do rádio é tal que  $A$  e  $B$  estão dentro do alcance e podem interferir um no outro.  $C$  também pode interferir em  $B$  e  $D$ , mas não em  $A$ .

Considere primeiro o que acontece quando  $A$  está transmitindo para  $B$ , como mostra a Figura 4.11(a). Se  $A$  transmite e depois  $C$ , imediatamente detectar o meio físico,

Esse quadro curto (30 bytes) contém o comprimento do quadro de dados que possivelmente será enviado em seguida. Depois disso, *B* responde com um quadro de **Iberação para envio**, ou **CTS (Clear to Send)**, como mostra a Figura 4.12(b). O quadro CTS contém o tamanho dos dados (copiado do quadro RTS). Após o recebimento do quadro CTS, *A* inicia a transmissão.

Agora, vejamos como reagem as estações que estão ouvindo ambos os quadros. Qualquer estação que esteja ouvindo o quadro RTS está próxima de *A* e deve permanecer inativa por tempo suficiente para que o CTS seja transmitido de volta para *A*, sem conflito. Qualquer estação que esteja ouvindo o quadro CTS está próxima de *B* e deve permanecer inativa durante a transmissão de dados que está a caminho, cujo tamanho pode ser verificado pelo exame do quadro CTS.

Na Figura 4.12, *C* está dentro do alcance de *A*, mas não no alcance de *B*. Portanto, essa estação pode detectar o RTS de *A*, mas não o CTS de *B*. Desde que não interfere o CTS, a estação é livre para transmitir enquanto o quadro de dados está sendo enviado. Ao contrário, *D* está dentro do alcance de *B*, mas não de *A*. Ela não detecta o RTS, mas sim o CTS. Ao detectá-lo, ela recebe a indicação de que está perto de uma estação que está prestes a receber um quadro e, portanto, adia a transmissão até o momento em que o envio desse quadro provavelmente esteja concluído. A estação *E* detecta as duas mensagens de controle e, como *D*, deve permanecer inativa até que a transmissão do quadro de dados seja concluída.

Apesar dessas precauções, ainda pode haver colisões. Por exemplo, *B* e *C* poderiam enviar quadros RTS para *A* ao mesmo tempo. Haveria uma colisão entre esses quadros e eles se perderão. No caso de uma colisão, um transmissor que não obtiver êxito (ou seja, o que não detectar um CTS no intervalo esperado) aguardará durante um intervalo aleatório e tentará novamente mais tarde.

## 4.3 ETHERNET

Agora, concluímos nossa discussão resumida sobre protocolos de alocação de canais e, portanto, é hora de analisar como esses princípios se aplicam a sistemas reais. Muitos dos projetos para redes pessoais, locais e metropolitanas foram padronizados com o nome IEEE 802. Alguns desses padrões sobreviveram, mas muitos não, como vimos na Figura 1.38. Algumas pessoas que acreditam em reencenação creem que Charles Darwin retornou como membro da associação de padrões do IEEE com a finalidade de eliminar os menos capazes. Os mais importantes entre os sobreviventes são os padrões 802.3 (Ethernet) e 802.11 (LAN sem fio). O Bluetooth (PAN sem fio) é bastante utilizado, mas agora foi padronizado fora do 802.15.

Comecemos nosso estudo dos sistemas reais com a Ethernet, provavelmente o tipo de rede de computação mais

utilizado no mundo. Existem dois tipos de Ethernet: **Ethernet clássica**, que resolve o problema de acesso múltiplo por meio de técnicas que estudamos neste capítulo, e **Ethernet comutada**, em que dispositivos chamados **switches** são usados para conectar diferentes computadores. É importante observar que, embora ambas sejam chamadas Ethernet, elas são muito diferentes. A Ethernet clássica é a forma original, que atua em velocidades de 3 a 10 Mbps. A Ethernet comutada é a evolução da Ethernet, e trabalha em velocidades de 100, 1.000, 10.000, 40.000 ou 100.000 Mbps, ao que chamamos Fast Ethernet, gigabit Ethernet, 10 gigabit Ethernet, 40 gigabit Ethernet ou 100 gigabit Ethernet. Na prática, somente a Ethernet comutada é usada atualmente.

Discutiremos essas formas históricas da Ethernet em ordem cronológica, mostrando como elas se desenvolveram. Como Ethernet e IEEE 802.3 são idênticos, exceto por uma pequena diferença (que discutiremos em breve), muitas pessoas usam os termos "Ethernet" e "IEEE 802.3" para indicar a mesma coisa. Também faremos isso aqui. Para obter mais informações sobre Ethernet, consulte Spurgeon e Zimmerman (2014).

### 4.3.1 Camada física da Ethernet clássica

A história da Ethernet começa mais ou menos na época da ALOHA, quando um aluno chamado Bob Metcalfe conseguiu seu título de bacharel no MIT e depois "subiu o rio" para obter seu título de Ph.D. em Harvard. Durante seus estudos, conheceu o trabalho de Abramson sobre ALOHA. Ele ficou tão interessado que, depois de se formar em Harvard, decidiu passar o verão no Havaí trabalhando com Abramson, antes de iniciar seu trabalho no Xerox PARC (Palo Alto Research Center). Quando chegou ao PARC, viu que os pesquisadores lá haviam projetado e montado o que mais tarde seriam chamados computadores pessoais. Mas as máquinas eram isoladas. Usando seu conhecimento do trabalho de Abramson, Metcalfe, com seu colega David Boggs, projetou e implementou a primeira rede local (Metcalfe e Boggs, 1976). Ele usou um único cabo coaxial grosso e conseguiu trabalhar a 3 Mbps.

Metcalfe e Boggs chamaram o sistema de **Ethernet**, fazendo referência ao *éter transmissor de luz* (do inglês *luminiferous ether*), através do qual se acreditava que a radiação eletromagnética se propagava. (Quando o físico britânico do século XIX James Clerk Maxwell descobriu que a radiação eletromagnética poderia ser descrita por uma equação de onda, os cientistas acharam que o espaço deveria estar repleto de algum meio etéreo em que a radiação estava se propagando. Sómente depois do famoso experimento de Michelson-Morley, em 1887, é que os físicos descobriram que a radiação eletromagnética podia se propagar no vácuo.)

A rede Ethernet da Xerox foi tão bem-sucedida que DEC, Intel e Xerox chegaram a um padrão em 1978 para

segmentos de cabo conectados por repetidores não são diferentes de um único cabo (exceto por um pequeno atraso introduzido pelos repetidores).

Por um a um desses cabos, a informação era enviada usando a codificação Manchester que estudamos na Seção 2.4.3. Uma Ethernet poderia conter vários segmentos de cabo e vários repetidores, mas dois transceptores não poderiam estar mais de 2,5 km afastados um do outro e nem um caminho entre dois transceptores quaisquer poderia atravessar mais de quatro repetidores. O motivo para essa restrição foi para que o protocolo MAC, que examinaremos em seguida, funcionasse corretamente.

### 4.3.2 O protocolo da subcamada MAC Ethernet clássica

O formato usado para transmitir quadros é mostrado na Figura 4.14. Cada quadro começa com um *Preambulo* de 8 bytes, cada um contendo o pacote de bits 10101010 (com exceção do último byte, em que os dois últimos bits são 11). Esse último byte é chamado de *início de quadro* para o 802.3. A codificação Manchester desse parâmetro produz uma onda quadrada de 10 MHz por 6,4  $\mu$ s, a fim de permitir a sincronização entre o clock do receptor e o clock do transmissor. Os dois últimos bits 1 dizem ao receptor que o restante do quadro está para chegar.

Em seguida, o quadro contém dois endereços, um para o destino e um para a origem. Cada um deles possui 6 bytes de extensão. O primeiro bit transmitido do endereço de destino é 0 para endereços comuns e 1 para endereços de grupo. Estes permitem que diversas estações escutem os grupos. Estes permitem que diversas estações escutem sinais nas duas direções. Em relação ao software, diversos

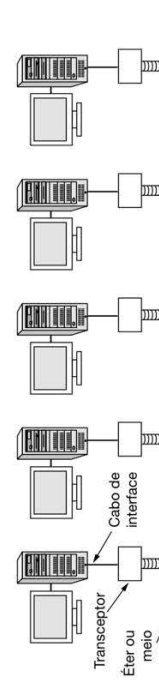


Figura 4.13 Arquitetura da Ethernet clássica.

Bytes	8	6	6	2	0-1500	0-46	4
(a)	Preambulo	Endereço de destino	Endereço de origem	Tipo	Dados	Preenchimento	Checksum
(b)	Preambulo	Endereço de destino	Endereço de origem	Tamanho	Dados	Preenchimento	Checksum

Figura 4.14 Formato dos quadros. (a) Ethernet (DIX). (b) IEEE 802.3

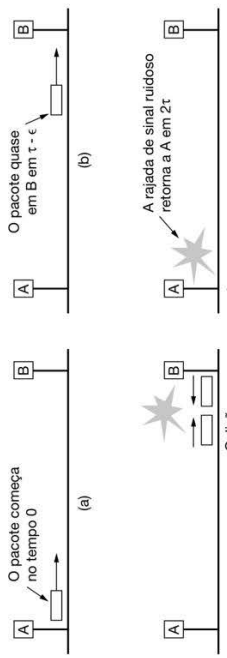
endereço de grupo, todas as estações do grupo o recebem. A transmissão para um grupo de estações é chamada de **multicasting**. O endereço que consiste em todos os bits 1 é reservado para **broadcasting**. Um quadro contendo todos os bits 1 no campo de destino é aceito por todas as estações da rede. O multicasting é mais seletivo, mas envolve o gerenciamento de grupos para definir quais estações pertencem ao grupo. Por sua vez, o broadcasting não diferencia entre estação alguma e, por isso, não requer qualquer gerenciamento de grupos.

Uma característica interessante dos endereços de origem da estação é que eles são globalmente exclusivos, atribuídos de forma centralizada pelo IEEE para garantir que duas estações em qualquer lugar do mundo nunca tenham o mesmo endereço. A ideia é que qualquer estação possa endereçar de forma exclusiva qualquer outra estação丝毫不adamente informando o número de 48 bits correto. Para fazer isso, os três primeiros bytes do campo de endereço são usados para um **identificador exclusivo da organização**, ou **OUI (Organizationally Unique Identifier)**. Os valores para esse campo são atribuídos diretamente pelo IEEE e indicam o fabricante. Os fabricantes recebem blocos de  $2^{24}$  endereços. O fabricante atribui os três últimos bytes do endereço e programa o endereço completo na NIC antes que seja vendida.

Em seguida, vem o campo *Tipo ou Tamanho*, dependendo se o quadro é Ethernet ou IEEE 802.3. A Ethernet usa um campo *Tipo* para informar ao receptor o que fazer com o quadro. Vários protocolos da camada de rede podem estar em uso ao mesmo tempo na mesma máquina; assim, quando chega um quadro Ethernet, o sistema operacional tem de saber a qual deles deve entregar o quadro. O campo *Tipo* especifica que processo deve receber o quadro. Por exemplo, um código tipo 0x0800 significa que os dados contêm um pacote IPv4.

O IEEE 802.3, em sua sabedoria, decidiu que esse campo transportaria o tamanho do quadro, pois o tamanho Ethernet era determinado examinando o interior dos dados – uma violação do uso de camadas, se é que isso existiu. Naturalmente, isso significava que não havia como o receptor descobrir o que fazer com um quadro que chegava. Esse problema foi tratado pelo arescimo de outro cabeçalho para o protocolo de controle lógico do enlace dentro dos dados, que vêm mais adiante. Ele usa 8 bytes para transportar os 2 bytes de informação do tipo de protocolo.

Inteligentemente, quando o 802.3 foi publicado, já havia tanto hardware e software para a Ethernet DIX em uso que poucos fabricantes e usuários tinham interesse em modificar os campos de *Tipo* e *Tamanho*. Em 1997, o IEEE jogou a toalha e disse que as duas maneiras poderiam ser usadas. Felizmente, todos os campos de *Tipo* em uso antes de 1997 tinham valores maiores que 1500, que ficou bem estabelecido como o tamanho máximo dos dados. Agora, a regra é que qualquer número menor ou igual a 0x600 (1536) pode



**Figura 4.15** A detecção de colisão pode demorar até o tempo  $2t$ .

ser interpretado como *Tamanho*, ao passo que qualquer número maior que 0x600 pode ser interpretado como *Tipo*. Agora o IEEE pode afirmar que todos estão usando seu padrão e os outros podem continuar fazendo o que já faziam (não se preoccupar com o LLC [logical link control]) sem se sentir culpados por isso. Isso é o que acontece quando a política (industrial) encontra a tecnologia.

Depois, vêm os dados, com até 1.500 bytes. Esse limite foi escolhido de forma um tanto arbitrária na época em que o padrão Ethernet foi esculpido, principalmente com base no fato de que um transceptor precisa ter RAM suficiente para guardar um quadro inteiro e, em 1978, a RAM tinha um custo muito alto. Um limite superior maior significaria mais RAM e, consequentemente, um transceptor maior e caro.

Além de haver um comprimento máximo de quadro, também existe um comprimento mínimo. Embora um campo de dados de 0 bytes seja útil, ele causa um problema. Quando um transceptor detecta uma colisão, ele trunca o quadro atual, o que significa que bits perdidos e fragmentos de quadros aparecem a todo instante no cabo. Para tornar mais fácil a distinção entre quadros válidos e inválidos, o Padrão Ethernet exige que os quadros válidos terminam pelo menos 64 bytes de extensão, do endereço de destino até o campo de checksum, incluindo ambos. Se a parte de dados de um quadro for menor que 46 bytes, o campo *Preamble* será usado para preencher o quadro até o tamanho mínimo.

Outra (e mais importante) razão para existência de um quadro de comprimento mínimo é impedir que uma estação comece a transmitir de um quadro curto antes de o primeiro bit ter atingido a outra extremidade do cabo, em que ele poderá colidir com outro quadro. Esse problema é ilustrado na Figura 4.15. No tempo 0, a estação A, localizada em uma extremidade da rede, envia um quadro. Vamos chamar de  $\tau$  o tempo de propagação que ele leva para atingir a outra extremidade. Momentos antes de o quadro chegar à outra extremidade (ou seja, no tempo  $\tau - \epsilon$ ), a estação mais distante, B, inicia a transmissão. Quando detecta que está recebendo mais potência do que está transmitindo, B sabe que ocorreu uma colisão, interrompe a transmissão e gera uma rajada de sinal ruídos de 48 bits para avisar as demais estações. Em outras palavras, ela bloquia o eixo (meio) para ter certeza de que o transmissor não ignorará a colisão. Aproximadamente no tempo  $2\tau$ , o transmissor detecta a rajada de ruídos e também cancela sua transmissão. Depois, ele espera por um tempo aleatório antes de tentar novamente.

Se uma estação tentar transmitir um quadro muito curto, é concebível que ocorra uma colisão, mas a transmissão

será concluída antes que a rajada de sinal ruídos retorne no instante  $2\tau$ . Então, o transmissor concluirá incorretamente que o quadro foi enviado com êxito. Para evitar que essa situação ocorra, a transmissão de todos os quadros deve

demorar mais de  $2\tau$  para transmitir, de forma que a transmissão ainda esteja acontecendo quando a rajada de sinal ruídos voltar ao transmissor. Para uma LAN de 10 Mbps com um comprimento máximo de 2.500 m e quatro repetidores (de acordo com a especificação 802.3), o tempo de ida e volta (incluindo o tempo de propagação pelos quatro repetidores) foi calculado em quase 50  $\mu$ s na pior das hipóteses. Portanto, o quadro mínimo deve demorar pelo menos esse tempo para ser transmitido. A 10 Mbps, um bit demora 100 ns, e assim 500 bits é o menor tamanho de quadro que oferece a garantia de funcionar. Para apresentar certa margem de segurança, esse número foi arredondado para 512 bits ou 64 bytes.

O último campo Ethernet é o *CRCsum*. Ele é um CRC de 32 bits do tipo que estudamos na Seção 3.2. De fato, é definido exatamente pelo polinômio gerador que mostramos lá, que apareceu para PPP, ADSL e outros enlaces também. Esse CRC é um código de detecção de erro usado para determinar se os bits do quadro foram recebidos corretamente. Ele simplesmente realiza a detecção de erros, com o quadro sendo descartado se algum erro for detectado.

#### CSMA/CD com backoff exponencial binário

A Ethernet clássica utiliza o algoritmo CSMA/CD 1-persistent, que estudamos na Seção 4.2. Esse descreve só que as estações sentem o meio quando elas têm um quadro para transmitir e o enviam assim que o meio se torna desocupado. Elas monitoram o canal em busca de colisões enquanto transmitem. Se houver uma colisão, elas cancelam a transmissão com um curto sinal de interferência e retransmitem após um intervalo aleatório. Se o intervalo de escolha do número aleatório para todas as colisões fosse 1023, o risco de duas estações colidirem uma segunda vez seria desprezível, mas o tempo de espera médio depois de uma colisão seria de centenas de slots, ocasionando um atraso significativo. Em contrapartida, se cada estação sempre esperasse entre 0 ou 1 slot, e se 100 estações tentasse transmitir ao mesmo tempo, elas colidiriam repetidas vezes até que 99 delas escolhessem 1 e a estação restante escolhesse 0. Isso poderia levar anos. Aumentando-se exponencialmente o intervalo de tempo aleatoriamente, à medida que ocorre um número cada vez maior de colisões consecutivas, o algoritmo assegura um baixo atraso quando a colisão ocorre.

Vejamos agora como é determinado o intervalo aleatório quando ocorre uma colisão, pois esse é um método novo. O modelo ainda é o da Figura 4.5. Depois de uma colisão, o tempo é dividido em slots discretos, cujo compimento é igual ao pior tempo de propagação da viagem de ida e volta no éter ( $2\tau$ ). Para acomodar o caminho mais longo permitido pelo padrão Ethernet, o tempo de duração

Se não houver colisão, o transmissor considera que o quadro provavelmente foi entregue com êxito. Ou seja,

num CSMA/CD nem Ethernet oferecem confirmações. Essa escolha é apropriada para canais com fio e de fibra óptica, que têm baixas taxas de erro. Qualquer erro que ocorram devem então ser detectados pelo CRC e recuperados pelas camadas mais altas. Para canais sem fio, que têm mais erros, veremos que as confirmações realmente são utilizadas.

#### 4.3.3 Desempenho da Ethernet

Agora, vamos examinar rapidamente o desempenho da Ethernet sob condições de carga alta e constante, ou seja,  $k$  estações sempre prontas a transmitir. Uma análise completa do algoritmo de backoff exponencial binário é muito complicada. Em vez disso, seguimos Metcalfe e Boggs (1976) e vamos supor uma probabilidade de retransmissão constante em cada slot. Se cada estação transmitir durante um slot de disputa com probabilidade  $p$ , a probabilidade  $A$  de que alguma estação tome posse do canal existente nesse slot será:

$$A = kp(1-p)^{k-1}$$

$A$  é maximizado quando  $p = 1/k$ , com  $A \rightarrow 1/e$ , à medida que  $k \rightarrow \infty$ . A probabilidade de que o intervalo de disputa tenha exatamente  $s$  slots é  $A(1 - A)^{s-1}$ , de forma que o número médio de slots por disputa é dado por

$$\sum_{j=0}^{\infty} jA(1 - A)^{j-1} = \frac{1}{A}$$

Como cada slot tem uma duração de  $2\pi$ , o intervalo médio de disputa,  $\bar{w}$ , é  $2\pi/A$ . Suponho-se um valor ideal para  $p$ , o número médio de slots de disputa nunca será maior que  $e$ ; portanto,  $w$  é, no máximo,  $2e \approx 5.4e$ .

Se o quadro leva em média  $P$  segundos para ser transmitido, quando muitas estações tiverem quadros para enviar,

$$\text{Eficiência do canal} = \frac{P}{P + 2\pi/A} \quad (4.2)$$

Aqui, vemos onde a distância máxima do cabo entre duas estações entra nos números do desempenho. Quanto maior for o cabo, maior será o intervalo de disputa, o que explica por que o padrão Ethernet especifica um comprimento máximo de cabo. Com  $P = FB$ , a Equação 4.2 passa a ser:

$$\text{Eficiência do canal} = \frac{1}{1 + 2BLE/cF} \quad (4.3)$$

Figura 4.16 Eficiência da Ethernet a 10 Mbps com tempos por slot de 512 bits.

experimentos, que a Ethernet funciona bem na realidade, até mesmo com carga moderadamente alta.

#### 4.3.4 Ethernet comutada

A Ethernet logo começou a evoluir para longe da arquitetura de cabo longo único da Ethernet clássica (o éter). Os problemas associados a encontrar interrupções ou conexões partidas a levaram para um tipo diferente de padrão de interface, em que cada estação tem um cabo dedicado esticado até um hub central. Um hub simplesmente conecta todos os fios eletricamente, como se eles fossem únicos. Essa configuração pode ser vista na Figura 4.17(a).

Os fios eram pares trançados da companhia telefônica, pois a maioria dos prédios de escritórios já estava conectada dessa forma e normalmente havia muita capacidade ociosa disponível. Esse resultado foi um ganho, mas reduziu o tamanho máximo do cabo de hub para 100 m (200 m, se fossem usados pares trançados de alta qualidade da Categoria 5). A inclusão ou remoção de uma estação é mais simples nessa configuração, e uma interrupção de cabo pode ser facilmente detectada. Com a vantagem de elas serem capazes de usar a filiação existente e a facilidade de manutenção, os hubs de par trançado rapidamente se tornaram a forma dominante na topologia Ethernet.

Todavia, os hubs não aumentam a capacidade, pois só logicamente equivalentes ao cabo longo e único da Ethernet clássica. Quando mais e mais estações são acrescentadas, cada estação recebe uma fatia cada vez menor da capacidade fixa. Por fim, a LAN saturaria. Uma saída é usar uma velocidade maior, digamos, de 10 Mbps para 100 metros do que os 37% de eficiência da slotted ALOHA. Talvez valha a pena mencionar que houve um grande número de análises teóricas sobre o desempenho da Ethernet (e de outras redes). A maioria dos resultados deve ser considerada com certa cautela (talvez muita cautela) por diversas razões. Primeiro, praticamente todos esses trabalhos presumem que o tráfego obedece a uma série de Poisson. Quando os pesquisadores começaram a analisar dados reais, eles descobriram que o tráfego de rede raras vezes é de Poisson, e sim semelhante ou em forma de rajada em um intervalo escalonado de tempo (Paxson e Floyd, 1995; e Fontenelle et al., 2017). Isso significa que calcular uma média durante intervalos longos não suaviza o tráfego. Assim como no uso de modelos questionáveis, muitas das análises focam nos casos de desempenho "interessantes" para carga estranhamente alta. Boggs et al. (1988) mostraram, com

Mbps, 1 Gbps ou velocidades ainda maiores. Mas, com o crescimento da multimídia e de servidores poderosos, até mesmo a Ethernet de 1 Gbps pode ficar saturada.

Felizmente, existe outra solução para lidar com o aumento da carga: a Ethernet comutada. O núcleo desse sistema é um switch, que contém uma placa integrada (ou backbone) de alta velocidade que conecta todas as portas, como mostra a Figura 4.17(b). Por fora, um switch se parece com um hub. Ambos são caixas, normalmente com 48 portas, cada uma contendo um conector RJ-45 padrão para um cabo de par trançado. Cada cabo conecta o switch ou hub a um único computador, como mostra a Figura 4.18. Um switch também tem as mesmas vantagens de um hub.

É muito fácil acrescentar ou remover uma nova estação conectando ou desconectando um fio, e é fácil encontrar a maioria das falhas, pois um cabo ou porta com defeito afeta apenas uma estação. Ainda existe um componente comum que pode falhar – o próprio switch – mas, se todas as estações perderem conectividade, o pessoal de TI sabe o que fazer para resolver o problema: substituir o switch inteto.

Denro do switch, porém, algo muito diferente está acontecendo. Os switches só enviam quadros às portas para as quais esses quadros são destinados. Quando uma porta do switch recebe um quadro Ethernet de uma estação, o switch verifica os endereços Ethernet para saber para qual porta o quadro se destina. Essa etapa requer que o switch descubra quais portas correspondem a quais endereços, um processo que explicaremos na Seção 4.8, quando analisarmos o caso geral dos switches conectados a outros switches. Por enquanto, basta considerar que o switch

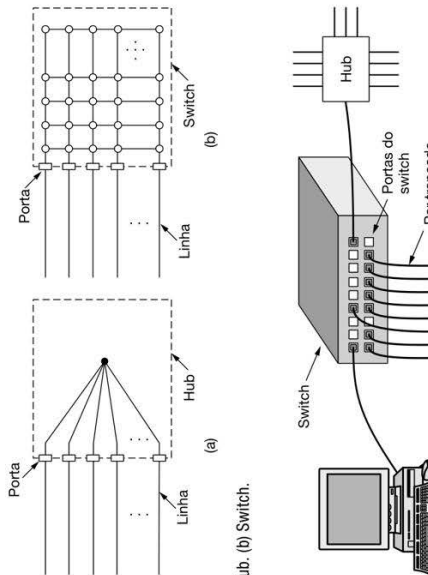


Figura 4.17 (a) Hub. (b) Switch.

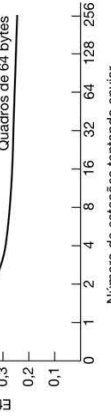


Figura 4.16 Eficiência da Ethernet a 10 Mbps com tempos por slot de 512 bits.

Mbps, 1 Gbps ou velocidades ainda maiores. Mas, com o crescimento da multimídia e de servidores poderosos, até mesmo a Ethernet de 1 Gbps pode ficar saturada.

Felizmente, existe outra solução para lidar com o aumento da carga: a Ethernet comutada. O núcleo desse sistema é um switch, que contém uma placa integrada (ou backbone) de alta velocidade que conecta todas as portas, como mostra a Figura 4.17(b). Por fora, um switch se parece com um hub. Ambos são caixas, normalmente com 48 portas, cada uma contendo um conector RJ-45 padrão para um cabo de par trançado. Cada cabo conecta o switch ou hub a um único computador, como mostra a Figura 4.18. Um switch também tem as mesmas vantagens de um hub.

É muito fácil acrescentar ou remover uma nova estação conectando ou desconectando um fio, e é fácil encontrar a maioria das falhas, pois um cabo ou porta com defeito afeta apenas uma estação. Ainda existe um componente comum que pode falhar – o próprio switch – mas, se todas as estações perderem conectividade, o pessoal de TI sabe o que fazer para resolver o problema: substituir o switch inteto.

Denro do switch, porém, algo muito diferente está acontecendo. Os switches só enviam quadros às portas para as quais esses quadros são destinados. Quando uma porta do switch recebe um quadro Ethernet de uma estação, o switch verifica os endereços Ethernet para saber para qual porta o quadro se destina. Essa etapa requer que o switch descubra quais portas correspondem a quais endereços, um processo que explicaremos na Seção 4.8, quando analisarmos o caso geral dos switches conectados a outros switches. Por enquanto, basta considerar que o switch

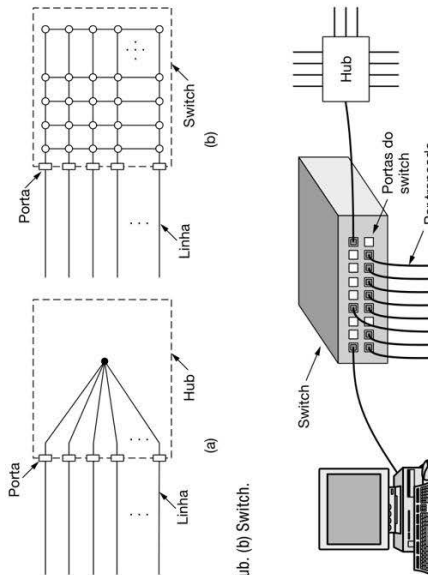


Figura 4.18 Um switch Ethernet.

conhece a porta de destino do quadro. Depois, ele encaminha o quadro por sua placa interna de alta velocidade até a porta de destino. A placa interna normalmente trabalha com muitos Gbps, usando um protocolo próprio que não precisa ser padronizado, pois fica inteiramente oculto dentro do switch. A porta de destino, então, transmite o quadro no fio para que ele alcance a estação intencionalizada. Nenhuma das outras portas sequer saberá que o quadro existe.

O que acontecerá se duas estações ou portas quiserem transmitir um quadro ao mesmo tempo? Novamente, os switches diferem dos hubs. Em um hub, todas as estações estão rapidamente se tornando espécies em extinção. As redes modernas usam Ethernet comutada quase exclusivamente. Apesar disso, ainda existem hubs legados. A porta precisa ter um buffer, para que possa temporariamente enfileirar um quadro de entrada até que ele possa ser transmitido para a porta de saída. Em geral, essas melhorias dão um grande ganho de desempenho, o que não é possível com um hub. O throughput total do sistema normalmente pode ser aumentado em uma ordem de grandeza, dependendo do número de portas e padrões de tráfego.

A mudança nas portas em que os quadros são enviados também tem benefícios para a segurança. A maioria das interfaces de LAN possui um **modo promiscuo**, em que todos os quadros são dados a cada computador, não apenas aos endereçados a ele. Com um hub, cada computador conectado pode ver o tráfego enviado entre todos os outros computadores. Espiões adoram esse recurso. Com um switch, o tráfego é encaminhado apenas para as portas às quais ele é destinado. Essa restrição oferece melhor isolamento, de modo que o tráfego não escapará com facilidade nem cairá em mãos erradas. Contudo, é melhor criptografar o tráfego se a segurança realmente for necessária.

Tendo em vista que o switch espera apenas quadros Ethernet padronizados em cada porta de entrada, é possível usar algumas dessas portas como concentradoras. Na Figura 4.18, a porta localizada no canto superior direito não está conectada a uma estação isolada, mas a um hub de 12 portas. À medida que chegam ao hub, os quadros disputam a

rede Ethernet normalmente, inclusive com colisões e backoff exponencial binário. Os quadros bem-sucedidos são enviados ao switch e são tratados como quaisquer outros quadros recebidos. O switch não sabe que eles tiveram de brigar para chegar lá. Uma vez no switch, eles são enviados para a linha de saída correta pela placa integrada de alta velocidade. Também é possível que o destino correto fosse uma das linhas conectadas ao hub, quando o quadro já foi entregue, de modo que o switch simplesmente o descarta. Os hubs são mais simples e mais baratos que os switches, mas, em decorrência da queda nos preços dos switches, eles estão rapidamente se tornando espécies em extinção. As redes modernas usam Ethernet comutada quase exclusivamente. Apesar disso, ainda existem hubs legados.

### 4.3.5 Fast Ethernet

Ao mesmo tempo em que os switches estavam se tornando populares, a velocidade da Ethernet de 10 Mbps estava sendo pressionada. A princípio, 10 Mbps parecia ser o parafuso, da mesma forma que os modems a cabo pareciam ser o parafuso para os usuários de modems telefônicos de 56 kbps. Todavia, o que era novidade se dissipou com rapidez. Como uma espécie de corolário da Lei de Parkinson ("O trabalho se expande até preencher o tempo disponível para sua conclusão"), parecia que os dados se expandiam para preencher toda a largura de banda disponível para sua transmissão.

Muitas instalações precisavam de maior largura de banda e tinham diversas LANs de 10 Mbps conectadas por um labirinto de repetidores, hubs e switches, embora as vezes parecesse, para os administradores de redes, que elas estavam conectadas por goma de masticar e tela de arame. Contudo, até mesmo com switches Ethernet, a largura de banda máxima de um único computador era limitada pelo cabo que o conectava à porta do switch.

Foi nesse ambiente que o IEEE reuniu o comitê de 802.3 em 1992, com instruções para produzir uma LAN mais rápida. Uma das propostas era manter o 802.3 exactamente como estava, apenas tornando-o mais rápido. Outra proposta era refazer-lo completamente, para integrar um grande número de novos recursos, como tráfego em tempo real e voz digitalizada, mas manter o antigo nome (por motivos de marketing). Após alguma discussão, o comitê decidiu manter o 802.3 como ele era, simplesmente tornando-o mais rápido. Essa estratégia realizaria o trabalho antes que a tecnologia mudasse, evitando problemas não previstos com um projeto totalmente novo. O novo projeto também seria compatível com as LANs Ethernet existentes. As pessoas que apoiavam a proposta perdedora fiziram o que qualquer pessoa do setor de informática que se prezava faria nessas circunstâncias – formaram seu próprio comitê e padronizaram sua LAN assim mesmo (como o padrão 802.12). Esse padrão fracassou por completo.

O trabalho foi feito rapidamente (pelas normas dos comitês de padronização) e o resultado, o 802.3u, foi oficialmente aprovado pelo IEEE em junho de 1995. Tecnicamente, o 802.3u não é um padrão novo, mas um adendo ao padrão 802.3 existente (para enfatizar sua compatibilidade). Essa estratégia é muito utilizada. Como praticamente todos os chamam de **Fast Ethernet**, em vez de 802.3u, fáremos o mesmo.

A ideia básica por trás da Fast Ethernet era simples: manter os antigos formatos de quadros, interfaces e regras de procedimentos, e apenas reduzir o tempo de bit de 100 ns para 10 ns. Tecnicamente, teria sido possível copiar a Ethernet clássica de 10 Mbps e continuar a detectar colisões a tempo, pela simples redução do comprimento máximo do cabo a um décimo do comprimento original. Entretanto, as vantagens do cabeamento de par trançado eram tão grandes que a Fast Ethernet se baseou integralmente nesse projeto. Por isso, todos os sistemas Fast Ethernet usam hubs e switches; porém, cabos multiponto com conectores de pressão ou conectores BNC não são permitidos.

Entretanto, algumas decisões ainda precisavam ser tomadas, sendo que a mais importante dizia respeito aos tipos de fios que seriam aceitos. Um dos concorrentes era o par trançado da Categoria 3. O argumento a favor dele era que todo escritório do mundo ocidental tinha pelo menos quatro pares trançados por estação só usados, um para o hub e outro para o switch. Nem a codificação binária direta (ou seja, NRZ) nem a codificação **4B5B**, que descrevemos na Seção 4.3. Quatro bits de dados são codificados por dois pares trançados por estação, são usados, um para o hub e outro a partir dele. Nem a codificação binária direta (ou seja, NRZ) nem a codificação Manchester são usadas. Em vez disso, é usada a codificação **4B5B**, que descrevemos na Seção 4.3. Quatro bits de dados são codificados como 5 bits de sinal e enviados a 125 MHz para fornecer 100 Mbps. Essa esquema é simples, mas tem transições suficientes para sincronizar e usa a largura de banda do fio relativamente bem. O sistema 100Base-TX é full-duplex; as estações podem transmitir a 100 Mbps em um par trançado e recebem em 100 Mbps em outro par trançado ao mesmo tempo.

A última opção, o **100Base-FX**, utiliza dois fios de fibra multimodo, um para cada sentido; por isso, ele também é full-duplex, com 100 Mbps em cada sentido. Nessa configuração, a distância entre uma estação e o switch pode ser de até 2 km.

A Fast Ethernet permite a interconexão por hubs ou switches. Para garantir que o algoritmo CSMA/CD

chamado **100Base-T4**, emprega uma velocidade de sinalização de 25 MHz, somente 25% mais rápida do que os 20 MHz da Ethernet padrão. (Lembre-se de que a codificação Manchester, discutida na Seção 2.4.3, requer dois períodos de clock para cada um dos 10 milhões de bits enviados a cada segundo.) Contudo, para atingir a taxa de transmissão atual. Para conseguir 100 Mbps dos três pares trancados na direção da transmissão, um esquema bastante simples é usado: o 100Base-T4 exige quatro pares trançados. Dos quatro pares, um sempre é para o hub, um sempre é para o hub e os outros são comutáveis para a direção da transmissão. Assim, o hub e os outros são comutáveis para a direção da transmissão atual.

Para conseguir 100 Mbps dos três pares trancados na direção da transmissão, um esquema bastante complicado é usado em cada par trançado. Ele envolve o envio de dígitos temporários com três níveis de tensão. Esse envio de dígitos temporários com três níveis de tensão. Esse esquema provavelmente não ganharia nenhum prêmio de elegância, e (felizmente) deixaremos de lado os detalhes.

Todavia, como a fação da telefonia padrão há décadas tem quatro pares por cabo, a maioria dos escritórios é capaz de usar a fação existente. É claro que isso significa abrir mão do telefone do seu escritório, mas esse certamente é um pequeno preço a pagar por um e-mail mais rápido. O 100Base-T4 foi deixado de lado quando muitos prédios de escritórios tiveram a fação trocada para o UTP de Categoria 5 para Ethernet. **100Base-T5**, que veio para trancado da Categoria 5. O argumento a favor dele era que os fios podem lidar com taxas de clock de 125 MHz. Somente dois pares trançados por estação são usados, um para o hub e outro a partir dele. Nem a codificação binária direta (ou seja, NRZ) nem a codificação Manchester são usadas. Em vez disso, é usada a codificação **4B5B**, que descrevemos na Seção 4.3. Quatro bits de dados são codificados como 5 bits de sinal e enviados a 125 MHz para fornecer 100 Mbps. Essa esquema é simples, mas tem transições suficientes para sincronizar e usa a largura de banda do fio relativamente bem. O sistema 100Base-T5 é full-duplex; as estações podem transmitir a 100 Mbps em um par trançado e receberem em 100 Mbps em outro par trançado ao mesmo tempo.

A última opção, o **100Base-FX**, utiliza dois fios de fibra multimodo, um para cada sentido; por isso, ele também é full-duplex, com 100 Mbps em cada sentido. Nessa configuração, a distância entre uma estação e o switch pode ser de até 2 km.

A Fast Ethernet permite a interconexão por hubs ou switches. Para garantir que o algoritmo CSMA/CD

Nome	Cabo	Tam. máx. de segmento	Vantagens
100Base-T4	Par trançado	100 m	Utiliza UTP da Categoria 3
100Base-TX	Par trançado	100 m	Full-duplex a 100 Mbps (UTP Cat. 5)
100Base-FX	Fibra óptica	2.000 m	Full-duplex a 100 Mbps; grandes distâncias

Figura 4.19 O cabeamento Fast Ethernet original.

continue a funcionar, o relacionamento entre o tamanho do quadro mínimo e o tamanho de cabo máximo deve ser mantido enquanto a velocidade da rede sobe de 10 Mbps para 100 Mbps. Assim, ou o comprimento mínimo do quadro de 64 bytes deve aumentar ou o comprimento máximo do cabo de 2.500 m deve diminuir proporcionalmente. A colha fácil foi que a distância máxima entre duas estações quaisquer fosse diminuída por um fator de 10, pois um hub com cabos de 100 m já está dentro desse novo máximo. Contudo, os cabos 100Base-FX de 2 km são muito longos para aceitar um hub de 100 Mbps com o algoritmo de colisão normal da Ethernet. Esses cabos, em vez disso, precisam ser conectados a um switch e operar em um modo full-duplex para que não haja colisões.

Os usuários rapidamente começaram a implantar a Fast Ethernet, mas eles não quiseram abandonar as placas Ethernet de 10 Mbps nos computadores mais antigos. Por conseguinte, praticamente todos os switches Ethernet podem lidar com uma mistura de estações de 10 Mbps e 100 Mbps. Para facilitar o upgrade, o próprio padrão oferece um mecanismo chamado **autonegotiação**, que permite que duas estações negociem automaticamente a velocidade ideal (10 ou 100 Mbps) e o tipo de duplex (half ou full). Isso quase sempre funciona bem, mas pode ocasionar problemas de divergência do duplex quando uma extensão do enlace autonegocia e a outra não, ficando definida como o modo full-duplex (Shalunov e Carlson, 2005).

A maioria dos produtos Ethernet utiliza esse recurso para se configurar.

### 4.3.6 Gigabit Ethernet

A tinta mal havia secado no padrão Fast Ethernet quando o comitê 802 começou a trabalhar em uma Ethernet ainda mais rápida, prontamente apelidada de **gigabit Ethernet**. O IEEE ratificou a forma mais popular como 802.3ab em 1999. A seguir descreveremos algumas das principais características da gigabit Ethernet. Você pode encontrar mais informações em Spurgeon e Zimmerman (2014).

Os objetivos do comitê para a gigabit Ethernet eram essencialmente os mesmos do comitê para a Fast Ethernet: tornar a 10 vezes mais rápida, mantendo a compatibilidade com todos os padrões Ethernet existentes. Em particular, a gigabit Ethernet tinha de oferecer o serviço de datagrama não confirmado com unicasting e broadcasting, empregar o mesmo esquema de endereçamento de 48 bits já em uso e manter o mesmo formato de quadro, inclusive seus tamanho mínimo e máximo. O padrão final atendeu a todos esses objetivos.

Também como a Fast Ethernet, todas as configurações da gigabit Ethernet utilizam enlaces ponto a ponto. Na configuração mais simples, ilustrada na Figura 4.20(a), dois computadores estão diretamente conectados um ao outro. Contudo, o caso mais comum consiste em um switch ou um hub conectado a vários computadores e possivelmente a switches ou hubs adicionais, como mostra a Figura 4.20(b). Em ambas as configurações, cada cabo Ethernet tem exatamente dois dispositivos conectados a ele, nem mais nem menos.

Assim como a Fast Ethernet, a gigabit Ethernet admite dois modos de operação: o full-duplex e o half-duplex. O modo “normal” é o full-duplex, que permite tráfego em ambos os sentidos ao mesmo tempo. Ele é usado quando existe um switch central conectado a computadores (ou outros switches) na periferia. Nessa configuração, todas as linhas têm buffers de armazenamento, de forma que cada computador e cada switch são livres para enviar quadros sempre que quiserem. O transmissor não precisa observar o canal para saber se ele está sendo usado por mais alguém, pois a disputa é impossível! Na linha entre um computador e um switch, o computador é o único transmissor possível para o switch naquela linha, e a transmissão terá sucesso ainda que o switch nesse instante esteja transmitindo um quadro para o computador (porque a linha é full-duplex). Tendo em vista que nenhuma disputa é possível, o protocolo CSMA/CD não é usado, e assim o comprimento máximo do cabo é determinado pela intensidade do sinal, não pelo tempo que uma rajada de sinal

pela transmissão, esse esquema será altamente eficiente e preferível à extensão de portadora.

Com toda franqueza, é difícil imaginar uma organização se envolvendo com as dificuldades de compra e instalação de placas gigabit Ethernet para obter alto desempenho, e depois conectar os computadores a um antigo hub para simular a Ethernet clássica, com todas as suas colisões. As interfaces e os switches da gigabit Ethernet eram muito caros, mas seu preço caiu rapidamente à medida que o volume de vendas aumentou. Ainda assim, a compatibilidade é sagrada na indústria de informática e, então, o comitê é obrigado a aceitá-la. Hoje, a maioria dos computadores vem com uma interface Ethernet capaz de operar a 10, 100 e 1.000 Mbps (e talvez ainda mais), compatível com todas as velocidades.

O outro modo de operação, o half-duplex, é usado quando os computadores estão conectados a um hub, não a um switch. Um hub não armazena os quadros recebidos em buffers. Em vez disso, ele estabelece conexões elétricas internas para todas as linhas, simulando o cabo multiponto usado na Ethernet clássica. Nesse modo, colisões são possíveis e, portanto, é necessário o protocolo CSMA/CD padrão. Tendo em vista que um quadro mínimo de 64 bytes (o mais curto permitido) agora pode ser transmitido 100 vezes mais rápido que na Ethernet clássica, a distância máxima é 100 vezes menor (ou seja, 25 m), a fim de manter a propriedade essencial de que o transmissor ainda transmitirá quando uma rajada de sinal ruidoso voltar a ele, mesmo na pior das hipóteses. Com um cabo de 2.500 m, o transmissor de um quadro de 64 bytes a 1 Gbps terminaria a transmissão bem antes de o quadro ter chegado a percorrer um décimo da distância até a outra extremidade, quanto mais ir até a extremidade e voltar.

Essa restrição de distância foi tão séria que duas características foram acrescentadas ao padrão para aumentar a distância máxima do cabo para 200 m, o que provavelmente é suficiente para a maioria dos escritórios. A primeira característica, chamada **extensão de portadora**, basicamente informa ao hardware para adicionar seu próprio preenchimento ao quadro normal, a fim de estendê-lo para 512 bytes. Considerando que esse preenchimento é adicionado pelo hardware transmissor e removido pelo hardware receptor, o software não tem conhecimento desse fato, o que significa que não é necessário qualquer mudança no software existente. A desvantagem é que o uso de 512 bytes de largura de banda para transmitir 46 bytes de dados do usuário (a carga útil de um quadro de 64 bytes) tem uma eficiência de linha de apenas 9%.

A segunda característica, chamada **rajada de quadros**, permite a um transmissor enviar uma sequência consecutiva de vários quadros em uma única transmissão. Se a rajada total tiver menos de 512 bytes, o hardware a preencherá novamente. Se houver quadros suficientes esperando

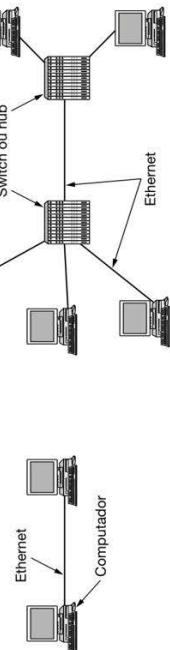


Figura 4.20 (a) Uma Ethernet com duas estações. (b) Uma Ethernet com várias estações.

	Nome	Cabo	Distância máxima do segmento	Vantagens
1000Base-SX	Fibra óptica	550 m	Fibra multimodo (50/62,5 micra)	
1000Base-LX	Fibra óptica	5.000 m	Modo único (10μ) ou multimodo (50/62,5μ)	
1000Base-CX	2 pares de STP	25 m	Par trançado blindado	
1000Base-T	4 pares de UTP	100 m	UTP padrão da Categoria 5	

Figura 4.21 O cabeamento da gigabit Ethernet.

ativivesssem o mesmo número de 0s e 1s) com transições suficientes para a recuperação de clock. O envio dos bits codificados com NRZ requer uma largura de banda de sinalização de 25% a mais do que é necessária para os bits não codificados, uma grande melhoria em relação à expansão de 100% da codificação Manchester.

Contudo, todas essas opções exigiam novos cabos de cobre ou fibra para dar suporte à sinalização mais rápida. Nenhum deles utilizava a grande quantidade de UTP de Categoria 5 que havia sido instalada com a Fast Ethernet. Dentro de um ano, o 1000Base-T surgiu para preencher essa lacuna e tornou-se a forma mais popular de gigabit Ethernet desde então. As pessoas aparentemente não quisiram mudar a fiação de seus prédios.

Contudo, todas essas opções exigiam novos cabos de cobre ou fibra para dar suporte à sinalização mais rápida. Nenhuma delas utilizava a grande quantidade de UTP de Categoria 5 que havia sido instalada com a Fast Ethernet. Dentro de um ano, o 1000Base-T surgiu para preencher essa lacuna, e tem sido a forma mais popular de gigabit Ethernet desde então. As pessoas aparentemente não quisiram mudar a fiação de seus prédios.

### 4.3.7 Ethernet de 10 gigabits

dizer que um quadro chegou, ou a divisão e recombinação de mensagens que eram muito grandes para caber em um quadro Ethernet.

Uma sinalização mais complicada é necessária para fazer a Ethernet funcionar a 1.000 Mbps sobre fios de Categoria 5. Para começar, todos os quatro pares trançados no cabo são usados, e cada um é usado nas duas direções ao mesmo tempo, usando o processamento de sinal digital para separar os sinais. Pelos fios, um a um, cinco níveis de intensidade que transportam 2 bits são usados para transmitir em 125 Msimbolos/s. O mapeamento para produzir os símbolos a partir dos bits não é simples. Ele envolve embaralhamento e transições, seguidas por um código de correção de erros, em que quatro valores são embutidos em cinco níveis de sinal.

Uma velocidade de 1 Gbps é bastante alta. Por exemplo, se um receptor estiver ocupado com alguma outra tarefa, mesmo durante 1 ms, e não esvaziar o buffer de entrada em alguma linha, nesse intervalo poderão se acumular até 1.953 quadros. Além disso, quando um computador em uma rede gigabit Ethernet estiver transmitindo dados pela linha a um computador em uma Ethernet clássica, serão muito prováveis sobreengarrafos no buffer. Como consequência dessas duas observações, a gigabit Ethernet admite controle de fluxo.

O mecanismo consiste na transmissão de um quadro de controle especial de uma extremidade a outra, informando que a extensão receptora deve fazer uma pausa durante algum período predeterminado. Para controle de fluxo, são usados quadros PAUSE, contendo o tipo 0x8808. As pausas são dadas em unidades de tempo mínimo por quadro. Para a gigabit Ethernet, a unidade de tempo é 512 ns, permitindo pausas de até 33,6 ms.

Existe mais uma extensão introduzida com a gigabit Ethernet. **Quadros jumbo** permitem que os quadros tenham mais de 1.500 bytes, normalmente até 9 KB. Essa extensão é patentada. Ela não é reconhecida pelo padrão porque, se for usada, a Ethernet não será mais compatível com versões anteriores, mas, de qualquer forma, a maioria dos vendedores oferece suporte para ela. O raciocínio é que 1.500 bytes representam uma unidade curta nas velocidades de gigabit. Manipulando blocos de informacion maiores, a extensão de quadros pode ser diminuída, com o processamento da gigabit. Manejando blocos de informacion maiores, a extensão associada a ela, como a interrupção do processador para

as físicas que podem trabalhar em velocidades muito maiores. Contudo, a compatibilidade ainda é importante, de modo que as interfaces Ethernet de 10 gigabit autonegotiam para a velocidade mais baixa admitida pelas extremidades da ligação.

Os principais tipos de Ethernet de 10 gigabits são listados na Figura 4.22. A fibra multimodo com comprimento de onda de 0,85 μm (curta) e 1,54 μm (estendida) é usada para longas distâncias. A 10GBase-ER pode percorrer distâncias de 40 km, o que a torna adequada para aplicações remotas. Todas essas versões enviam um fluxo serial de informações, produzido pelo embaralhamento dos bits de dados, depois a codificação com um código **64B/66B**. Essa codificação tem menos overhead do que uma codificação 8B/10B.

A primeira versão de cobre definida, 10GBase-CX4, usa um cabo com quatro pares de fiação de cobre twinaxial. Cada par usa codificação 8B/10B e trabalha a 1,25 Gbps. Gembirds/S para alcançar 10 Gbps. Essa versão é mais barata do que a fibra e chegou cedo ao mercado, mas ainda não sabemos se em longo prazo vencerá a Ethernet de 10 gigabits sobre a fiação de par trançado mais comum.

A 10GBase-T é uma versão que usa cabos UTP. Embora exija a fiação de Categoria 6a, para pequenas distâncias, ela pode usar categorias inferiores (incluindo a Categoria 5) para permitir algum reuso do cabeamento instalado. Não é surpresa que a camada física seja muito complicada para alcançar 10 Gbps sobre par trançado. Só podemos por alto alguns dos detalhes de alto nível. Cada um dos quatro pares

4.3.8 Ethernet de 40 e 100 gigaBITS

Nome	Cabo	Distância máxima do segmento	Vantagens
10GBase-SR	Fibra óptica	Até 300 m	Fibra multimodo (0,85 $\mu$ )
10GBase-LR	Fibra óptica	10 km	Fibra monomodo (1,3 $\mu$ )
10GBase-ER	Fibra óptica	40 km	Fibra monomodo (1,5 $\mu$ )
10GBase-CX4	4 pares de twinax	15 m	Cobre twinaxial
10GBase-T	4 pares de UTP	100 m	UTP padrão da Categoria 6a

**Figura 4.22** O cabeamento da Ethernet de 10 gigabits.

Os novos padrões eliminam o fio de cobre em favor da fibra óptica e placas integradas de alto desempenho (cobre) conectadas em data centers que suportam a computação em nuvem. Podem ser usados meia dúzia de esquemas de modulação, incluindo 64QAM 66Gb/s (como 8B/10B), porém com mais de 10 pistas paralelas a 10 Gbps cada uma, podendo chegar a 100 Gbps. As pistas no normalmente bandas de frequência diferentes em uma fibra óptica. A integração em redes ópticas existentes usa a comendação G.709 da ITU.

Por volta de 2018, um pequeno número de empresas começou a introduzir switches e placas adaptadoras de rede com 100 Gbps. Para quem 100 Gbps não é suficiente, já foi anunciado o padão para até 400 gigabit/s, com escalação para 800 Gbps. Os padrões são 802.3cd, 802.3ck, 802.3cm e 802.3en, se você quiser pesquisá-los. 400 Gbps, um filme 4K típico (compactado) pode ser

**3.9 Retrospectiva da Ethernet**

Ethernet existiu há mais de 40 anos e não tem concorrentes sérios; portanto, é provável que continue no mercado por muitos anos. Poucas arquiteturas de CPUs, sistemas operacionais ou linguagens de programação seriam capazes de se manter na liderança por quatro décadas, continuando com força. Sem dúvida, a Ethernet fez algo

Fonte: Cisco.

### 3.9 Retrospectiva da Ethernet

Ethernet existe há mais de 40 anos e não tem concorrentes sérios; portanto, é provável que continue no mercado ainda por muitos anos. Poucas arquiteturas de CPUs, sistemas operacionais ou linguagens de programação seriam capazes de manter na liderança por quatro décadas, continuando com força. Sem dúvida, a Ethernet fez algo provavelmente a principal razão para sua longevidade ou o fato de que a Ethernet é simples e flexível. Na prática, simples se traduz como confiável, de baixo custo e de fácil manutenção. Depois que a arquitetura de hub e switch foi adotada, as falhas se tornaram extremamente raras. As pessoas sentem em seu subconsciente algo que funciona bem por tanto tempo todo, em especial quando sabem que uma quantidade tremenda de itens da indústria de informática funciona muito mal. Muitas das chamadas "atualizações" são bem maiores que as versões substituídas por elas.

Simplicidade também se traduz em economia. A fa-

ão de par trançado tem custo relativamente baixo, assim como os componentes do hardware. Eles começam caros

CPUs a outro data center com um milhão de CPUs. O sistema pode ditar fisiologicamente o que é feito.

seguido pelo 802.3bj (2014) e 802.3cd (2018). Toda definição Ethernet em 40 Gbps e 100 Gbps. Os objetivos do projeto incluiram:

1. Compatibilidade com padrões 802.3 para 1 gigabit/s.
  2. Permitir que os tamanhos de quadro mínimo e máximo permaneçam os mesmos.
  3. Lidar com taxas de erro de bit de  $10^{-12}$  ou menos.
  4. Funcionar bem em redes ópticas.
  5. Ter taxas de dados de 40 Gbps ou 100 Gbps.
  6. Permitir o uso de fibra monomodo ou multimodo placas integradas especializadas.

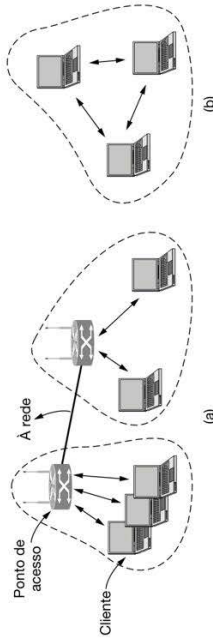


Figura 4.23 Arquitetura 802.11. (a) Modo ad-hoc. (b) Modo de infraestrutura.

quando há uma transição, por exemplo, novas NICs ou switches da gigabit Ethernet, mas são apenas aeronaves que operadoras a oferecer serviços confiáveis e de alta qualidade. As redes com velocidade muito alta, como 10GbE, também estão sendo usadas em placas integradas, conectando componentes em grandes roteadores ou servidores. Esses dois usos são adicionais ao envio de quadros entre computadores em escritórios. O próximo passo é a 40GbE, e esse nem sequer poderá ser o último.

#### 4.4 LANS SEM FIO

As LANs sem fio estão cada vez mais populares e um número crescente de casas, escritórios, lanchonetes, bibliotecas, aeroportos, zoológicos e outros lugares públicos estão sendo equipados com elas, para conectar computadores, notebooks, tablets e smartphones à Internet. As LANs sem fio também podem ser usadas para permitir que dois ou mais computadores vizinhos se comuniquem sem usar a Internet.

O principal padrão de LAN sem fio é o 802.11. Vimos algumas informações básicas sobre ele na Seção 1.5.3. Agora, vamos examinar mais de perto a tecnologia. Nas próximas seções, estudaremos a pilha de protocolos, as técnicas de transmissão de rádio na camada física, o protocolo da subcamada MAC, a estrutura do quadro e os serviços fornecidos. Para obter mais informações sobre o 802.11, consulte Bing (2017) e Davis (2018). Para conhecer os detalhes mais profundos, consulte os próprios padrões publicados pelo IEEE.

##### 4.4.1 802.11: arquitetura e pilha de protocolos

As redes 802.11 podem ser usadas em dois modos. O modo mais popular é conectar clientes, como laptops e smartphones, a outra rede, como uma intranet da empresa ou a Internet. Esse modo aparece na Figura 4.23(a). No modo de infraestrutura, cada cliente está associado a um PA (ponto de acesso), que, por sua vez, está conectado a outra rede. O cliente transmite e recebe seus pacotes por meio do PA. Vários PAs podem ser conectados, normalmente por uma rede com fio chamada sistema de distribuição, para formar uma rede 802.11 estendida. Nesse caso, os clientes podem enviar quadros aos outros clientes por meio de seus PAs.

O outro modo, mostrado na Figura 4.23(b), é uma rede ad-hoc. Trata-se de uma coleção de computadores que estão associados de modo que possam enviar quadros diretamente uns aos outros. Não existe PA. Como o acesso à Internet é a principal aplicação para redes sem fio, as redes ad-hoc não são muito populares.

Agora, vejamos os protocolos. Todos os protocolos 802, incluindo 802.11 e Ethernet, têm certas características

comuns em sua estrutura. Uma visão parcial da pilha de protocolos do 802.11 para suas principais variantes é dada na Figura 4.24. A pilha é a mesma para clientes e PAs. A camada física corresponde muito bem à camada física do modelo OSI, mas a camada de enlace de dados em todos os protocolos 802 se divide em duas ou mais subcamadas. No 802.11, a subcamada MAC determina como o canal é alocado, isto é, quem terá a oportunidade de transmitir a seguir. Acima dela encontra-se a subcamada LLC, cujo trabalho é ocultar as diferenças entre as diversas variações do 802 e torná-las indistinguíveis no que se refere à camada de rede. Essa poderia ter sido uma responsabilidade significativa, mas, atualmente, a LLC é uma camada de códa, que identifica o protocolo (p. ex., IP) que é transportado dentro de um quadro 802.11.

Várias técnicas de transmissão foram acrescentadas à camada física à medida que o 802.11 evoluíu desde o seu aparecimento, em 1997. Duas das técnicas iniciais, infravermelho como nos controles remotos de televisão e salto de frequência na banda de 2,4 GHz, o que significa que os dispositivos mais antigos, que usam apenas a banda de 2,4 GHz, não poderão usá-lo. Os dispositivos móveis mais modernos usam 802.11ac. Mais recentemente, o padrão 802.11ax foi aprovado para ainda mais velocidade.

Agora, vamos examinar cada uma dessas técnicas de transmissão em linhas gerais. Contudo, abordaremos

Subcamada MAC	Camada de enlace lógico	Camada de enlace de dados	Camada superior	Camada física
802.11 (legado) Salto de frequência e infravermelho	802.11a OFDM 802.11b Espectro de dispersão 802.11g MU-MIMO OFDM	802.11n MU-MIMO OFDM	802.11ax MU-MIMO OFDM	802.11x OFDMA

Data de lançamento: 1997-1999 1999 2003 2009 2013 2019

Figura 4.24 Parte da pilha de protocolos do 802.11.

apenas aquelas que estão em uso, pulando os métodos de transmissão 802.11 legados. Tecnicamente, elas pertencem à camada física e deveriam ter sido examinadas no Capítulo 2; porém, como estão estritamente relacionadas às LANs em geral e em particular à LAN 802.11, preferimos tratá-las aqui.

#### 4.4.2 802.11: a camada física

Cada uma das técnicas de transmissão torna possível enviar um quadro MAC de uma estação para outra através do ar. Contudo, elas diferem na tecnologia usada e na velocidade que podem alcançar na prática. Uma descrição detalhada dessas tecnologias está muito além do escopo deste livro, mas algumas palavras sobre cada uma relacionarão as técnicas ao conteúdo abordado no Capítulo 2, fornecendo aos leitores interessados material para pesquisar mais informações em outras fontes.

Todas as técnicas do 802.11 utilizam rádios de curto alcance para transmitir sinais nas bandas de frequência ISM de 2,4 GHz ou 5 GHz. Essas bandas têm a vantagem de não ser licenciadas e, portanto, estar disponíveis gratuitamente a qualquer transmissor que queira cumprir algumas restrições, como a potência irradiada de no máximo 1 W (embora 50 mW seja mais comum para rádios de LAN sem fio). Infelizmente, esse fato também é conhecido pelos fabricantes de aparelhos de abertura automática de garagem, telefones sem fio, fôrmas de microondas e diversos outros dispositivos, todos competindo com os notebooks e smartphones pelo mesmo espaço. A banda de 2,4 GHz costuma ser mais sobreexposta do que a de 5 GHz, de modo que esta pode ser melhor para algumas aplicações, embora tenha um alcance mais curto, em virtude da frequência mais alta. Infelizmente, as ondas de rádio mais curtas a 5 GHz não penetraram em paredes com tanta eficiência quanto as de 2,4 GHz, de modo que 5 GHz não é uma vantagem definitiva.

Todos os métodos de transmissão também definem taxas múltiplas. A ideia é que diferentes taxas podem ser usadas dependendo das condições atuais. Se o sinal sem fio for fraco, uma taxa baixa poderá ser usada. Se o sinal for claro, a taxa mais alta poderá ser usada. Esses ajustes constituem o que chamamos de **adaptação de taxa**. Como as taxas variam por um fator de 10 ou mais, uma boa adaptação de taxa é importante para um bom desempenho. É claro que, pelo fato de ela não ser necessária para a interoperabilidade, os padrões não dizem como a adaptação de taxa deve ser feita.

O primeiro método de transmissão que veremos é o **802.11b**, de espectro de dispersão que admite taxas de 1, 2, 5,5 e 11 Mbps, embora na prática a taxa de operação seja quase sempre 11 Mbps. Isso é semelhante ao sistema CDMA, que examinamos na Seção 2.4.4, exceto que não somente um código de espalhamento compartilhado por todos os usuários. O espalhamento é usado para satisfazer

ao requisito da FCC de que a potência deve ser espalhada pela banda ISM. A sequência de espalhamento usada pelo 802.11b é uma **sequência de Barker**. Ela tem como propriedade uma baixa autocorrelação, exceto quando as sequências estão alinhadas, o que permite que um receptor intercepte o início de uma transmissão. Para transmitir em uma taxa de 1 Mbps, a sequência de Barker é usada com a modulação BPSK para enviar 1 bit por 11 chips. Os chips são transmitidos a uma taxa de 11 Mchips/s. Para enviar a 2 Mbps, ela é usada com a modulação QPSK, para enviar 2 bits por 11 chips. As taxas mais altas são diferentes, pois usam uma técnica conhecida como **chaveamento de código complementar**, ou **CCK (Complementary Code Keying)**, para construir códigos em vez da sequência de Barker. A taxa de 5,5 Mbps envia 4 bits em cada código de 8 chips, e a taxa de 11 Mbps envia 8 bits em cada código de 8 chips.

Em seguida, chegamos ao **802.11a**, que admite taxas de até 54 Mbps na banda ISM de 5 GHz. Você poderia esperar que o 802.11a viesse antes do 802.11b, mas não foi assim. Embora o grupo 802.11a tenha sido estabelecido primeiro, o padrão 802.11b foi aprovado primeiro e seu produto chegou ao mercado bem antes dos produtos 802.11a, parcialmente em virtude da dificuldade de operar na banda mais alta de 5 GHz.

O método 802.11a é baseado na **multiplexação por divisão ortogonal de frequência**, ou **OFDM (Orthogonal Frequency Division Multiplexing)**, depois a OFDM usa o espectro com eficiência e resiste a degradações do sinal sem fio, como o enraquecimento por muitos caminhos. Os bits são enviados por 52 subportadoras em paralelo, 48 transportando diâodos e 4 usadas para sincronização. Cada símbolo dura 4 *us* e envia 1, 2, 4 ou 6 bits. Os bits são codificados para correção de erros, primeiro com um código de convolução binário, de modo que somente 1/2, 2/3 ou 3/4 dos bits não são redundantes. Com diferentes combinações, o 802.11a pode trabalhar em oito taxas, variando de 6 a 54 Mbps. Essas taxas são significativamente mais rápidas do que as taxas 802.11b, e existem menos interferências na banda de 5 GHz. Contudo, o 802.11b tem um alcance que é cerca de sete vezes maior que o do 802.11a, o que em muitas situações é mais importante.

Mesmo com o alcance maior, o pessoal do 802.11b não tinha intenção de permitir que esse início vencesse o campeonato de velocidade. Felizmente, em maio de 2002, a FCC retrou sua regra, existente havia muito tempo, de exigir que todo equipamento de comunicação sem fio operasse nas bandas ISM nos Estados Unidos para usar o espectro de dispersão, de modo que passou a trabalhar no **802.11g**, que foi aprovado pelo IEEE em 2003. Ele copia os métodos de modulação OFDM do 802.11a, mas opera na banda ISM estreita de 2,4 GHz, com o 802.11b. Ele oferece as mesmas taxas do 802.11a (6 a 54 Mbps) mais, é claro, a compatibilidade com quaisquer dispositivos 802.11b que estejam

codificação QAM mais eficiente, juntamente com um novo esquema de modulação, QFDMA. Ele pode (a princípio) operar em partes não licenciadas do espectro de 7 GHz e pode (teoricamente) atingir uma taxa de dados de 11 Gbps. Você pode tentar isso em casa, se quiser, mas a menos que tenha um laboratório de teste perfeitamente projetado, você não obterá 11 Gbps. No entanto, você pode alcançar 1 Gbps.

No 802.11ax OFDMA, um alocaador central reserva unidades de recursos de comprimento fixo para cada uma das estações de transmissão, reduzindo assim a disputa em implantações densas. O 802.11ax também oferece suporte a reutilização do espectro espacial, por meio de uma técnica chamada **coloração**, pela qual um remetente marca o início de sua transmissão de um modo a permitir que outros remetentes determinem se pode haver uso simultâneo do espaço. Em algumas circunstâncias, um remetente pode transmitir simultaneamente se reduzir sua potência de modo apropriado.

Além disso, o 802.11ax usa 1024-QAM, que permite que cada símbolo codifique 10 bits, em oposição aos 8 bits/símbolo no 256-QAM, usado pelo 802.11ac. O padrão também oferece suporte a uma programação mais inteligente, por meio de um recurso chamado **tempo de despertar-avô ou horário de ativação desejado**, que permite que um roteador coloque os dispositivos da casa em programações de transmissão, para minimizar colisões. Esse recurso confiabilidade. MIMO, assim como OFDM, é uma das ideias de comunicação inteligentes que estão mudando os projetos das redes sem fio e das quais, provavelmente, nós não ouviremos falar muito no futuro. Para obter uma breve introdução às antenas múltiplas no 802.11, consulte Halpein et al. (2010).

Em 2013, o IEEE publicou o padrão 802.11ac. Ele usa canais mais largos (80 MHz e 160 MHz), modulação 256-QAM e **MU-MIMO (MultiUser MIMO)**, com até oito fluxos e outros truques para aumentar a taxa de bits até um máximo teórico de 7 Gbps, embora, na prática, isso nunca tenha sido alcançado. Os dispositivos móveis mais modernos geralmente usam 802.11ac.

Outro padrão 802.11 recente é o **802.11ad**, que opera na banda de 60 GHz (57 a 71 GHz), o que significa que as ondas de rádio são muito curtas; somente 5 mm de extensão. Essas ondas não penetram em paredes ou outros objetos, de modo que o padrão só é útil dentro de uma única sala. Entretanto, essa é uma vantagem e também uma desvantagem. Significa que, não importando o que a pessoa no outro escritório ou apartamento esteja fazendo, não interfere com o que você está fazendo. A combinação de alta largura de banda e penetração fraca o torna ideal para o streaming de filmes 4K ou 8K não compactados, de uma estação base em uma sala para dispositivos móveis na sala. Uma melhoria neste padrão, aumentando a largura de banda por um fator de quatro, é o padrão **802.11ay**.

Agora chegamos ao **802.11ax**, às vezes conhecido

como o padrão de rede **sem fio de alta eficiência**. O nome

mais conhecido do consumidor é **WiFi 6** (se você pen-

sou que ficaria com WiFi de 1 a 5, se enganou; os nomes

antigos eram baseados nos números dos padrões IEEE

e WiFi Alliance decidiu chamar essa revisão de WiFi 6

porque é a sexta versão do padrão WiFi). Ele permite uma

nas proximidades. Todas essas diferentes escolhas podem ser confusas para os clientes, de modo que é comum que os produtos ofereçam suporte para 802.11a/b/g em uma única placa de interface de rede.

Não satisfeito em parar aí, o comitê do IEEE conseguiu a trabalhar em uma camada física de alto throughput, chamada **802.11n**. Ela foi ratificada em 2009. Seu objetivo foi um throughput de pelo menos 100 Mbps que todos os overheads da rede sem fio fossem removidos. Isso exigia um aumento de velocidade bruta, com um fator de pelo menos quatro. Para isso acontecer, o comitê dobrou os canais de 20 MHz para 40 MHz e reduziu os overheads de enquadramento, permitindo que um grupo de quadros fosse enviado em conjunto. Todavia, o mais significativo é que o 802.11n usa até quatro antenas para transmitir até quatro fluxos de informação ao mesmo tempo. Os quatro fluxos interferem no receptor, mas eles podem ser separados usando as técnicas de comunicação de **entrada múltipla, saída múltipla**, ou **MIMO (Multiple Input, Multiple Output)**. O uso de múltiplas antenas oferece um grande aumento de velocidade e, além disso, melhora o alcance e a confiabilidade. MIMO, assim como OFDM, é uma das ideias de comunicação inteligentes que estão mudando os projetos das redes sem fio e das quais, provavelmente, nós não ouviremos falar muito no futuro. Para obter uma breve introdução às antenas múltiplas no 802.11, consulte Halpein et al. (2010).

Agora, vamos retornar dos domínios da engenharia elétrica da ciência da computação. O protocolo da subcamada MAC do 802.11 é bastante diferente do protocolo da Ethernet, em razão da complexidade inerente à comunicação sem fio.

Primeiro, os rádios quase sempre são half-duplex, signifi-

cando que eles não podem transmitir e escutar rajadas

de sinais ruinosos ao mesmo tempo em uma única frequen-

cia. O sinal recebido pode facilmente ser um milhão de cta. O sinal fraco do que o sinal transmitido, de modo que

não pode ser detectado ao mesmo tempo. Com a Ethernet,

uma estação só precisa esperar até o ether ficar inativo para

começar a transmitir. Se não receber de volta uma rajada de

signal ruinoso enquanto transmite os primeiros 64 bytes, é

quase certo que o quadro tenha sido entregue corretamente.

No caso das LANs sem fio, esse mecanismo de detecção de colisão não funciona.

Em vez disso, o 802.11 tenta evitar colisões com um protocolo chamado **CSMA com prevenção de colisão**, ou **CSMA/CA (CSMA with Collision Avoidance)**.

Elas é conceitualmente semelhante ao CSMA/CD da Ethernet, com detecção de portadora antes de transmitir e o algoritmo de recuo (backoff) exponencial binário após as colisões. Contudo, uma estação que tem um quadro para transmitir começa com um recuo aleatório (excepto no caso em que ela não tenha usado o canal recentemente e o canal esteja inoperante). Ela não espera por uma colisão, digamos, 15 slots a recuar é escolhido na faixa de 0 a 15, no caso da camada física OFDM. A estação espera até que o canal estaja inoperante, detectando que não existe sinal por um curto período (chamado DIFS, como explicaremos mais adiante), e conta regressivamente os slots inoperantes, interrompendo quando os quadros forem enviados. Ela envia seu quadro quando o contador chega a 0. Se o quadro passar, o destino imediatamente envia uma confirmação curta. A falta de uma confirmação é detetada como indicativo de erro, seja uma colisão, seja outro erro qualquer. Nesse caso, o transmissor dobra o período de recuo e tenta novamente, continuando com o recuo exponencial, como na Ethernet, até que o quadro tenha sido transmitido com sucesso ou o número máximo de retransmissões tenha sido alcançado.

Uma linha do tempo como exemplo aparece na Figura 4.25. A estação A é a primeira a transmitir um quadro. Enquanto A está transmitindo, as estações B e C ficam prontas para enviar. Elas veem que o canal está ocupado e esperam até que elas estejam livres. Pouco depois de A receber uma confirmação, o canal é liberado. Contudo, em vez de enviar um quadro imediatamente e colidir, B e C realizam um recuo. C escolhe um recuo pequeno e, assim, transmite primeiro. B interrompe sua contagem enquanto detecta que C está usando o canal e retorna depois que C tiver recebido uma confirmação. B logo conclui seu recuo e transmite seu quadro. Em comparação com a Ethernet, existem duas diferenças principais. Primeiro, iniciam os recuos cedo a evitar colisões. Essa prevenção vale a pena porque as colisões são dispendiosas, já que o quadro inteiro é transmitido do mesmo que ocorra uma colisão. Em segundo lugar, as

estações B e C só começam a transmitir quando a estação anterior termina de transmitir. Isso significa que a estação A tem mais tempo para enviar seu quadro, já que não precisa esperar que B e C terminem de enviar seus quadros.

Para reduzir ambiguidades sobre qual estação está transmitindo, o 802.11 define a detecção do canal de modo físico e virtual. A detecção física simplesmente verifica o

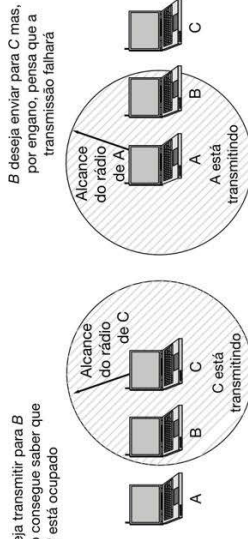


Figura 4.26 (a) O problema do terminal oculto. (b) O problema do terminal exposto.

B deseja enviar para C mas, por engano, pensa que a transmissão falhou  
A deseja transmitir para B mas não consegue saber que B está ocupado  
Alcance do rádio de A  
A está transmitindo  
Alcance do rádio de C  
C está transmitindo  
A está em uso

Um mecanismo RTS/CTS opcional usa o NAV para impedir que os terminais transmitam quadros ao mesmo tempo que os terminais ocultos. Isso aparece na Figura 4.27. Nesse exemplo, A deseja enviar para B. C é uma estação dentro do alcance de A (e possivelmente dentro do alcance de B, mas isso não importa). D é uma estação dentro do alcance de B, mas não dentro do alcance de A. O protocolo começa quando A decide enviar dados para B. A comece a transmitir um quadro RTS para B, pedindo permissão para lhe enviar (Request To Send) um quadro. Se B recebe esse pedido, responde com um quadro CTS, indicando que o canal está disponível para enviar (Clear To Send). Ao receber o CTS, A envia seu quadro e inicia um timer de ACK (confirmação). Ao recebimento correto do quadro de dados, a estação B responde com um quadro ACK, completando a troca. Se o timer de ACK de A expirar antes que o ACK retorne a ela, isso é tratado como uma colisão e o protocolo inteiro é realizado novamente, após um recuo.

Agora, vamos considerar essa troca do ponto de vista

de C e D. Como C está dentro do alcance de A, ela pode receber o quadro RTS. Se receber, essa estação percebe que alguém transmitirá dados em breve. Pela informação fornecida no pedido de RTS, ela pode estimar o tempo que a sequência levará, incluindo o ACK final. Assim, para o

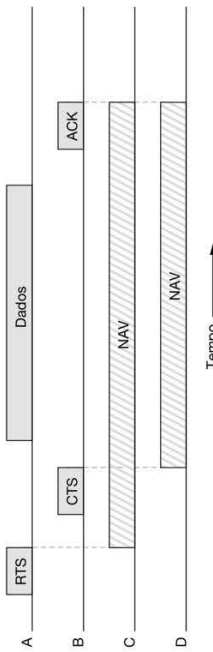


Figura 4.27 O uso da detecção de canal virtual com o CSMA/CA.

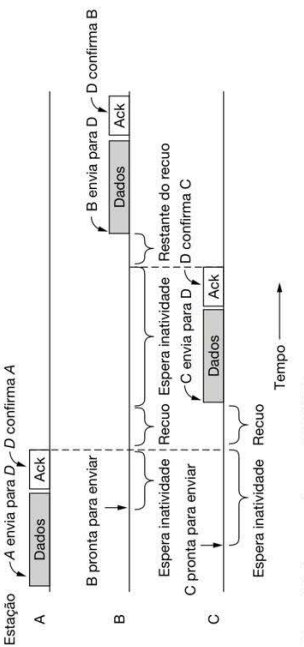


Figura 4.25 Transmitindo um quadro com CSMA/CA.

bem de todos, a estação C desiste de transmitir algo, até que a troca seja concluída. Ela faz isso analizando seu registro do NAV para indicar que o canal está ocupado, como mostra a Figura 4.27. *D* não escuta o RTS, mas escuta o CTS, de modo que também atualiza seu NAV. Observa que os sinais NAV não são transmitidos; elas são apenas lembretes internos para ficar em silêncio por determinado período.

Entretanto, embora RTS/CTS pareça ser uma solução ótima, esse é um dos muitos projetos que provaram ser pouco valiosa na prática. Existem vários motivos pelos quais ele raramente é usado. Ele não ajuda para quadros curtos (que são enviados no lugar do RTS) ou para o PA (que, por definição, todos podem ouvir). Para outras situações, ele só atrai daquele do protocolo MACA, que vimos na Seção 4.2, pois qualquer um que escuta o RTS ou o CTS permanece em silêncio por todo o período, para permitir que o ACK seja enviado sem colisão. Por causa disso, a técnica não ajuda com terminais expostos como o MACA fazia, somente com terminais ocultos. Com frequência, existem poucos terminais ocultos, e o CSMA/CA já os ajuda atrasando as estações que não têm êxito na transmissão, qualquer que seja a causa, para aumentar as chances de êxito das transmissões.

O CSMA/CA, com detecções físicas virtuais é o núcleo do protocolo 802.11. Contudo, existem outros mecanismos que foram desenvolvidos para acompanhá-lo. Como cada um desses mecanismos foi controlado pelas necessidades da operação real, vamos examiná-los rapidamente.

A primeira necessidade que examinaremos é a confiabilidade. Ao contrário das redes fisicamente conectadas, as redes sem fio são ruidosas e pouco confiáveis, em grande parte em virtude da interferência com outros dispositivos, como formos de micro-ondas, que também utilizam as bandasISM não licenciadas. O uso de confirmações e retransmissões não ajuda muito se a probabilidade de transferir um quadro for pequena em primeiro lugar.

Outra estratégia para melhorar as chances de o quadro atravessar a rede sem prejuízo é enviar quadros mais curtos. Se a probabilidade de ocorrer um erro em qualquer bit é  $p$ , então a probabilidade de um quadro de  $n$  bits ser recebido de forma inteiramente correta é  $(1 - p)^n$ . Por exemplo, para  $p = 10^{-4}$ , a probabilidade de receber um quadro Ethernet completo (12.144 bits) sem erros é menor que 30%. A maioria dos quadros será perdida. Mas, se os quadros tiverem apenas um terço desse tamanho (4.048 bits), dois terços deles serão recebidos corretamente. Agora, a maioria dos quadros passará e menos retransmissões serão necessárias.

Quadros mais curtos podem ser implementados reduzindo-se o tamanho máximo da mensagem que é aceita a partir da camada de rede. Como alternativa, o 802.11 permite que os quadros sejam divididos em partes menores, chamadas **fragmentos**, cada uma com seu próprio checksum. O tamanho do fragmento não é fixado pelo padrão, mas é um parâmetro que pode ser ajustado pelo PA. Os fragmentos são numerados individualmente e confirmados com o uso de um protocolo do tipo stop-and-wait (i.e., o transmissor não pode enviar o fragmento  $k + 1$  enquanto não receber a confirmação do fragmento  $k$ ). Depois que um canal é “apoderado”, vários fragmentos podem ser enviados em rajada. Eles seguem um após o outro com uma confirmação (e, possivelmente, retransmissões) no intervalo, até que o quadro inteiro tenha sido transmitido com sucesso ou o tempo de transmissão atinja o máximo permitido. O mecanismo NAV manterá as outras estações inativas apenas até a próxima confirmação, mas outro mecanismo (veja a seguir) usará para permitir que uma rajada de fragmentos seja enviada sem que outras estações enviem um quadro no meio.

A segunda necessidade que discutiremos é economizar energia. A duração da bateria é sempre um problema nos dispositivos móveis sem fio. O padrão 802.11 dedica atenção à questão do gerenciamento de energia, para que os clientes não perdem o tempo quando não têm informações para enviar ou para receber.

O mecanismo básico para economizar energia é chamado em **quadros de baliza (beacon frames)**. As balizas são transmissões periódicas do PA (p. ex., a cada 100 ms). Os quadros de baliza anunciam a presença do PA aos clientes e transportam parâmetros do sistema, como o identificador do PA, a hora, o tempo até a próxima baliza e configurações de segurança.

Os clientes podem definir um bit de gerenciamento de energia nos quadros que eles enviam ao PA, para informar que estão entrando no **modo de economia de energia**. Nele, o cliente pode cochilar o PA, mantê-lo em buffer o tráfego (barrado) voltado para ele. Para verificar o tráfego que chega, o cliente acorda a cada baliza e verifica um mapa de tráfego enviado como parte do quadro de baliza. Esse mapa diz ao cliente se existe tráfego à espera no buffer. Se houver, o cliente envia uma pool message (consulta) ao PA, que em seguida envia o tráfego armazenado. O cliente pode, então, voltar a dormir até que a próxima baliza seja enviada.

Outro mecanismo de economia de energia, chamado **APS-D (Automatic Power Save Delivery)**, também foi apresentado ao 802.11 em 2005. Com esse novo mecanismo, o PA manterá quadros em buffer e os envia para um cliente logo depois de ele enviar quadros ao PA. O cliente pode, então, dormir até que tenha mais tráfego para enviar (e receber). Esse mecanismo funciona bem para aplicações como VoIP, que têm tráfego frequente nos dois sentidos. Por exemplo, um telefone sem fio VoIP poderia usá-lo para enviar e receber quadros a cada 20 ms, com muito mais

freqüência do que o intervalo de baliza de 100 ms, enquanto choca nos intervalos.

A terceira e última necessidade que examinaremos é a qualidade de serviço. Quando o tráfego VoIP, por exemplo, anterior compete com o tráfego peer-to-peer, o VoIP sofrerá. Ele será adiado em virtude da disputa com o tráfego peer-to-peer de alta largura de banda, embora a largura de banda VoIP seja baixa. Esses atrasos provavelmente degradarão as chamadas de voz. Para impedir que isso ocorra, gostariamos de permitir que o tráfego VoIP siga antes do tráfego peer-to-peer, pois tem maior prioridade.

O IEEE 802.11 tem um mecanismo inteligente para fornecer esse tipo de qualidade de serviço que foi apresentado como um conjunto de extensões sob o nome 802.11e em 2005. Ele funciona estendendo o CSMA/CA com intervalos cuidadosamente definidos entre os quadros. Depois que um quadro é enviado, é necessária certa quantidade de tempo de inatividade antes que qualquer estação possa enviar um quadro para verificar se o canal não está mais sendo usado. O truque é definir diferentes intervalos para diferentes tipos de quadros.

Cinco intervalos são representados na Figura 4.28. O intervalo entre quadros de dados regulares é chamado de **espacamento entre quadros DCF**, ou **DIFS (DCF InterFrame Spacing)**. Qualquer estação pode tentar adquirir o canal para enviar um novo quadro até que o meio tenha ficado ocioso por DIFS. As regras habituais de disputa se aplicam e, se ocorrer uma colisão, o algoritmo de backoff (recesso exponencial binário) pode ser necessário. O menor intervalo é o **espacamento curto entre quadros**, ou **SIFS (Short InterFrame Spacing)**, usado para permitir que as partes de um único diálogo tenham a chance de transmitir primeiro. Isso inclui permitir que o receptor envie um ACK, outras sequências de quadro de controle, como RTS e CTS, ou permitir que o transmissor envie uma rajada de fragmentos. O envio do próximo fragmento após esperar SIFS é o que impede que outra estação entre com um quadro no meio da troca.

Os dois intervalos **AIFS (Arbitration InterFrame Space)** mostram exemplos de dois níveis de prioridade.

O intervalo curto, AIFS<sub>1</sub>, é menor que o DIFS, porém maior

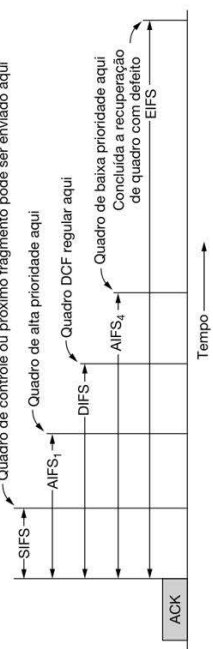
que o SIFS. Ele pode ser usado pelo PA para mover o tráfego de voz e outro tráfego de alta prioridade para o início da fila. O PA esperará por um intervalo mais curto antes de enviar o tráfego de voz e, assim, o fará antes do tráfego normal. O intervalo longo, AIFS<sub>2</sub>, é maior que o DIFS. Ele é usado para o tráfego de segundo plano, que pode ser adiado para depois do tráfego regular. O PA esperará por um intervalo maior antes de enviá-lo, dando ao tráfego regular a oportunidade para transmitir primeiro. O mecanismo completo de qualidade de serviço define quatro níveis de prioridade, que têm diferentes parâmetros de recuo, bem como diferentes parâmetros ociosos.

O último intervalo, o **espacamento estendido entre quadros**, ou **EIFS (Extended InterFrame Spacing)**, só é usado por uma estação que tenha acabado de receber um quadro defetivo ou desconhecido, a fim de informar sobre o problema. A ideia é que, como o receptor talvez não tenha nenhum conhecimento do que está acontecendo, ele deve esperar um tempo significativo para evitar interferir em um diálogo em andamento entre duas estações.

Outra parte das extensões de qualidade de serviço é a noção de uma TXOP, ou **oportunidade de transmissão**.

O mecanismo de CSMA/CA original permite que as estações enviem um quadro de cada vez. Esse projeto foi bom até o aumento das taxas de transmissão. Com o 802.11a/g, uma estação poderia enviar a 6 Mbps e outra estação enviar a 54 Mbps. Cada uma delas passa a enviar um quadro, mas a estação de 6 Mbps leva nove vezes mais tempo (ignorando os overheads fixos) para a estação de 54 Mbps enviar seu quadro. Essa disparidade tem o efeito colateral indesejado de atrasar um transmissor rápido que estaria competindo com um transmissor lento para aproximadamente a taxa do transmissor lento. Por exemplo, notavelmente ignorando overheads fixos, enviando sozinhos, os transmissores de 6 e 54 Mbps receberão em suas próprias taxas, mas, ao enviar juntos, ambos receberão 5,4 Mbps na média. Essa é uma penalidade cruel para o transmissor rápido. Esse problema é conhecido como **anomalia de taxa** (Heusse et al., 2003).

Com oportunidades de transmissão, cada estação recebe uma fatia igual de tempo no ar, não um número igual de



**Figura 4.28** Espaçamento entre quadros no 802.11.

quadros. As estações que enviam a uma taxa mais alta que seu tempo receberão um throughput maior. Em nosso exemplo, ao enviar juntos, os transmissores de 6 Mbps e 4 Mbps agora receberão 3 Mbps e 27 Mbps, respectivamente.

#### 4.4.4 802.11: estrutura do quadro

O padrão 802.11 define três classes de quadros em trânsito: dados, controle e gerenciamento. Cada um deles tem um cabeçalho com diversos campos usados na subcamada MAC. Além disso, existem alguns cabeçalhos usados pela camada física, mas elas lidam principalmente com as técnicas de modulação empregadas e, portanto, não os discutiremos aqui.

Veremos como exemplo o formato do quadro de dados mostrado na Figura 4.29. Primeiro vem o campo *Controle de quadro*, ou LLC Logical Link Control. Essa camada é a tag (cola) que identifica o protocolo de nível mais alto (p., ex., IP) ao qual as cargas úteis devem ser passadas. Por último vem o *Checksum do quadro*, que é o mesmo CRC de 32 bits que vimos na Seção 3.2.2 e em outros lugares.

Os quadros de gerenciamento têm um formato semelhante ao dos quadros de dados, mas um formato definido como 00. Ele existe para permitir que versões futuras indicam se o quadro está indo ou vindo da rede conectada aos PAs, o que é chamado de sistema de *Controle de quadro*, *Duração* e *Checksum do quadro*. Contudo, eles podem ter apenas um endereço e nenhuma parte de dados. A informação mais importante está no campo *Subtipo* (p., ex., ACK, RTS e CTS).

#### 4.4.5 Serviços

O padrão 802.11 define que cada LAN sem fio compatível deve fornecer os serviços para clientes, para PAs e para a rede que o conecta. Eses serviços são agrupados em vários tipos.

O segundo campo do quadro de dados, *Duração*, integra especifica que o corpo do quadro foi criptografado por segurança. Discutiremos rapidamente sobre segurança na próxima seção. Por fim, o bit *Ordem* informa ao receptor que o transmissor está entrando no modo de economia de energia. O bit *Mais dados* indica que o transmissor tem quadros adicionais para o receptor. O bit *Quadro protegido* indica que o corpo do quadro foi criptografado por segurança. Discutiremos rapidamente sobre segurança na próxima seção. Por fim, o bit *Ordem* informa ao receptor que a camada superior espera que a sequência de quadros chegue estritamente em ordem.

O segundo campo do quadro de dados, *Duração*, informa por quanto tempo (em microsegundos) o quadro e sua confirmação ocuparão o canal. Esse campo está presente em todos os tipos de quadros, incluindo os de controle, e representa a forma como outras estações administram o mecanismo NAV.

Em seguida vêm os endereços. Os quadros de dados enviados de e para um PA contêm três endereços, todos em formato padrão IEEE 802. O primeiro é do receptor, e o segundo é do transmissor. É óbvio que eles são necessários, mas para que serve o terceiro endereço? Lembre-se de que o PA é simplesmente um ponto de repasse para os quadros enquanto trafegam entre um cliente e outro ponto na rede. Talvez um cliente distante ou um portal para a Internet. O terceiro endereço indica esse ponto distante.

O campo *Sequência* numera os quadros, para que as duplicatas possam ser detectadas. Dos 16 bits disponíveis, 4 identificam o fragmento e 12 contêm um número que é avançado a cada nova transmissão. O campo *Dados* contém a carga útil de até 2.312 bytes. Os primeiros bytes dessa carga útil estão em um formato conhecido como **controle logico do enlace**, ou LLC Logical Link Control. Essa camada é a tag (cola) que identifica o protocolo de nível mais alto (p., ex., IP) ao qual as cargas úteis devem ser passadas. Por último vem o *Checksum do quadro*, que é o mesmo CRC de 32 bits que vimos na Seção 3.2.2 e em outros lugares.

Os quadros de gerenciamento têm um formato semelhante ao dos quadros de dados, mas um formato definido como 00. Ele existe para permitir que versões futuras indicam se o quadro está indo ou vindo da rede conectada aos PAs, o que é chamado de sistema de *Controle de quadro*, *Duração* e *Checksum do quadro*. Contudo, eles podem ter apenas um endereço e nenhuma parte de dados. A informação mais importante está no campo *Subtipo* (p., ex., ACK, RTS e CTS).

#### 4.4.5 Serviços

O padrão 802.11 define que cada LAN sem fio compatível deve fornecer os serviços para clientes, para PAs e para a rede que o conecta. Eses serviços são agrupados em vários tipos.

##### Associação e entrega de dados

O serviço de associação é usado pelas estações móveis para conectá-las aos PAs. Em geral, ele é usado imediatamente

após uma estação se deslocar dentro do alcance de rádio do PA. Ao chegar, a estação descobre a identidade e os recursos do PA, seja pelos quadros de baliza, seja perguntando diretamente ao PA. Os recursos incluem as taxas de dados admitidas, os arranjos de segurança, os requisitos de economia de energia, o suporte para qualidade de serviço e outros. A mensagem de baliza do PA também inclui um **SSID** (Service Set Identifier), que a maioria das pessoas conhece como o nome da rede. A estação envia um pedido para se associar ao PA, o qual pode aceitá-lo ou rejeitá-lo. Embora as balizas sempre sejam um broadcast, o SSID pode ou não ser um broadcast. Se o SSID não for broadcast, a estação deverá conhecer (ou descobrir), de alguma forma, o nome para associar a esse PA.

A **reassociação** permite mudar seu PA preferido. Esse recurso é útil para estações móveis que se deslocam de um PA para outro na mesma LAN 802.11 estendida, como uma transferência (handoff) na rede celular. Se for usado corretamente, não haverá perda de dados em consequência da transferência. (Contudo, o 802.11, assim como o padrão Ethernet, é apenas um serviço que faz o melhor possível, sem garantias.) A estação móvel ou o PA também pode se **desassociar**, interrompendo assim o relacionamento. Uma estação deve usar esse serviço antes de se desligar ou sair da rede, mas o PA também pode usá-lo antes de se desativar para manutenção. O padrão 802.11w apresentou os quadros de autenticação e desassociação.

Quando os quadros alcançam o PA, o serviço de distribuição determina como roteá-los. Se o destino for local para o PA, os quadros poderão ser enviados diretamente pelo ar. Caso contrário, eles terão de ser encaminhados pela rede fisicamente conectada. O serviço de integração trata de qualquer tradução necessária para um quadro ser enviado fora da LAN 802.11, ou para chegar de volta da rede. O caso comum aqui é conectar a LAN sem fio à Internet.

A transmissão de dados é o objetivo de tudo isso, e assim o 802.11 oferece um serviço de entrega de dados, o qual permite que as estações transmitam e recebam dados usando os protocolos que descrevemos anteriormente no capítulo. Tendo em vista que o 802.11 foi modelado com base no padrão Ethernet e que a transmissão em uma rede Ethernet não oferece a garantia de ser 100% confiável, a transmissão sobre redes 802.11 também não oferece qualquer garantia de confiabilidade. As camadas mais altas devem lidar com a detecção e a correção de erros.

##### Segurança e privacidade

As estações também devem se autenticar antes que possam enviar quadros pelo PA, mas a autenticação é tratada de diferentes maneiras, dependendo da escolha do esquema de segurança. Se a rede 802.11 estiver “aberta”, qualquer um tem permissão para usá-la. Caso contrário, são necessárias credenciais para autenticação.

Bytes	Controle de quadro	Duração	Endereço 1 (recepção)	Endereço 2 (transmissor)	Subtipo	Para DS frag.	Mais DS frag.	Repartir energia	Ger. Mais Protegido Ordem	Dados	Chequear
Bits	2	2	4	1	1	1	1	1	1	1	1

Figura 4.29 Formato do quadro de dados 802.11.

Um método de autenticação comum, chamado **WPA2 (WiFi Protected Access 2)**, implementa a segurança conforme a definição no padrão 802.11i. (O WPA original é um esquema intermediário que implementa um subconjunto do 802.11i. Ficaremos isso e iremos diretamente para o esquema completo.) Com o WPA2, o PA pode falar com um servidor de autenticação, que tem um banco de dados de nomes de usuários e senhas, para determinar se a estação tem permissão para acessar a rede. Como alternativa, pode-se configurar uma chave previamente compartilhada, que é um nome elegante para uma senha de rede. Vários quadros são trocados entre a estação e o PA por meio de desafios e respostas, permitindo que a estação prove que tem as credenciais corretas. Essa troca acontece após a associação.

Outro processo de autenticação comumente usado em redes corporativas é o **802.1X**, que implementa uma abordagem chamada **autenticação baseada em porta**. O 802.1X depende de autenticação centralizada (p., ex., autenticação de dispositivos em um servidor centralizado), o que cria as possibilidades de controle de acesso, contabilidade, cobrança e atribuição mais refinados. A estação que está autenticando às vezes é chamada de suplicante; esse dispositivo se autentica na rede por meio de um autenedor, que se comunica com o servidor de autenticação. O 802.1X conta com uma estrutura de autenticação chamada **EAP (Enhanced Authentication Protocol)**. A estrutura EAP define mais de 50 métodos diferentes para realizar a autenticação, mas os métodos comuns incluem EAP-TLS, EAP-PEAP, que permitem que o cliente se associe usando diversos métodos, incluindo autenticação baseada em senha; e EAP-SIM, em que um telefone novo pode autenticar usando um SIM. O 802.1X tem muitas vantagens no WPA simples, como a capacidade de executar controle de acesso minucioso com base no usuário, mas requer uma infraestrutura de certificado para administrar.

O esquema que foi usado antes do WPA se chamava **WEP (Wired Equivalent Privacy)**. Para esse esquema, a autenticação com uma chave previamente compartilhada acontece antes da associação. Agora, WEP é considerado inseguro e não é mais utilizado. A primeira demonstração prática de que o WEP foi quebrado apareceu quando Adam Stubblefield era um estagiário do verão na AT&T (Stubblefield et al., 2002). Ele foi capaz de codificar e testar um ataque em uma semana, grande parte desse tempo foi gasto para obter permissão da gerência para comprar as placas WiFi necessárias para as experiências. O software para descobrir senhas WEP agora está disponível gratuitamente.

Com o WEP falhando e o WPA desaprovado, a próxima tentativa foi o WPA2. Ele utiliza um serviço de privacidade que gerencia os detalhes da criptografia e da descrição de segurança. Se a rede 802.11 estiver “aberta”, qualquer um tem permissão para usá-la. Caso contrário, são necessárias credenciais para autenticação.

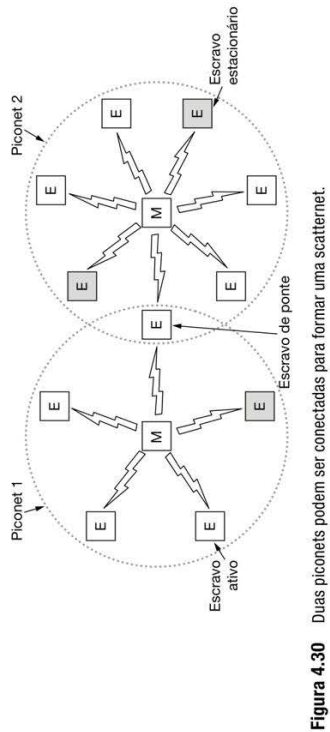
Unidos aprovado em 2002. As chaves usadas para criptografia são determinadas durante o procedimento de autenticação. Infelizmente, o esquema do WPA2 foi quebrado em 2017 (Vanhoef e Piessens, 2017). Uma boa segurança é muito difícil, até mesmo com criptografia inquebrável, pois o gerenciamento da chave é o elo mais fraco.

#### Priorização e controle de energia

Para lidar com o tráfego com diferentes prioridades, existe um serviço de tráfego QoS (o minuscule **escalonado**). Ele usa os protocolos que descrevemos para dar tratamento preferencial ao tráfego de voz e vídeo em comparação com o melhor tráfego possível e o de segundo plano. Um serviço de acompanhamento também oferece sincronização de timer da camada mais alta. Isso permite que as estações coordeneem suas ações, o que pode ser útil para o processamento de mídia.

Finalmente, existem dois serviços que ajudam as estações a gerenciar seu uso do espaço. O serviço de **controle de potência de transmissão** oferece às estações as informações que elas precisam para atender aos limites regulamentares sobre potência de transmissão, que variam de uma região para outra. O serviço de **seleção dinâmica de frequência** dá às estações a informação de que elas precisam para evitar transmitir em frequências na banda de 5 GHz que estão sendo usadas em um radar nas proximidades.

Com esses serviços, o 802.11 oferece um rico conjunto de funcionalidades para conectar à Internet clientes móveis vizinhos. Ele tem sido um grande sucesso, e o padrão repetidamente tem sido alterado para acrescentar mais funcionalidade. Para ter uma ideia de onde o padrão se encontra e para onde está se encaminhando, consulte Hietz et al. (2010).



**Figura 4.30** Duas piconets podem ser conectadas para formar uma scatternet.

#### 4.5.2 Aplicações do Bluetooth

A maioria dos protocolos de rede só fornece canais entre entidades que se comunicam, deixando para os projetistas de aplicações a tarefa de descobrir a sua utilidade. Por exemplo, o 802.11 não especifica se os usuários devem usar seu notebook para ler e-mails, navegar na Web ou qualquer outra ação. Em contrapartida, a especificação Bluetooth SIG determina aplicações em particular para que tenham suporte e ofereçam diferentes pilhas de protocolos para cada um. No momento em que este livro foi escrito, havia mais de duas dúzias de aplicações específicas, chamadas **perfis**. Infelizmente, essa abordagem aumentou muito a complexidade. Omitemos a complexidade aqui, mas vejam os perfis rapidamente, para entender o modo mais claro o que o Bluetooth SIG está tentando realizar.

Seis dos perfis são para diferentes usos de áudio e vídeo. Por exemplo, os perfis de intercomunicação permitem que dois telefones se conectem como walkie-talkies. Os perfis de headset e hands-free oferecem comunicação por voz entre um headset e sua estação-base, pois poderiam ser usados para telefonía hands-free enquanto se dirige um carro. Outros perfis são para streaming de áudio e vídeo com qualidade estéreo, digitais, de um aparelho de música portátil para fones de ouvido, ou de uma câmera digital para uma TV.

O perfil de dispositivo de interface humana é para conectar teclado e mouse aos computadores. Outros perfis permitem que um telefone móvel ou outro computador receba imagens de uma câmera ou envie imagens para uma impressora. Talvez seja mais interessante um perfil para usar um telefone móvel como um controle remoto para uma TV (habilitado para Bluetooth).

Outros perfis ainda permitem que dispositivos Bluetooth formem uma rede ad-hoc ou acessem outra rede remotamente, como uma LAN 802.11, por meio de um PA. O perfil de rede discutida foi realmente a motivação original para o projeto

inteiro. Ele permite que um notebook se conecte a um telefone móvel contendo um modem embutido, sem usar fios, apenas sinal de rádio.

Os perfis para troca de informações da camada mais alta também foram definidos. O perfil de sincronização serve para carregar dados para um telefone móvel quando ele sai de casa e coletá dados dele ao retornar.

Pularmos o restante dos perfis, exceto para mencionar que alguns servem como blocos de montagem sobre os quais os perfis citados são baseados. O perfil de acesso genérico, no qual todos os outros perfis são baseados, oferece um modo de estabelecer e manter enlaces seguros (canais) entre o mestre e os escravos. Os outros perfis genéricos definem os fundamentos da troca de objeto e transporte de áudio e vídeo. Os perfis utilizados são muito usados para funções como emular uma linha serial, o que é especialmente útil para muitas aplicações legadas.

Seria realmente necessário explicar todas essas aplicações em detalhes e fornecer diferentes pilhas de protocolos para cada uma? É provável que não, mas surgiram diversos grupos de trabalho que elaboraram partes distintas do padrão, e cada um se concentrou em seu problema específico, gerando seu próprio perfil. Imagine tudo isso como uma edição de Conway. (Na edição de abril de 1968 da revista *Datamation*, Melvin Conway observou que, se designar  $n$  pessoas para escrever um compilador, você obterá um compilador de  $n$  passageiros ou, de modo mais geral, a estrutura de software reflete a estrutura do grupo que o produziu.) Provavelmente teria sido possível concluir o trabalho com duas pilhas de protocolos em vez de 25, uma para transferência de arquivos e uma para comunicação em tempo real.

O padrão Bluetooth tem muitos protocolos agrupados livremente em camadas, como mostra a Figura 4.31. A primeira observação a fazer é que a estrutura não segue o modelo

#### 4.5 BLUETOOTH

Em 1994, a empresa sueca L. M. Ericsson ficou interessada em conectar seus telefones móveis a outros dispositivos (p. ex., laptops) sem cabos. Em 1998, juntamente com outras quatro empresas (IBM, Intel, Nokia e Toshiba), ela formou um SIG (Special Interest Group, ou seja, um consórcio) com o objetivo de desenvolver um padrão sem fio para interconectar dispositivos de computação e comunicação, além de acessórios, utilizando rádios sem fio de curto alcance, baixa potência e baixo custo. O projeto foi denominado **Bluetooth**, em homenagem a Harold Blatand (Bluetooth) II (940-981), um rei viking que unificou (i.e., conquistou) a Dinamarca e a Noruega, também “sem cabos”.

O Bluetooth 1.0 foi lançado em julho de 1999, desde então, o SIG nunca voltou atrás. Todo tipo de dispositivo eletrônico de consumo agora usa Bluetooth, desde telefones

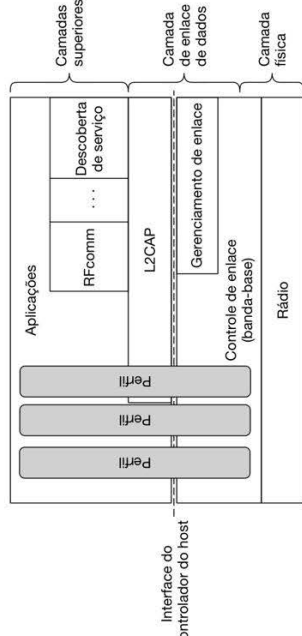


Figura 4.31 Arquitetura de protocolos do Bluetooth.

A camada inferior é a camada física de rádio, que corresponde muito bem à camada física nos modelos OS1 e 802.11. A lida com a transmissão e a modulação de rádio.

Muitas das preocupações aqui estão relacionadas ao objetivo de tornar o sistema mais econômico, para que possa vir a ser um item do mercado de massa. A camada de controle de enlace (ou banda-base) é de certa forma análoga à subcamada MAC, mas também inclui elementos da camada física. Ela lida com a maneira como o mestre controla os slots de tempo e como esses slots estão agrupados em quadros.

Em seguida, temos dois protocolos que usam o protocolo de controle de enlace. O gerenciador de enlaces cuida do estabelecimento de canais lógicos entre dispositivos, incluindo gerenciamento de energia, emparelhamento e criptografia, e qualidade de serviço. Ele se encontra abaixo da linha da interface do controlador do host. Essa interface é uma conveniência para a implementação: normalmente, os protocolos abaixo da linha serão implementados em um chip Bluetooth, e os acima dela serão implementados no dispositivo Bluetooth que hospeda o chip.

O protocolo Rfcomm (comunicação por radiofreqüência) é chamado de enlace acima da linha e o L2CAP (Logical Link Control Adaptation Protocol). Ele encadra mensagens de tamanho variável e oferece confiabilidade, se necessário. Muitos protocolos utilizam L2CAP, como os dois protocolos utilitários mostrados. O protocolo de descoberta de serviço é usado para localizar serviços dentro da rede e simula a porta serial padrão encontrada nos PCs para a conexão de teclado, mouse e modem, entre outros dispositivos.

A camada superior é onde as aplicações estão localizadas. Os perfis são representados por caixas verticais, pois cada uma delas define uma fatia da pilha de protocolos para determinada finalidade. Perfis específicos, como o de headset, normalmente contêm apenas os protocolos necessários

por deslocamento de fase para enviar 2 ou 3 bits por símbolo, para taxas de dados brutais de 2 ou 3 Mbps. As taxas melhoradas são usadas apenas na parte de dados dos quadros.

#### 4.5.5 As camadas de enlace do Bluetooth

A camada de controle de enlace (ou banda-base) é a estrutura mais próxima de uma subcamada MAC que o Bluetooth tem. Ela transforma o fluxo bruto de bits em quadros e define alguns formatos importantes. Em sua forma mais simples, o mestre em cada piconet define uma série de slots de tempo de 625 µs, com as transmissões do mestre começando nos slots pares e as transmissões dos escravos começando nos slots ímpares. Esse esquema é a tradicional multiplexação por divisão de tempo (TDM), em que o mestre fica com metade dos slots e os escravos compartilham a outra metade. Os quadros podem ter 1, 3 ou 5 slots de duração. Cada quadro tem um overhead de 12,6 bits para um código de acesso e cabeçalho, mais um tempo de acomodação de 250-260 µs por slot, para permitir que os circuitos de rádio se estabilizem. Por questão de confidencialidade, a carga útil do quadro pode ser criptografada, com uma chave escolhida quando o mestre e o escravo se conectam. Os saltos só acontecem entre os quadros, e não durante um quadro. O resultado é que um quadro de 5 slots é muito mais eficiente do que um quadro de 1 slot, pois o overhead é constante, porém mais dados são enviados.

O protocolo gerenciador de enlace estabelece canais lógicos, chamados **enlaces**, para transportar quadros entre um dispositivo mestre e um escravo que descobriram um ao outro. Um procedimento de emparelhamento é seguido para garantir que os dois dispositivos tenham permissão para se comunicar antes que o enlace seja usado. O antigo método de emparelhamento determinava que os dois dispositivos fossem configurados com o mesmo número de identificação pessoal ou PIN (Personal Identification Number), de quatro dígitos. O PIN correspondente é o modo como cada dispositivo sabe que está se conectando ao dispositivo remoto correto. Contudo, usuários e dispositivos sem criatividade usam PINs padrão, como "0000" e "1234", significando que, na prática, esse método fornece pouquíssima segurança.

O novo método de **emparelhamento simples seguro** permite que os usuários confirmem se os dois dispositivos estão exibindo a mesma passphrase, ou que a observem em um dispositivo e a insiram no segundo dispositivo. Esse método é mais seguro, pois os usuários não precisam escutar ou definir um PIN. Eles simplesmente confirmam uma passphrase mais longa, gerada pelo dispositivo. Naturalmente, ela não pode ser usada em alguns dispositivos com entrada/saída limitada, como um headset portátil.

Quando o emparelhamento está concluído, o protocolo de gerenciador de enlace estabelece os enlaces. Existem dois tipos principais de enlaces para transportar a carga útil

(dados do usuário). O primeiro é o enlace **síncrono orientado a conexões**, ou **SCO (Synchronous Connection Oriented)**. Ele é usado para dados em tempo real, como conexões de telefone. Esse tipo de enlace aloca um slot fixo em cada sentido. Um escravo pode ter até três enlaces SCO com seu mestre. Cada enlace SCO pode transmitir um canal de áudio PCM de 64.000 bps. Em virtude da natureza crítica no tempo dos enlaces SCO, os quadros enviados por elas nunca são retransmitidos. Em vez disso, para aumentar a confiabilidade, pode-se usar a correção de erros antecipada.

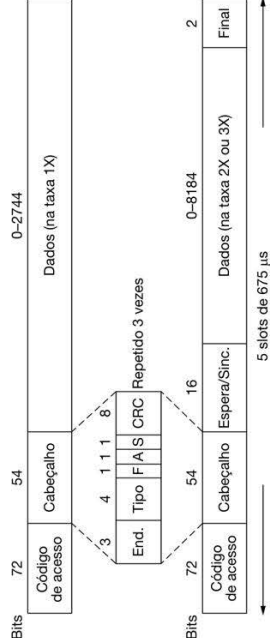
O outro tipo é o enlace **assíncrono não orientado a conexões**, ou **ACL (Asynchronous ConnectionLess)**. Esse tipo de enlace é usado para dados de computação de pacotes, disponíveis em intervalos irregulares. O tráfego ACL é entregue com base no melhor serviço possível, sem garantias. Os quadros podem se perder e precisar ser retransmitidos. Um escravo só pode ter um enlace ACL com seu mestre.

Os dados enviados por enlaces ACL vêm da camada L2CAP, que tem quatro funções principais. Primeiro, ela aceita pacotes de até 64 KB das camadas superiores e os divide em quadros para transmissão. Na extremidade distante, os quadros são montados novamente em pacotes. Em segundo lugar, ela lida com a multiplexação e a demultiplexação de várias origens de pacotes. Quando um pacote é montado novamente, a L2CAP determina a qual protocolo da camada superior ele será entregue, por exemplo, RFcomm ou descoberta de serviço. Terceiro, lida com controle de erros e retransmissão. Ela detecta os erros e retransmite os pacotes que não foram confirmados. Por fim, impõe requisitos de qualidade de serviço entre enlaces múltiplos.

#### 4.5.6 A estrutura de quadro do Bluetooth

Há vários formatos de quadros definidos no Bluetooth, mas o mais importante é apresentado de duas formas na Figura 4.32. Ele começa com um código de acesso que normalmente identifica o mestre, para que os escravos situados dentro do alcance de rádio de dois mestres possam conhecer o destino de cada tráfego. Em seguida, há um cabeçalho de 54 bits contendo campos típicos da subcamada MAC. Se o quadro for enviado na taxa de transferência básica, o campo de dados vem em seguida. Ele tem até 2.744 bits para uma transmissão de cinco slots. Para um único slot de tempo, o formato é o mesmo, exceto pelo fato de o campo de dados ter 240 bits.

Se o quadro for enviado na taxa melhorada, a parte de dados pode ter até duas ou três vezes a quantidade de bits, pois cada símbolo transporta 2 ou 3 bits em vez de 1. Esses dados são precedidos por um campo de espera e um padrão de sincronismo que é usado para mudar para a taxa de dados mais rápida. Ou seja, o código de acesso e o cabeçalho

**Figura 4.32**

Um quadro de dados típico do Bluetooth nas taxas de dados (a) básica e (b) melhorada.

A rede de TV a cabo foi projetada originalmente para levar programas de televisão aos lares. Agora, ela também é muito utilizada como uma alternativa ao sistema telefônico, para levar Internet aos lares. A seguir, descrevemos a “camada MAC” no padrão DOCSIS, implementada pela maioria dos provedores de serviço a cabo.

### 4.6.1 Visão geral

De certa forma, a especificação DOCSIS também possui uma subcamada MAC, embora ela seja um pouco menos distinta da camada de enlace do que em outros protocolos, conforme estudamos em capítulos anteriores. No entanto, o protocolo tem vários aspectos que se enquadram nos objetivos padrão da subcamada MAC, incluindo alocação de canal (que ocorre por meio de um processo de solicitação-concessão), configuração de qualidade de serviço e um modelo de encaminhamento exclusivo. Esta seção trata de todas essas questões. Mais recentemente, o DOCSIS 3.1 full-duplex (agora chamado DOCSIS 4.0) introduziu novas tecnologias para escalonamento e cancelamento de interferência.

O DOCSIS tem um formato de quadro MAC padronizado, que abrange um conjunto de campos, incluindo o campo de endereço, qual dos oito dispositivos ativos é o destino do quadro. O campo *Tipo* identifica o tipo de quadro (ACL, SCO, polling ou nulo), o tipo de correção de erros usado no campo de dados, e o quantos slots é a duração do quadro. O bit *Fuse* é definido por um escrivão quando seu buffer está cheio e não pode receber mais dados. Esse bit habilita uma forma primitiva de controle de fluxo. O bit *Confirmación* é usado para transmitir uma mensagem ACK “de carona” em um quadro. O bit *Sequência* é usado para numerar os quadros, a fim de detectar retransmissões. O protocolo é stop-and-wait e, assim, 1 bit é suficiente. Em seguida, temos o cabeçalho de 8 bits *Checksum*. O campo de 18 bits iniciar é repetido três vezes para formar o cabeçalho de 54 bits mostrado na Figura 4.32. No lado receptor, um circuito simples examina as três cópias de cada bit. Se todas forem iguais, o bit será aceito. Caso contrário, vence a opinião da maioria. Dessa modo, 54 bits de capacidade de transmissão são usados para enviar 10 bits de cabeçalho. A razão para isso é que, para transmitir dados de maneira confiável em um ambiente ruído usando dispositivos de baixo custo e de baixa potência (2,5 mW), com pouca capacidade de computação, é necessária uma grande redundância.

São usados vários formatos para o campo de dados de quadros ACL e SCO. Entretanto, os quadros SCO na taxa básica são mais simples: o campo de dados tem sempre 240 bits. São definidas três variantes, permitindo 80, 160 ou 240 bits de carga útil real, sendo os bits restantes usados para a correção de erros. Na versão mais confiável (carga útil de 80 bits), o conteúdo é simplesmente repetido três vezes, da mesma forma que o cabeçalho.

Podemos calcular a capacidade com esse quadro da seguinte forma: tendo em vista que o escravo só pode usar

1. Suporte para dispositivos da IoT (Internet das Coisas).
2. A velocidade foi aumentada de 1 Mbps para 2 Mbps.
3. O tamanho da mensagem subiu de 31 bytes para 255 bytes.
4. O alcance interno passou de 10 m para 40 m.
5. Os requisitos de potência foram ligeiramente reduzidos.
6. O intervalo das batidas aumentou ligeiramente.
7. A segurança é ligeiramente melhor.

No todo, não houve muita mudança, mas, dada a necessidade de compatibilidade, não era de se esperar que houvesse. O padrão Bluetooth 5.1 teve algumas pequenas atualizações nas áreas de rastreamento de dispositivo, cating e alguns outros itens secundários.

## 4.6 DOCSIS

### 4.6.3 Alocação de largura de banda do canal

Um CMDSIS reserva largura de banda para cada modem a cabo por meio de um processo de solicitação-concessão. Cada fluxo de tráfego upstream ou downstream normalmente recebe um fluxo de serviço, e cada fluxo de serviço tem sua largura de banda alocada pelo CMDSIS.

### Fluxos de serviço

Em geral, a alocação de canais no DOCSIS envolve a alocação de canais entre um CMDSIS e um ou mais modems a cabo, que estão localizados nas casas dos assinantes. O CMDSIS deve atender a todos os canais upstream e downstream e descarregar qualquer quadro com um endereço MAC de origem que não seja um dos modems a cabo atribuídos ao grupo. De grande importância para a camada MAC do CMDSIS é a noção de um **fluxo de serviço**, que fornece uma maneira de gerenciar a qualidade do serviço tanto upstream quanto downstream. Cada modem a cabo tem um ID de fluxo de serviço associado, que é negociado durante o registro do modem a cabo; cada modem a cabo pode ter vários fluxos de serviços associados. Diferentes fluxos de serviço podem ter diferentes limitações associadas a diferentes tipos de tráfego. Por exemplo, cada fluxo de serviço pode ter um tamanho máximo de pacote, ou, então, um fluxo de serviço pode ser dedicado a um determinado tipo de aplicativo, como um aplicativo de taxa de bits constante. Todos os modems a cabo devem suportar pelo menos um fluxo de serviço upstream e um downstream, chamado de fluxo de serviço primário.

O processo de solicitação-concessão e o DOCSIS de baixa latência

Quando um modem a cabo tem dados para enviar, ele faz uma solicitação curta que informa ao CMDSIS quantos dados ele deve enviar e aguarda uma mensagem de alocação de largura de banda subsequente, que descreve as oportunidades de transmissão upstream que um transmissor pode ter para transmitir dados.

A transmissão upstream é dividida em intervalos discretos por um mecanismo de alocação de largura de banda upstream chamado **minislot**. Um minislot é simplesmente uma unidade de granularidade de tempo para transmissão upstream, normalmente em incrementos de 0,25 µs. Dependendo da versão do DOCSIS, um minislot pode precisar ser um múltiplo de potência de dois desse incremento, nas versões mais modernas, essa restrição não se aplica. Ajustando os minislots que são concedidos a um fluxo de serviço específico, o CMDSIS pode implementar com eficácia a qualidade de serviço e a priorização para diferentes fluxos de tráfego.

### 4.6.2 Alcance

Um modem a cabo transmite o que é chamado de solicitação de variação, que permite ao CMDSIS (headend) determinar o atraso da rede até o modem a cabo, bem como realizar a concatenação de quadros. Um tipo específico de quadro é chamado de quadro de solicitação, que é a forma como o modem a cabo solicita a largura de banda, conforme descrito mais adiante nesta seção.

### 4.5.7 Bluetooth 5

Em junho de 2016, o Bluetooth Special Interest Group introduziu o Bluetooth 5. Em janeiro de 2019, apareceu o Bluetooth 5.1. Estas foram atualizações relativamente pequenas ao padrão Bluetooth 4. Apesar disso, existem algumas diferenças entre o Bluetooth 4 e ambos os padrões Bluetooth 5. Aqui está uma lista das principais diferenças no Bluetooth 5.0:

1. Suporte para dispositivos da IoT (Internet das Coisas).
2. A velocidade foi aumentada de 1 Mbps para 2 Mbps.
3. O tamanho da mensagem subiu de 31 bytes para 255 bytes.
4. O alcance interno passou de 10 m para 40 m.
5. Os requisitos de potência foram ligeiramente reduzidos.
6. O intervalo das batidas aumentou ligeiramente.
7. A segurança é ligeiramente melhor.

De modo geral, a qualidade do serviço permitiu ao CMTS alocar mais largura de banda para diferentes modems a cabo (permittendo assim que um assinante que é provisoriamente para um nível de serviço superior alcance um nível de serviço superior). Mais recentemente, no entanto, as revisões do DOCSIS também permitem um serviço diferenciado para aplicações sensíveis à latência. Especificamente, uma nova revisão do protocolo DOCSIS permite baixa latência, por meio de uma nova especificação chamada **LLD (Low-Latency DOCSIS)**. O LLD reconhece que, para muitas aplicações interativas, como jogos e videoconferência, a baixa latência é tão importante quanto o alto throughput. Em alguns casos, em redes DOCSIS existentes, a latência para alguns fluxos pode ser bastante alta, devido ao tempo de aquisição da mídia compartilhada e ao tempo de enfileiramento.

O LLD trata desses problemas reduzindo o atraso de ida e volta associado ao processo de concessão de solicitação usando duas filas – uma para tráfego de aplicações sensíveis à latência e outra para tráfego que não é sensível à latência. O menor atraso de solicitação-concessão reduz a quantidade de tempo que o CMDS usa para realizar cálculos de agendamento, dos 2–4 milissegundos anteriores para 1 milissegundo. O LLD também usa mecanismos para estabelecer concessões prioritárias separadas por distâncias de interação, por isso as bridges são necessárias. Nesse exemplo, a existência de diversas LANs deve-se à autonomia de seus proprietários.

Segundo, a organização pode estar geograficamente dispersa em vários edifícios separados por distâncias consideráveis. Talvez seja mais econômico ter LANs separadas em cada edifício e conectá-las com bridges e enlaces de fibra óptica por longa distância que estender todos os cabos até um único switch central. Mesmo que estender os cabos fosse fácil de fazer, existem limites para seu tamanho (p. ex., 200 m para a gigabit Ethernet com par trançado).

## 4.7 COMUTAÇÃO NA CAMADA DE ENLACE DE DADOS

Muitas empresas têm diversas LANs e desejam conectar-las. Não seria conveniente se pudéssemos apenas juntar as LANs para criar uma LAN maior? De fato, podemos fazer isso quando as conexões são feitas com dispositivos chamados **bridges**. Os switches Ethernet que descrevemos na Seção 4.3.4 são um nome moderno para as bridges; eles oferecem funcionalidade que vai além da Ethernet clássica e de hubs Ethernet, facilitando a junção de várias LANs em uma rede maior e mais rápida. Usaremos os termos “bridge” e “switch” para indicar a mesma coisa.

As bridges operam na camada de enlace de dados, de modo que examinam os endereços nessa camada para encaminhar quadros. Tendo em vista que elas não têm de examinar o campo de endereço de destino dos quadros que encaminham, as bridges podem tratar dos pacotes IP ou de quaisquer outros tipos de pacotes, como os pacotes AppleTalk. Em contrapartida, os roteadores examinam os endereços em um hub

e efetuam o roteamento com base neles, de modo que só trabalham com os protocolos para os quais foram projetados para lidar.

Nesta seção, examinaremos como as bridges funcionam e como são usadas para juntar várias LANs físicas em uma única LAN lógica. Também veremos como realizar o inverso e tratar uma LAN física como múltiplas LANs lokais, chamadas LANs virtuais. As duas tecnologias oferecem flexibilidade útil para o gerenciamento de redes. Para ver um estudo abrangente sobre bridges, switches e topônicos relacionados, consulte Perlman (2000) e Yu (2011).

### 4.7.1 Uso de bridges

Antes de iniciarmos o estudo da tecnologia de bridges, vale a pena examinar algumas situações comuns em que elas são usadas. Mencionaremos três razões pelas quais uma única organização pode ter várias LANs.

Primeiro, muitas universidades e departamentos de empresas têm suas próprias LANs, principalmente para conectar seus computadores pessoais, servidores e dispositivos como impressoras. Como os objetivos dos diversos departamentos são diferentes, muitos deles escolhem LANs distintas, sem se importar com o que outros setores estão fazendo. Mais cedo ou mais tarde, surge a necessidade de interação, por isso as bridges são necessárias. Nesse exemplo, a existência de diversas LANs deve-se à autonomia de seus proprietários.

Segundo, a organização pode estar geograficamente dispersa em vários edifícios separados por distâncias consideráveis. Talvez seja mais econômico ter LANs separadas em cada edifício e conectá-las com bridges e enlaces de fibra óptica por longa distância que estender todos os cabos até um único switch central. Mesmo que estender os cabos fosse fácil de fazer, existem limites para seu tamanho (p. ex., 200 m para a gigabit Ethernet com par trançado). A rede não funcionaria para cabos maiores em virtude de atenuação excessiva do sinal ou pelo atraso de ida e volta. A única solução é partir de uma LAN e instalar bridges para juntar as partes, aumentando a distância física total que pode ser coberta.

Terceiro, talvez seja necessário dividir aquilo que logicamente é uma única LAN em LANs separadas (conectadas por bridges), a fim de acomodar a carga. Por exemplo, em muitas universidades grandes, há milhares de estações de trabalho disponíveis para as necessidades de computação dos funcionários e dos alunos. As empresas também podem ter milhares de funcionários. A escala desse sistema impede que se coloquem todas as estações de trabalho em uma única LAN – existem mais computadores do que portas em qualquer hub Ethernet, e mais estações do que é permitido em uma única Ethernet clássica.

Mesmo que fosse possível conectar todas as estações de trabalho com fios, colocar mais estações em um hub

Ethernet ou na Ethernet clássica não aumentaria a capacidade. Todas as estações compartilharam a mesma quantidade fixa de largura de banda. Quanto mais estações houver, menor a largura de banda média por estação.

Entretanto, duas LANs separadas têm o dobro da capacidade de uma única LAN. As bridges permitem que as LANs sejam reunidas enquanto mantêm essa capacidade. O importante é não enviar tráfego para portas onde ele não seja necessário, para que cada LAN possa trabalhar em velocidade plena. Esse comportamento também aumenta a confiabilidade, pois, em uma única LAN, um nó com defeito que continua enviando um fluxo contínuo de lixo pode travar a LAN inteira. Decidindo o que encaminhar e o que não encaminhar, as bridges atuam como portas de incêndio em um prédio, impedindo que um único nó descontrolado travre o sistema inteiro.

Para tornar esses benefícios facilmente disponíveis, o ideal é que as bridges sejam completamente transparentes. Deverá ser possível sair e comprar bridges, conectar os cabos da LAN nas bridges e tudo funcionar perfeitamente, instantaneamente. Não deve ser preciso fazer mudanças de hardware ou de software, nem configuração de endereço de switches, nem baixar tabelas de roteamento ou de parâmetros, nada mesmo. Basta conectar os cabos e sair. Além disso, a operação das LANs existentes não deverá ser afetada de forma alguma pelas bridges. Em relação às estações, não deverá haver diferença observável por estarem ou não fazendo parte de uma LAN com bridge. Deverá ser tão fácil mover estações pela LAN com bridge quanto em uma LAN isolada.

É surpreendente como realmente é possível criar bridges transparentes. Dois algoritmos são utilizados: um de aprendizado reverso, para evitar que o tráfego seja enviado para onde não é necessário, e um spanning tree, para interromper loops que possam ser formados quando os switches são conectados de forma incorreta. Agora, vejamos esses algoritmos, um por vez, para aprender como essa magia é realizada.

Portanto, as estações conectadas a uma LAN via bridge podem transmitir quadros para outras portas da LAN. As bridges foram desenvolvidas quando as Ethernets clássicas estavam sendo usadas, de modo que normalmente aparecem em topologias com cabos multidrop, como na Figura 4.33(a). Todavia, todas as topologias encontradas hoje são compostas de cabos e switches ponto a ponto. As bridges funcionam da mesma maneira nas duas configurações.

Todas as estações conectadas à mesma porta em uma bridge pertencem ao mesmo domínio de colisão, e este é diferente do domínio de colisão para outras portas. Se houver mais de uma estação, como em uma Ethernet clássica, um hub ou um enlace half-duplex, o protocolo CSMA/CD é usado para transmitir quadros.

Contudo, há uma diferença no modo como são montadas as LANs conectadas com bridges. Para unir LANs multidrop, uma bridge é acrescentada como uma nova estação em cada uma das LANs multidrop, como na Figura 4.33(a). Para unir LANs ponto a ponto, os hubs são conectados a uma bridge ou, de preferência, substituídos por uma bridge, para aumentar o desempenho. Na Figura 4.33(b), as bridges substituiram todos menos um hub.

Diferentes tipos de cabos também podem ser conectados a uma bridge. Por exemplo, o cabo que conecta a bridge *B1* à *B2* na Figura 4.33(b) poderia ser um enlace de fibra óptica para onde não é necessário, e um spanning tree, para interromper loops que possam ser formados quando os switches são conectados de forma incorreta. Agora, vejamos esses algoritmos, um por vez, para aprender como essa magia é realizada.

### 4.7.2 Learning bridges

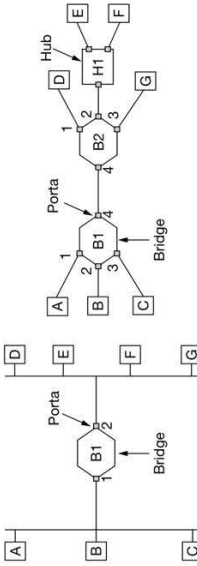
A topologia de duas LANs unidas por bridge aparece na Figura 4.33 para dois casos. No lado esquerdo, duas LANs multidrop, como as Ethernets clássicas, são unidas por uma estação especial – a bridge – que fica nas duas LANs. No lado direito, as LANs com cabos ponto a ponto, incluindo um hub, são reunidas. As bridges são os dispositivos aos quais as estações e o hub são conectados. Se a tecnologia de LAN é Ethernet, as bridges são mais bem conhecidas como switches Ethernet.

As bridges foram desenvolvidas quando as Ethernets clássicas estavam sendo usadas, de modo que normalmente aparecem em topologias com cabos multidrop, como na Figura 4.33(a). Todavia, todas as topologias encontradas hoje são compostas de cabos e switches ponto a ponto. As bridges funcionam da mesma maneira nas duas configurações.

Contudo, há uma diferença no modo como são montadas as LANs conectadas com bridges.

Para unir LANs multidrop, uma bridge é acrescentada como uma nova estação em cada uma das LANs multidrop, como na Figura 4.33(a).

Para unir LANs ponto a ponto, os hubs são conectados a uma bridge ou, de preferência, substituídos por uma bridge, para aumentar o desempenho. Na Figura 4.33(b), as bridges substituiram todos menos um hub.



(b)

Figura 4.33

(a) Bridge conectando duas LANs multidrop. (b) Bridges (e um hub) conectando sete estações ponto a ponto.

seja, aceita cada quadro transmitido pelas estações conectadas a cada uma das portas. A bridge precisa decidir se encaminhará ou descartará cada quadro e, no primeiro caso, a que porta o enviaria. Essa decisão é tomada usando o endereço de destino. Como exemplo, considere a topologia da Figura 4.33(a). Se a estação A enviar um quadro à estação B, a bridge B1 receberá o quadro na porta 1. Esse quadro pode ser descartado imediatamente, sem mais ceticismos, pois já está na porta correta. Contudo, na topologia da Figura 4.33(b), suponha que A envie um quadro para D. A bridge B1 receberá o quadro na porta 1 e o enviará para porta 4, a bridge B2 receberá, então, o quadro em sua porta 4 e o enviará pela sua porta 1.

Um modo simples de implementar esse esquema é ter uma grande tabelas (hash) dentro da bridge. Ela pode listar cada destino possível e a que porta de saída ele pertence. Por exemplo, na Figura 4.33(b), a tabela em B1 listaria D como pertencente à porta 4, pois tudo o que B1 precisa saber é em que porta colocar os quadros para alcançar D. Ou seja, na verdade, haverá outros encaminhamentos, caso o quadro que alcança B2 não seja de interesse para B1.

Quando as bridges são conectadas pela primeira vez, todas as tabelas de hash estão vazias. Nenhuma das bridges sabe onde estão os destinatários e, por isso, elas usam o algoritmo de inundação: cada quadro de entrada para um destino desconhecido é enviado para todas as portas, às quais a bridge está conectada, com exceção da porta de onde o quadro chegou. Com o passar do tempo, as bridges aprendem onde estão os destinatários. A partir do momento em que um destinatário se torna conhecido, os quadros destinados a ele são colocados somente na porta apropriada e não são mais inundados para as demais.

O algoritmo usado pelas bridges é o de **aprendizado reverso**. Como já dissemos, as bridges operam em modo promiscuo, portanto, elas veem todo quadro enviado em qualquer uma de suas portas. Examinando o endereço de origem, elas podem descobrir que máquina está acessível em qualquer porta. Por exemplo, se a bridge B1 da Figura 4.33(b) vir um quadro na porta 3 vindoo de C, ela saberá que C pode ser alcançada através da porta 3, assim, ela cria uma entrada em sua tabela hash. Qualquer quadro subsequente encaminhado a C que chegue na B1 ou em qualquer outra porta será encaminhado para a porta 3.

A topologia pode ser alterada à medida que máquinas e bridges são ativadas, desativadas e deslocadas. Para tratar de topologias dinâmicas, sempre que é criada uma entrada na tabela hash o tempo de chegada do quadro é indicado na entrada. Sempre que chega um quadro cuja origem já está na tabela, sua entrada é atualizada com a hora atual. Desse modo, o tempo associado a cada entrada informa a última vez que foi visto um quadro proveniente dessa máquina. Periodicamente, um processo na bridge varre a tabela hash e elimina todas as entradas que tenham mais de alguns minutos. Dessa forma, se um computador for desconectado

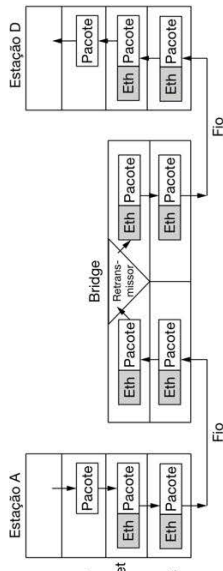


Figura 4.34 Processamento de protocolos em uma bridge.

1. Se a porta para o endereço de destino e a porta de origem forem uma só, o quadro será descartado.

2. Se a porta para o endereço de destino e a porta de origem forem diferentes, o quadro será encaminhado para a porta de destino.

3. Se a porta de destino for desconhecida, o quadro será inundado e enviado para todas as portas, com exceção da porta de origem.

Você pode estar questionando se o primeiro caso pode ocorrer com enlaces ponto a ponto. A resposta é que ele pode ocorrer se forem usados hubs para conectar um grupo de computadores a uma bridge. Um exemplo aparece na Figura 4.33(b), em que as estações E e F estão conectadas ao hub H1, que por sua vez está conectado à bridge B2. Se E envia um quadro para F, o hub o repassará para B2, bem como para F. É isso que os hubs fazem – conectam todas as portas de modo que um quadro que chega a uma porta é simplesmente enviado para todas as outras portas. O quadro chegará a B2 na porta 2, que já é a porta de saída certa para alcançar o destino. A bridge B2 só precisa descartar o quadro.

À medida que cada quadro chegar, esse algoritmo será aplicado, de modo que ele normalmente é implementado com chips VLSI de uso especial. Os chips pesquisam e atualizam a entrada na tabela, em alguns microsegundos. Como as bridges se examinam os endereços MAC, para decidir como encaminhar os quadros, é possível começar a encaminhar assim que o campo do cabeçalho de destino chegado, antes que o restante do quadro tenha chegado (é claro, desde que a linha de saída esteja disponível). Esse projeto reduz a latência da passagem pela bridge, bem como o número de quadros que a bridge terá de manter em buffer. Ele é conhecido como **comutação cut-through** ou **roteamento wormhole**, e normalmente é tratado no hardware.

Podemos ver a operação de uma bridge em termos de pilhas de protocolo para entender o que significa ser um dispositivo da camada de enlace. Considere um quadro enviado da estação A para a estação D na configuração da Figura 4.33(d), em que as LANs são Ethernet. O quadro passará por uma bridge. A visão de processamento da pilha de protocolos aparece na Figura 4.34.

O pacote vem de uma camada mais alta e desce até a camada Ethernet MAC. Ele adquire um cabeçalho Ethernet (e também um final, não mostrado na figura). Essa unidade é passada para a camada Física, sai pelo cabo e é espanhada pela bridge.

Na bridge, o quadro é passado da camada física para a camada Ethernet MAC. Essa camada estende o processamento em comparação com a camada Ethernet MAC em uma estação. Ela passa o quadro para um retransmissor, ainda dentro da camada MAC. O serviço de retransmissão da bridge usa apenas o cabeçalho Ethernet MAC para determinar como lidar com o quadro. Nesse caso, ela passa o quadro para a camada Ethernet MAC da porta usada para atingir a estação D, e o quadro continua seu caminho. No caso geral, os retransmissores em determinada camada podem reservar os cabeçalhos dessa camada. As LANs virtuais oferecerão um exemplo em breve. A bridge deve examinar o interior do quadro e descobrir que ele está transportando um pacote IP; isso é irrelevante para o processamento interno da bridge e violaria o uso do modelo em camadas do protocolo. Observe também que uma bridge com  $k$  portas terá  $k$  ocorrências de camadas MAC e física. O valor de  $k < 2$  para nosso exemplo simples.

Para aumentar a confiabilidade, os enlaces redundantes podem ser usados entre as bridges. No exemplo da Figura 4.35, existem dois enlaces em paralelo entre um par de bridges. Esse projeto garante que, se um enlace for interrompido, a rede não será dividida em dois conjuntos de computadores que não podem conversar entre si. Entretanto, essa redundância também introduz alguns problemas adicionais, porque cria loops na topologia. Podemos ver um exemplo simples desses problemas observando como um quadro enviado por A para um destino previamente não observado é tratado na Figura 4.35. Cada bridge segue as regras normais para tratamento de destinos desconhecidos, que é inundar o quadro. Vamos chamar o quadro de A que alcança a bridge B1 de quadro  $F_0$ . A bridge envia cópias desse quadro para todas as suas outras portas.

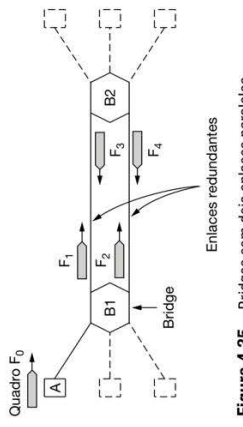
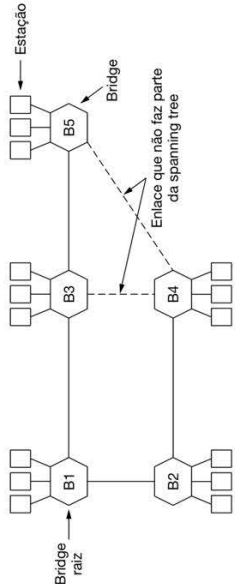


Figura 4.35 Bridges com dois enlaces paralelos.



**Figura 4.36** Uma spanning tree conectando cinco bridges. As linhas pontilhadas não fazem parte da spanning tree.

são as arestas. O grafo pode ser reduzido a uma spanning tree que, por definição, não contém ciclos, eliminando os enlaces mostrados como linhas tracejadas na Figura 4.36. Com a utilização da spanning tree, existe exatamente um caminho de cada estação para qualquer outra estação. Uma vez que as bridges entram em acordo em relação à spanning tree, tudo o que é encaminhado entre as estações se torna um spanning tree. Como existe um único caminho de cada origem até cada destino, é impossível haver loops.

Para construir a spanning tree, as bridges executam periodicamente broadcast uma mensagem de configuração para todas as suas portas aos seus vizinhos e processa as mensagens que recebe de outras bridges, conforme descrevemos a seguir. Essas mensagens não são encaminhadas, pois seu propósito é construir a árvore, que pode, então, ser usada para o encaminhamento.

Primeiro as bridges precisam escolher, entre elas, a que será usada como raiz. Para fazer essa escolha, cada uma delas inclui um identificador com base no endereço MAC na mensagem de configuração, bem como o identificador da bridge que se acredita ser a raiz. Os endereços MAC são intitulados pelo fabricante com a garantia de ser exclusivos em todo o mundo, o que torna esses identificadores convenientes e exclusivos. As bridges escolhem aquela com o menor identificador para ser a raiz. Depois que mensagens suficientes tiverem sido trocadas para espalhar a notícia, todas as bridges chegarão a um acordo sobre qual delas é a raiz. Na Figura 4.36, a bridge  $B_1$  tem o menor identificador e se torna a raiz.

Em seguida, é construída uma árvore de caminhos mais curtos a partir da raiz até cada bridge. Na Figura 4.36, as bridges  $B_2$  e  $B_3$  podem ser alcançadas diretamente a partir da  $B_1$ , em um salto que é o caminho mais curto. A  $B_4$  pode ser alcançada em dois saltos, por meio de  $B_2$  ou  $B_3$ . Para desempatar, é escolhido o caminho por meio da bridge com o menor identificador, de modo que  $B_4$  é alcançada por meio de  $B_2$ . A  $B_5$  pode ser alcançada em dois saltos por meio de  $B_3$ .

Para encontrar esses caminhos mais curtos, as bridges incluem a distância a partir da raiz em suas mensagens de configuração. Cada uma delas se lembra do caminho mais

spanning tree após uma mudança de topologia. Para ver um estudo mais detalhado sobre as bridges, consulte Perlman (2000).

#### 4.7.4 Repetidores, hubs, switches, roteadores e gateways

Até agora neste livro, examinamos diversas maneiras de transferir quadros e pacotes de um computador para outro. Mencionamos repetidores, hubs, bridges, switches, roteadores e gateways. Todos esses dispositivos são de uso comum, mas diferem entre si em detalhes sutis e não muito sutis. Por existir uma grande quantidade desses dispositivos, provavelmente vale a pena examiná-los em conjunto para ver suas semelhanças e as diferenças entre elas.

A chave para entender-las é observar que elas operam em camadas diferentes, como ilustra a Figura 4.37(a). A camada é importante, porque diferentes dispositivos utilizam fragmentos de informações diferentes para decidir como realizar a comunicação. Em um cenário típico, o usuário gera alguns dados a serem enviados para uma máquina remota. Esses dados são repassados à camada de transporte, que então acrescenta um cabeçalho (p. ex., um cabeçalho TCP) e repassa o pacote resultante à camada de rede situada abaixo dela. Essa camada adiciona seu próprio cabeçalho para formar um pacote da camada de rede (p. ex., um pacote IP). Na Figura 4.37(b), vemos o pacote IP sombreado na cor cinza. Em seguida, o pacote vai para a camada de enlace de dados, que adiciona seu próprio cabeçalho e seu checksum (CRC) e entrega o quadro resultante à camada física para transmissão, digamos, por uma LAN.

As bridges oferecem desempenho muito melhor que os hubs, e o isolamento entre suas portas também significa que as linhas de entrada podem trabalhar com diferentes velocidades, possivelmente ainda com diferentes tipos de rede. Um exemplo comum é uma bridge com portas que se conectam à Ethernet de 10, 100 e 1.000 Mbps. O uso de buffer dentro da bridge é necessário para aceitar um quadro em uma porta e transmiti-lo por uma porta diferente.

*I think that I shall never see  
A graph more lovely than a tree.  
A tree whose crucial property  
Is loop-free connectivity.*

*So packets can reach every LAN.  
First the Root must be selected  
By ID if it is elected.  
In the tree these paths are traced  
A mesh is made by folks like me \**

O algoritmo spanning tree foi, então, padronizado como IEEE 802.1D e usado por muitos anos. Em 2001, ele foi revisado para encontrar mais rapidamente uma nova

\*N. de T. (Creio que nunca verei) Um grafo melhor que uma árvore. Uma árvore cuja propriedade fundamental é a consecutividade sem loops. Uma árvore que precisa se espalhar? Para que os pacotes possam alcançar cada LAN. Primeiro a raiz deve ser selecionada. Por ID ela é eleita. Caminhos de menor custo a partir da raiz são traçados. /Na árvore esses caminhos são colocados. /Uma malha é feita por pessoas como eu! Depois as bridges acham uma spanning tree.

Gateway de aplicação	Gateway de transporte	Camada de transporte	Camada de rede	Roteador	Camada de enlace de dados	Bridge, switch	Camada física	Repetidor, hub
Pacote (fornecido pela camada de rede)	Pacote (fornecido pela camada de rede)	Cabeçalho de quadro de pacote	Cabeçalho de pacote	Cabeçalho TCP	Dados do usuário	CRC		

**Figura 4.37** (a) Dispositivos presentes em cada camada. (b) Quadros, pacotes e cabeçalhos.

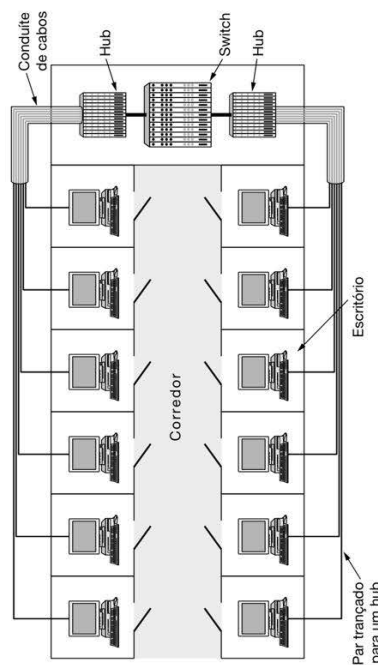
Se os quadros entrarem mais rapidamente do que podem ser retransmitidos, a bridge poderá ficar sem espaço em buffer e ter de conecer a descartar quadros. Por exemplo, se uma gigabit Ethernet estiver empurrando bits para uma Ethernet de 10 Mbps na velocidade máxima, a bridge terá de mantê-los em buffer, na esperança de não ficar sem memória. Esse problema ainda existe mesmo que todas as portas trabalhem na mesma velocidade, pois mais de uma porta pode estar enviando quadros a determinada porta de destino.

As bridges visavam originalmente à união de diferentes tipos de LANs, por exemplo, uma LAN Ethernet e uma Token Ring. Contudo, isso nunca funcionou bem, em razão das diferenças entre elas. Diferentes formatos de quadro exigem cópia e reformatação, o que requer tempo da CPU, um novo cálculo de checksum e introduz a possibilidade de erros não detectados, em decorrência de bits incorretos na memória da bridge. O uso de diferentes tamanhos máximos de quadro também é um problema sério sem uma boa solução. Basicamente, quadros muito grandes para ser encaminhados devem ser descartados. Muita coisa para se evidenciar.

Duas áreas em que as LANs podem diferir são segurança e qualidade de serviço. Algumas têm criptografia de uma camada de enlace (p. ex., 802.11) e outras não (p. ex., Ethernet). Algumas têm recursos de qualidade de serviço, como prioridades (p. ex., 802.11) e outras não (p. ex., Ethernet). Consequentemente, quando um quadro precisa trafegar entre essas LANs, pode não ser possível fornecer a segurança ou a qualidade de serviço esperadas pelo emissor. Por todos esses motivos, as bridges modernas normalmente funcionam para um tipo de rede, e os roteadores, que vêm em breve, são usados em seu lugar para unir redes de diferentes tipos.

Os switches são bridges modernas com outro nome. As diferenças são mais por questões de marketing do que técnicas, mas existem alguns pontos que precisam ser conhecidos. As bridges foram desenvolvidas quando a Ethernet clássica estava em uso, de modo que tendem a unir relativamente poucas LANs e, portanto, ter relativamente poucas portas. O termo "switch" é mais popular hoje em dia. Além disso, todas as instalações modernas usam enlaces ponto a ponto, como cabos de par trançado, de modo que computadores individuais se conectam diretamente a um switch e, portanto, este costuma ter muitas portas. Finalmente, "switch" também é usado como um termo geral. Com uma bridge, a funcionalidade é clara. Em contrapartida, um switch pode se referir a um switch Ethernet ou a um tipo de dispositivo completamente diferente, que toma decisões de encaminhamento, como um switch usado em telefonia.

Até o momento, vimos repetidores e hubs, que são bastante semelhantes, bem como bridges e switches, que são ainda mais parecidos. Agora vamos passar para os roteadores, os quais são diferentes de todos os dispositivos



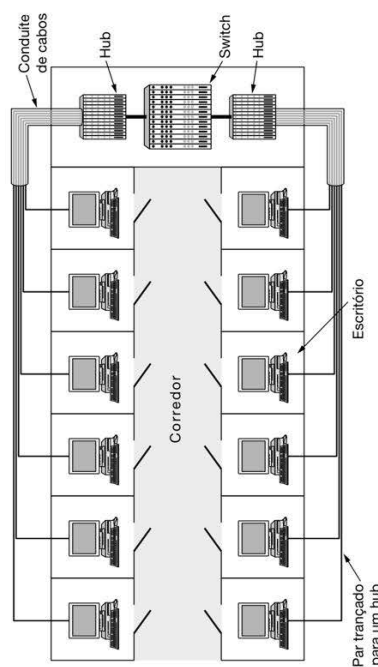
**Figura 4.38** Um prédio com configuração centralizada, utilizando hubs e um switch.

destino é desconhecido, e os protocolos da camada superior também o utilizam. Por exemplo, quando um usuário quer enviar um pacote a um endereço IP representado por X, como saber qual endereço MAC colocar no quadro? Estudaremos essa questão no Capítulo 5, mas, em resumo, o usuário transmitirá um quadro contendo a seguinte pergunta: "A quem pertence o endereço IP X?" Em seguida, o usuário aguardará uma resposta. À medida que o número de comunicações em uma LAN aumenta, o mesmo acontece com a quantidade de broadcasts circulando. Cada broadcast consome mais capacidade da LAN do que um quadro normal, pois ele é entregue a cada computador na LAN. Evitando que as LANs sejam maiores do que precisam, reduzimos o impacto do tráfego de broadcast.

Um problema relacionado ao broadcast é que, de vez em quando, uma interface de rede sofrerá uma pane e começará a gerar um fluxo infinito de quadros de broadcast. Se a rede realmente estiver sem sorte, alguns desses quadros gerarão respostas que levarão a ainda mais tráfego. O resultado dessa tempestade de broadcast é que (1) a capacidade da LAN inteira será ocupada por esses quadros (2) todas as máquinas em todas as LANs interconectadas serão danificadas, processando e descartando todos os quadros que estiverem sendo transmitidos.

A princípio, pode parecer que seria possível limitar o escopo das tempestades de broadcast separando as LANs com bridges ou switches; porém, se o objetivo é conseguir transparência (i.e., poder mover uma máquina de uma LAN diferente usando a bridge sem que alguém note a mudança), então as bridges têm de encaminhar quadros de broadcast.

Depois de verificarmos por que seria interessante para as empresas ter várias LANs com escopo restrito, vamos voltar ao problema de desacoplar a topologia lógica



**Figura 4.38** Um prédio com configuração centralizada, utilizando hubs e um switch.

possibilita configurar LANs logicamente, em vez de fisicamente. Por exemplo, se uma empresa deseja k LANs, ela pode comprar k switches. Escolhendo cuidadosamente quais conectores ligar a quais switches, os ocupantes de uma LAN podem ser escolhidos de um modo que faça sentido para a organização, sem considerar muita geografia. É importante saber quem está conectado a cada LAN?

Afinal, em quase todas as organizações, todas as LANs estão interconectadas. A resposta a sim, isso com frequência é importante. Os administradores de redes gostam de agrupar os usuários em LANs de modo a refletir a estrutura organizacional, em lugar do layout físico do prédio, por várias razões. Uma delas é a segurança. Uma LAN poderia hospitalar servidores Web e outros computadores voltados para uso público. Outra LAN poderia hospedar computadores que contivessem os registros do departamento de recursos humanos, que não devem ser passados para fora do departamento. Nessa situação, faz sentido colocar todos os computadores em uma única LAN e não permitir que nenhum servidor seja acessado de fora dela. A gerência tende a franzi a testa quando escuta que esse arranjo é impossível.

Uma segunda questão é a carga. Algumas LANs são utilizadas mais intensamente que outras, e pode ser interessante separá-las. Por exemplo, se o pessoal da área de pesquisa estiver realizando várias experiências e alguma delas sair do controle e saturar a LAN, é bem possível que o pessoal da gerência não fique muito entusiasmado por ter de doar uma parte de sua capacidade de computação reservada para uma videoconferência para ajudar os colegas do outro departamento. Novamente, isso pode causar, na gerência, a impressão da necessidade de instalar uma rede mais rápida.

Uma terceira questão é o tráfego de broadcast. As bridges enviam tráfego de broadcast quando o local do

da topologia física. A criação de uma topologia física para refletir a estrutura organizacional pode acrescentar trabalho e custo, mesmo com função centralizada e switches. Por exemplo, se duas pessoas no mesmo departamento trabalham em prédios diferentes, pode ser mais fácil conectar-las a diferentes switches que fazem parte de LANs diferentes. Mesmo que esse não seja o caso, um usuário poderia ser deslocado dentro da empresa de um departamento para outro sem mudar de escritório, ou poderia mudar de escritório sem mudar de departamento. Isso pode fazer o usuário estar na LAN errada até que o administrador mude o conector do usuário de um switch para outro. Além disso, o número de computadores que pertencem a diferentes departamentos pode não corresponder bem ao número de portas nos switches; alguns departamentos podem ser muito pequenos e outros tão grandes que exigem vários switches. Isso resulta em portas do switch desperdiçadas, que não são usadas.

Em muitas empresas, as mudanças organizacionais ocorrem o tempo todo; isso significa que os administradores de sistemas passam muito tempo retirando plugues e inserindo-os de novo em algum outro lugar. Além disso, em alguns casos, a mudança não pode ser feita de modo algum, porque o par trançado da máquina do usuário está longe demais do hub corretivo (p. ex., em outro prédio), ou então as portas do switch disponíveis estão na LAN errada.

Em resposta à solicitação de usuários que desejam maior flexibilidade, os fornecedores de redes começaram a buscar um meio de recompor a faixa dos prédios imediatamente via software. O conceito resultante é chamado LAN virtual, ou **VLAN** (Virtual LAN) e foi até mesmo padronizado pelo comitê IEEE 802.1Q. Atualmente, ele está sendo implementado em muitas organizações. Vamos examiná-lo em seguida.

As VLANs se baseiam em switches especialmen-

te projetados para reconhecê-las. Para configurar uma rede baseada em VLANs, o administrador da rede decide quantas delas haverá, quais computadores estarão em qual VLAN e qual será o nome de cada uma. Geralmente, elas são identificadas (informalmente) por cores, pois assim é possível imprimir diagramas de cones que mostram o layout físico das máquinas, com os membros da LAN vermelha

em vermelho, os membros da LAN verde em verde, e assim por diante. Desse modo, os layouts físico e lógico são visíveis em um único diagrama.

Como exemplo, considere que LANs conectadas por bridges, da Figura 4.39, em que novas máquinas pertencem à VLAN G (gray – cinza) e cinco pertencem à VLAN W (white – branca). As máquinas da VLAN cinza estão espalhadas por dois switches, incluindo as duas máquinas que se conectam a um switch por meio de um hub.

Para fazer as VLANs funcionarem corretamente, é necessário definir tabelas de configuração nas bridges. Essas tabelas informam quais são as VLANs acessíveis através de cada uma das portas. Quando um quadro chega, digamos, da VLAN cinza, ele deve ser encaminhado para todas as portas marcadas com um G. Isso é válido para o tráfego comum (i.e., de unicast) para o qual as pontes não desabrirão o local do destino, bem como para os tráfegos de multicast e de broadcast. Observe que uma porta pode ser rotulada com várias cores de VLAN.

Como um exemplo, suponha que uma das estações cinza conectadas à bridge B1 na Figura 4.39 envie um quadro para um destino que não tinha sido observado anteriormente. A bridge B1 receberá o quadro e verá que ele veio de uma máquina na VLAN cinza e, por isso, o quadro inundará todas as portas rotuladas com G (exceto a porta de chegada). O quadro será enviado às cinco outras estações cinza conectadas a B1, além do enlace de B1 até a bridge B2. Na B2, o quadro será igualmente encaminhado por todas as portas rotuladas com G. Isso envia o quadro a uma estação adiante e ao hub (que transmitem o quadro a todas as suas estações). O hub tem os dois rótulos, pois se conecta a máquinas das duas VLANs. O quadro não é enviado pelas outras portas sem G no rótulo, pois a bridge sabe que não existem máquinas na VLAN cinza que possam ser alcançadas por meio dessas portas.

Em nosso exemplo, o quadro é enviado apenas da bridge B1 para a bridge B2, pois existem máquinas na VLAN cinza que estão conectadas a B2. Examinando a VLAN branca, podemos ver que a porta da B2 que se conecta à B1 *não* está rotulada com W. Isso significa que um quadro na VLAN branca não será encaminhado da B2 para

a B1. Esse comportamento é correto, pois nenhuma estação na VLAN branca está conectada à B1.

#### O padrão IEEE 802.1Q

Para implementar esse esquema, as bridges precisam saber a qual VLAN pertence um quadro que chega. Sem essa informação, por exemplo, quando a bridge B2 receber um quadro da bridge B1, na Figura 4.39, ela não sabe se encontra-se no quadro na VLAN cinza ou branca. Se estivessemos criando um novo tipo de LAN, seria muito fácil apenas acrescentar um campo VLAN no cabeçalho. Mas o que fazer no caso do padrão Ethernet, que é a LAN dominante e que não tem um campo sobressalente que possa ser usado como identificador da VLAN?

O comitê IEEE enfrentou esse problema em 1995. Depois de muita discussão, ele fez o inconcebível e mudou o cabeçalho do padrão Ethernet. O novo formato foi publicado no padrão **802.1Q** do IEEE, emitido em 1998. O novo formato contém uma tag de VLAN; vamos examiná-lo rapidamente. Não surpreende que a mudança de algo tão bem estabelecido quanto o cabeçalho Ethernet não seja inteiramente trivial. Algumas questões que surgem são:

1. Precisaremos jogar fora várias centenas de milhões de placas Ethernet existentes?
2. Se não, quem gerará os novos campos?
3. O que acontecerá com os quadros que já têm o tamanho máximo?

É claro que o comitê 802.02 estava (ainda que de forma muito dolorosa) consciente desses problemas e teve de apresentar soluções, o que realmente fez.

A chave para a solução é perceber que os campos VLAN só são realmente usados pelas bridges e switches, e *não* pelas máquinas dos usuários. Desse modo, na Figura 4.39, não é realmente essencial que elas estejam presentes nas linhas que saem para as estações finais, desde que estesjam na linha entre as bridges. Portanto, para usar VLANs, as bridges têm de reconhecer a VLAN. Esse fato torna o projeto viável.

Quanto ao problema de quadros maiores que 1.518 bytes, o 802.1Q simplesmente aumentou o limite para 1.522 bytes.

Quanto a descartar todas as placas Ethernet existentes, a resposta é não. Lembre-se de que o comitê 802.3 não poderia nem mesmo fazer as pessoas transformarem o campo *Tipo* em um campo *Tamanho*. Você pode imaginar a reação ao anúncio de que todas as placas Ethernet existentes teriam de ser jogadas fora. Contudo, as novas placas Ethernet são compatíveis com o 802.1Q e podem preencher corretamente os campos VLAN.

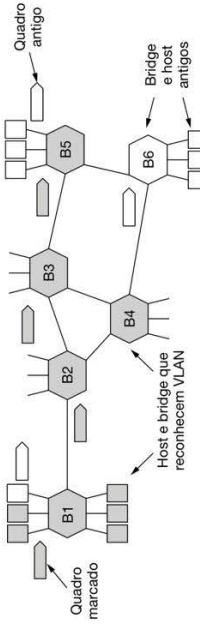
Como pode haver computadores (e switches) que não reconhecem a VLAN, a primeira bridge que a reconhece toca em um quadro acrescenta os campos de VLAN e a porta no caminho ou remove. Um exemplo de topologia mista aparece na Figura 4.40. Nela, os computadores que reconhecem a VLAN geram quadros marcados (ou seja, 802.1Q) diretamente, e a comutação posterior utiliza assas tags. Os símbolos sombreados são máquinas que reconhecem VLANs e os símbolos vazios não as reconhecem.

Com o 802.1Q, os quadros são coloridos dependendo da porta na qual são recebidos. Para que esse método funcione, todas as máquinas em uma porta precisam pertencer à mesma VLAN, o que reduz a flexibilidade. Por exemplo, na Figura 4.40, essa propriedade é mantida para todas as portas nas quais um computador individual se conecta a uma bridge, mas não para a porta na qual o hub se conecta a B2.

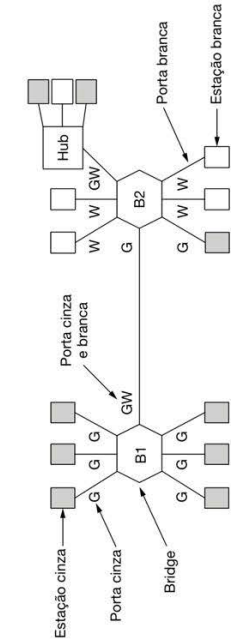
Além disso, a bridge pode usar o protocolo da camada mais alta para selecionar a cor. Desse modo, os quadros que chegam a uma porta podem ser colocados em VLANs diferentes, dependendo se elas transportam pacotes IP ou quadros PPP.

Outros métodos são viáveis, mas não são admitidos pelo 802.1Q. Como exemplo, o endereço MAC pode ser usado para selecionar a cor de VLAN. Isso poderia ser útil para quadros chegando de uma LAN 802.11 próxima, em que notebooks enviam quadros por portas diferentes enquanto se movem. Um endereço MAC seria, então, mapeado a uma VLAN fixa, independentemente da porta em que ele entrou na LAN.

Quanto ao problema de quadros maiores que 1.518 bytes, o 802.1Q simplesmente aumentou o limite para 1.522 bytes.



**Figura 4.40** LAN com bridge, parcialmente consciente da VLAN. Os sombreados são máquinas que reconhecem VLANs e os vazios não as reconhecem.



**Figura 4.39** Duas VLANs, cinza e branca, em uma LAN com bridge.

Felizmente, apenas computadores e switches que reconhecem a VLAN precisam dar suporte a elas.

Agora, vamos examinar o formato de quadro 802.1Q. Ele está representado na Figura 4.41. A única mudança é o campo *ID de protocolo de LAN*, que sempre tem o valor 0x8100. Como esse número é maior que 1.500, todas as placas Ethernet o interpretam como um tipo, e não como um tamанho. O que uma placa aniga faz com um quadro desse tipo é discutível, pois tais quadros não devem ser enviados a placas antigas.

O segundo campo de 2 bytes contém três subcampos. O principal é o *Identificador de VLAN*, que ocupa os 12 bits de baixa ordem. É isso que interessa – a cor da VLAN à qual o quadro pertence. O campo de 3 bits *Prioridade* não tem nenhuma relação com VLANs, mas, como a mudança no cabeçalho Ethernet é um evento que acontece uma vez a cada década, demora três anos e envolve uma centena de pessoas, por que não incluir alguns outros benefícios? Esse campo torna possível distinguir o tráfego em tempo real permanente do tráfego em tempo real provisório e do tráfego não relacionado ao tempo, a fim de fornecer melhor qualidade de serviço nas redes Ethernet. Ele é necessário para voz sobre a Ethernet (embora o IP tivesse um campo semelhante durante um quarto de século sem que ninguém jamais o tenha usado).

O último campo, o indicador de formato canônico, ou *CFI (Canonical Format Indicator)* deveria ter sido chamado indicador de ego corporativo, ou *CEI (Corporate Egocentric Indicator)*. Originalmente, ele foi criado para indicar diferentes MAC little-endian versus endereços MAC big-endian, mas esse uso se perdeu em outras controvérsias. Sua presença agora indica que a carga útil contém um quadro Ethernet nesse meio-tempo. É claro que toda essa organização não tem nenhuma relação com as VLANs. No entanto, a política do comitê de padrões não é diferente da política comum: se você votar a favor do meu bit, eu votarei a favor do seu – uma negociação mais sofisticada que uma barganha comum.

## 4.8 RESUMO

Algumas redes administram todo o fluxo de comunicações por meio de um único canal. Nessas redes, a grande questão é a alocação desse canal entre as estações que desejam utilizá-lo. FDM e TDM são esquemas de alocação simples

eficientes quando o número de estações é pequeno e fixo, e o tráfego é contínuo. Ambos são amplamente utilizados nessas circunstâncias, como para dividir a largura de banda nos enlaces usados como troncos telefônicos. No entanto, quando o número de estações é grande e variável, ou quando o tráfego ocorre em rajadas – o caso comum nas redes de computadores – FDM e TDM não são boas opções.

Foram criados diversos algoritmos dinâmicos de alocação do canal. O protocolo ALOHA, original ou o slotted ALOHA, é usado em muitas derivações nos sistemas reais, por exemplo, nas redes DOCSIS. Como uma melhoria quando o estado do canal pode ser detectado, as estações podem evitar iniciar uma transmissão enquanto outra estação está transmitindo. Essa técnica, a detecção de porradaria, levou a uma série de protocolos CSMA para LANs e MANs. Essa é a base para a Ethernet clássica e para as redes 802.11.

Uma classe de protocolos que elimina por completo a disputa, ou pelo menos a reduz considerably, é bastante conhecida há anos. O protocolo bit-map, topologias anéis e a contagem regressiva binária eliminam totalmente a disputa. O protocolo tree-walk reduz a disputa dividindo de forma dinâmica as estações em dois grupos com tamanhos diferentes, e permitindo a disputa apenas dentro de um grupo; o ideal é que esse grupo seja escolhido de tal forma que apenas uma estação que está pronta para transmitir tenha permissão para fazê-lo. As versões modernas dos protocolos MAC, incluindo DOCSIS e Bluetooth, tomam medidas explícitas para evitar a disputa, atribuindo intervalos de transmissão aos transmissores.

As LANs sem fio têm os problemas adicionais de

difícilidade em detectar as transmissões que colidem, e

as regiões de cobertura das estações podem ser diferen-

tes. Na LAN sem fio dominante, IEEE 802.11, as estações

usam CSMA/CA para aliviar o problema de deixar peque-

nas lacunas para impedir colisões. As estações também

podem usar o protocolo RTS/CTS para combater terminais ocultos que surgem em decorrência do segundo problema, embora o overhearing do RTS/CTS seja muito alto na prática, devido ao problema do terminal exposto, que quase nunca é usado, especialmente em ambientes densos.

Em contrapartida, muitos clientes agora utilizam mecanismos para realizar a seleção de canal a fim de evitar disputa. O IEEE 802.11 normalmente é usado para conectar notebooks e outros dispositivos a PAs wireless, mas também pode ser usado entre dispositivos. Qualquer uma das várias camadas físicas pode ser usada, incluindo o FDM multicanal com e sem várias antenas, e o espectro de dis- persão. As versões modernas do 802.11 incluem recursos de segurança na camada de enlace, incluindo o suporte para autenticação, bem como a codificação avançada para dar suporte à transmissão MIMO.

A Ethernet é a forma dominante de LAN com fio.

A Ethernet clássica usava CSMA/CD para alocação de

canal em um cabo amarelo do tamanho de uma mangueira de jardim, esticado de uma máquina para outra. A arquitetura mudou quando as velocidades passaram de 10 Mbps para 10 Gbps, e continuam subindo. Agora, enlaces ponta a ponta, como o par trancado, são conectados a hubs e switches. Com os switches modernos e enlaces full-duplex, não existe disputa nos enlaces e o switch pode encaminhar os quadros em paralelo entre diferentes portas.

Com preços repletos de LANs, é preciso que haja

uma maneira de interconectar todas elas. As bridges plug-and-play são usadas para essa finalidade, sendo construídas com um algoritmo de aprendizado e um algoritmo spanning tree. Como essa funcionalidade está embutida nos switches modernos, os termos "bridge" e "switch" são usados para indicar a mesma coisa. Para ajudar no gerenciamento de LANs com bridges, as VLANs permitem que a topologia física seja dividida em diferentes topologias lógicas. O padão de VLAN, o IEEE 802.1Q, introduziu um novo formato de quadros Ethernet.

## PROBLEMAS

- Para resolver este problema, use uma fórmula deste capítulo, mas primeiro o enunciado. Os quadros chegam aleatoriamente a um canal de 100 Mbps para transmissão. Se estiver ocupado quando um quadro chegar, o canal aguardará sua vez em uma fila. O comprimento do quadro está distribuído exponencialmente com uma média de 10.000 bits/quadro. Para cada uma das taxas de chegada de quadros a seguir, determine o trânsito médio experimentado pelo quadro, incluindo tanto o tempo de enfileiramento quanto o tempo de transmissão.
  - 90 quadros/s.
  - 900 quadros/s.
  - 9.000 quadros/s.

- Um grupo de N estações compartilha um canal ALOHA original de 56 kbps. Cada estação transmite em média um quadro de 1.000 bits a cada 100 s, mesmo que o anterior ainda não tenha sido enviado (as estações podem, por exemplo, armazenar os quadros enviados em um buffer). Qual é o valor máximo de N?

- Dez mil estações de reserva de uma companhia aérea estão competindo pelo uso de um único canal slotted ALOHA. Em média, a estação faz 18 solicitações/hora. Um slot ocupa 125  $\mu$ s. Qual é a carga total aproximada do canal?
  - Qual é a carga do canal,  $G$ ?
  - Qual é o throughput?
  - O canal está sobrecarregado?

- A Figura 4.4 ilustra que o throughput máximo varia de ALOHA original (mais baixo) ate o CSMA 0.01-persistent (mais alto). Para alcançar o throughput máximo, um

	Endereço de destino	Endereço de origem	Tamanho	Dados	Preenchimento	Check-sum
802.3	Endereço de destino	Endereço de origem	Tag	Tamanho	Dados	Preenchimento
				SS	SS	SS

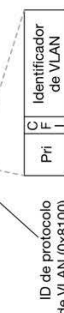


Figura 4.41 Os formatos de quadros Ethernet 802.3 (antigo) e 802.1Q.

- protocolo precisa fazer algumas escolhas, por exemplo, dar suporte ao hardware extra ou aumentar o tempo de espera. Para os protocolos representados nessa figura, explique qual escolha cada protocolo faz, para alcançar o throughput mais alto.
6. Qual é o tamanho de um slot de disputa em CSMA/CD para (a) um cabo twin de 2 km (a velocidade de propagação do sinal é 82% da velocidade de propagação do sinal no vácuo)? E (b) um cabo de fibra óptica multimodo de 40 km (a velocidade de propagação é 65% da velocidade de propagação do sinal no vácuo)?
7. Quant tempo uma estação s' terá de esperar, na pior das hipóteses, antes de poder começar a transmitir seu quadro sobre uma LAN que usa o protocolo bit-map básico?
8. Um protocolo de contagem regressiva binária, explique como uma estação com número mais baixo pode ser impedida de enviar um pacote.
9. Veja a Figura 4.10. Suponha que as estações saibam que existem quatro estações prontas: *B, D, G e H*. Como o protocolo adaptativo tree-walk atravessa a árvore para permitir que todas as quatro estações envoiem seu quadro? Quantas colisões adicionais acontecem se a busca começar da raiz?
10. Um grupo de amigos se reúne para jogar videogames interativos com alto uso de CPU e rede. Os amigos jogam juntos usando uma rede sem fio de alta largura de banda. O sistema sem fio não pode se propagar através das paredes, mas os amigos estão todos na mesma sala. Em tal configuração, seria melhor usar o CSMA não persistente ou o protocolo token ring? Por favor, explique sua resposta.
11. Uma coleção de 2<sup>n</sup> estações usa o protocolo adaptativo tree-walk para arbitrar o acesso a um cabo compartilhado. Em determinado instante, duas delas se apresentam. Qual é o número mínimo, máximo e médio de slots para percorrer a árvore se 2<sup>n</sup> > 1?
12. As LANs sem fio que estudamos usavam protocolos como CSMA/CA e RTS/CTS no lugar de CSMA/CD. Sob quais condições, se houver alguma, seria possível usar CSMA/CD em seu lugar?
13. Seis estações, de *A* até *F*, se comunicam usando o protocolo MACA. Seria possível duas transmissões ocorrem simultaneamente? Explique sua resposta.
14. Um prédio comercial de sete andares tem 15 escritórios adjacentes por andar. Cada escritório contém uma tomada (um sequesto) para um terminal na parede frontal. Dessa forma, as tomadas formam uma grade retangular em um plano vertical, com uma distância de 4 m entre as tomadas, tanto na direção horizontal quanto na vertical. Supondo que seja viável passar um cabo linear entre qualquer par de tomadas, seja na horizontal, na vertical ou na diagonal, quantos metros de cabo seriam necessários para conectar todas as tomadas usando:
- (a) Uma configuração em estrela com um único roteador no centro?
- (b) Uma LAN 802.3 clássica?
15. Qual é a taxa baud da rede Ethernet clássica de 10 Mbps?
16. Estrutura e codificação Manchester em uma Ethernet classificada para o fluxo de bits 0001110101.
17. Uma LAN CSMA/CD de 10 Mbps (não 802.3), com 1 km de extensão, tem uma velocidade de propagação de 200 m/s. Não são permitidos repetidores nesse sistema. Os quadros de dados têm 256 bits, incluindo 32 bits de cabeçalho, checksum e outras formas de overhead. O primeiro slot de bits depois de uma transmissão bem-sucedida é reservado para o receptor capturar o canal, com o objetivo de enviar um quadro de confirmação de 32 bits. Qual será a taxa de dados efetiva, excluindo o overhead, se partirmos do princípio de que não há colisões?
18. Considere a montagem de uma rede CSMA/CD operando a 1 Gbps por um cabo de 1 km sem repetidores. A velocidade do sinal no cabo é de 200.000 km/s. Qual é o tamanho mínimo do quadro?
19. Um pacote IP a ser transmitido por uma rede Ethernet tem 60 bytes de comprimento, incluído todos os seus cabeçalhos. Se o LLC não estiver em uso, será necessário utilizar preenchimento no quadro Ethernet? Em caso afirmativo, de quantos bytes?
20. Os quadros Ethernet devem ter pelo menos 64 bytes para garantir que o transmissor ainda esteja ativo na eventualidade de ocorrer uma colisão na extremidade remota do cabo. O tamanho mínimo do quadro nas redes Fast Ethernet também é de 64 bytes, mas é capaz de transportar o mesmo número de bits com uma velocidade dez vezes maior. Como é possível manter o mesmo tamanho mínimo de quadro?
21. A especificação 1000Base-SX afirma que o clock deverá operar a 1250 MHz, embora a gigabit Ethernet só deva oferecer uma taxa de dados máxima de 1 Gbps. Essa velocidade, mais alta serve para oferecer uma margem de segurança extra? Se não, o que acontece nesse caso?
22. Quantos quadros por segundo a gigabit Ethernet pode manipular? Pense cuidadosamente e leve em conta todos os casos relevantes. Dica: o fato de ela ser uma gigabit Ethernet é importante.
23. Identifique duas redes que permitam que os quadros sejam reunidos em sequência. Por que é importante haver essa característica?
24. Na Figura 4.27 são mostradas quatro estações, *A, B, C e D*. Qual das duas últimas estações você acha que está mais próxima de *A*, e por quê?
25. Dê um exemplo para mostrar que o RTC/CTS no protocolo 802.11 é um pouco diferente daquele do protocolo MACA. Veja a Figura 4.33(b). Imagine que todas as estações, bridges e hubs mostrados na figura sejam estações sem fio, e que os enlaces indicam que duas estações estão dentro do alcance uma da outra. Se *B2* estiver transmitindo para *D* quando *B1* quiser transmitir para *A* e *H1* quiser transmitir para *F*, quais pares de estações são terminais ocultos ou expostos?
26. Uma LAN sem fio com um PA tem dez estações clientes. Quatro delas têm taxas de dados de 1 Mbps, quatro têm taxas de dados de 18 Mbps e as duas últimas têm taxas de dados de 54 Mbps. Qual é a taxa de dados experimentada por cada estação quando todas as dez estações estão transmitindo dados juntas e
- (a) TXOP não é usada?
28. Suponha que uma LAN 802.11b de 11 Mbps esteja transmitindo quadros de 64 bytes em sequência por um canal de rádio com uma taxa de erros de bits igual a  $10^{-7}$ . Quantos quadros por segundo serão danificados em média?
29. Dois dispositivos conectados à mesma rede 802.11 estão北海道 um arquivo grande da Internet. Explique como um dispositivo passivo obter uma taxa de dados mais alta que o outro (abusando um mecanismo do 802.11 voltado para oferecer qualidade de serviço).
30. A Figura 4.28 mostra diferentes tempos de espera na 802.11 para quadros com diferentes prioridades. Essa técnica evita que o tráfego de alta prioridade, como os quadros transportando dados em tempo real, fiquem presos pelo tráfego comum. Cite uma desvantagem dessa técnica.
31. Apresente duas razões pelas quais as redes poderiam usar um código de correção de erros em vez de detecção de erros e retransmissão.
32. Por que soluções como PCF (Point Coordination Function) são mais adequadas para as versões do 802.11 que operam em frequências mais altas?
33. Una desvantagem dos perfis do Bluetooth é que eles aumentam a complexidade do protocolo. Qual é a vantagem desses perfis do ponto de vista das aplicações?
34. Imagine uma rede onde todas as estações se comunicam usando raios laser, semelhante à montagem que aparece na Figura 2.11. Explique as semelhanças (e as diferenças) entre essa montagem e as redes Ethernet e 802.11, e também como isso afetaria o projeto dessa camada de enlace de dados e os protocolos MAC.
35. Na Figura 4.30, observamos que um dispositivo Bluetooth pode estar em duas picotons ao mesmo tempo. Existir alguma razão para que um dispositivo não possa ser o mestre em ambas as picotons ao mesmo tempo?
36. Qual é o tamanho máximo do campo de dados para um quadro Bluetooth de 3 slots na taxa básica? Explique sua resposta.
37. O Bluetooth admite dois tipos de enlaces entre um mestre e um escravo. Quais são eles e para que é usado cada um?
38. Mencionamos que a eficiência de um quadro de 1 slot com codificação de repetição é cerca de 13% na taxa de dados básica. Qual será a eficiência se, em vez disso, for usado um quadro de 5 slots com codificação de repetição na taxa de dados básica?
39. Os quadros de baliza na variante de espectro de dispersão de salto de frequência do 802.11 contêm o tempo de parada. Você acha que os quadros de baliza análogos no Bluetooth também contêm o tempo de parada? Explique sua resposta.
40. Um switch projetado para uso com Fast Ethernet tem uma placa integrada que pode mover 10 Gbps. Na pior das hipóteses, quantos quadros ele pode tratar?
41. Considere a LAN estendida conectada usando as bridges *B1* e *B2* na Figura 4.33(b). Suponha que as tabelas hash nas duas bridges estejam vazias. Qual será a tabela hash de *B2* após a seguinte sequência de transmissões de dados:
- (a) *B* transmite um quadro para *E*.
42. Suponha que cada quadro seja transmitido após o quadro anterior ter sido recebido.
43. Considere a LAN estendida conectada usando as bridges *B1* e *B2* na Figura 4.33(b). Suponha que as tabelas hash nas duas bridges estejam vazias. Liste todas as portas em que um pacote será encaminhado para a seguinte sequência de transmissões de dados:
- (a) *A* transmite um quadro para *C*.
- (b) *E* transmite um quadro para *F*.
- (c) *F* transmite um quadro para *E*.
- (d) *G* transmite um quadro para *B*.
- (e) *G* transmite um quadro para *C*.
- (f) *D* transmite um quadro para *C*.
44. Veja a Figura 4.36. Imagine que uma bridge adicional, *B0*, esteja conectada às bridges *B4* e *B5*. Desenhe a nova spanning tree para essa topologia.
45. Considere a rede da Figura 4.39. Se uma máquina conectada à bridge *B1* de repente se tornasse branca, seriam necessárias mudanças nos rótulos? Neste caso, quais?
46. Considere uma LAN Ethernet com sete bridges. A bridge 0 está conectada a 1 e 2. As bridges 3, 4, 5 e 6 estão conectadas a ambas 1 e 2. Suponha que a maioria dos quadros seja endereçada a estações conectadas à bridge 2. Primeiro estabeleça a spanning tree construída pelo protocolo Ethernet e, em seguida, esboce uma spanning tree alternativa que reduza a latência média do quadro.
47. Considere duas redes Ethernet com sete bridges. A bridge 0 está conectada a 1 e 2. As bridges 3, 4, 5 e 6 estão conectadas a ambas 1 e 2. Suponha que a maioria dos quadros seja endereçada a estações conectadas à bridge 2. Primeiro estabeleça a spanning tree construída pelo protocolo Ethernet e, em seguida, esboce uma spanning tree alternativa que reduza a latência média do quadro.
48. Os switches store-and-forward levam vantagem sobre os switches cut-through no que se refere a quadros danificados. Explique qual é essa vantagem.
49. Mencionamos, na Secção 4.8.3, que algumas bridges podem nem sequer estar presentes na spanning tree. Mostre um cenário no qual uma bridge pode não estar presente na spanning tree.

- 50.** Para fazer as VLANs funcionarem, são necessárias tabelas de configuração nas bridges. E se as VLANs da Figura 4.39 usarem hubs em vez de switches? Os hubs também necessitam de tabelas de configuração? Por que?
- 51.** Na Figura 4.40, o switch no domínio final da tecnologia antiga do lado direito é um switch que reconhece VLANs. Seria possível usar ali um switch da tecnologia antiga? Nesse caso, como isso funcionaria? Se não, por que não?
- 52.** Capture traços de mensagens enviadas pelo seu próprio computador usando o modo promiscuo várias vezes por alguns minutos. Crie um simulador para um único canal de comunicação e implemente os protocolos CSMA/CD. Avalie a eficiência desses protocolos usando seus próprios traços para representar diferentes estatísticas disputando pelo canal. Discuta as representações desses traços como cargas de trabalho da camada de enlace.
- 53.** Escreva um programa que simule o comportamento do protocolo CSMA/CD sobre Ethernet quando existem  $N$  estações prontas para transmitir enquanto um quadro está sendo transmitido. Seu programa deve informar os momentos em que cada estação inicia com êxito a transmissão de seu quadro. Suponha que ocorra um pulso de clock em cada período de slot ( $51.2 \mu s$ ) e que uma sequência de detecção de colisão e transmissão de interferência demore um período de slot. Todos os quadros têm o comprimento máximo permitido.
- 54.** Baixe o programa wireshark em [www.wireshark.org](http://www.wireshark.org). Esse é um programa de código aberto gratuito para monitorar redes e relatar o que está acontecendo lá. Aprenda sobre ele assistindo a um dos muitos tutoriais no YouTube. Existem muitas páginas da Web discutindo experimentos que você pode fazer com ele. Essa é uma boa maneira de ter uma ideia prática daquilo que acontece em uma rede.